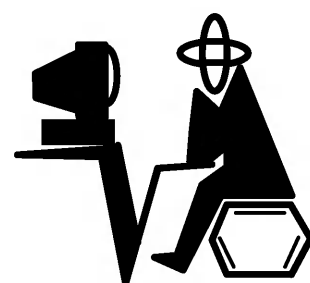


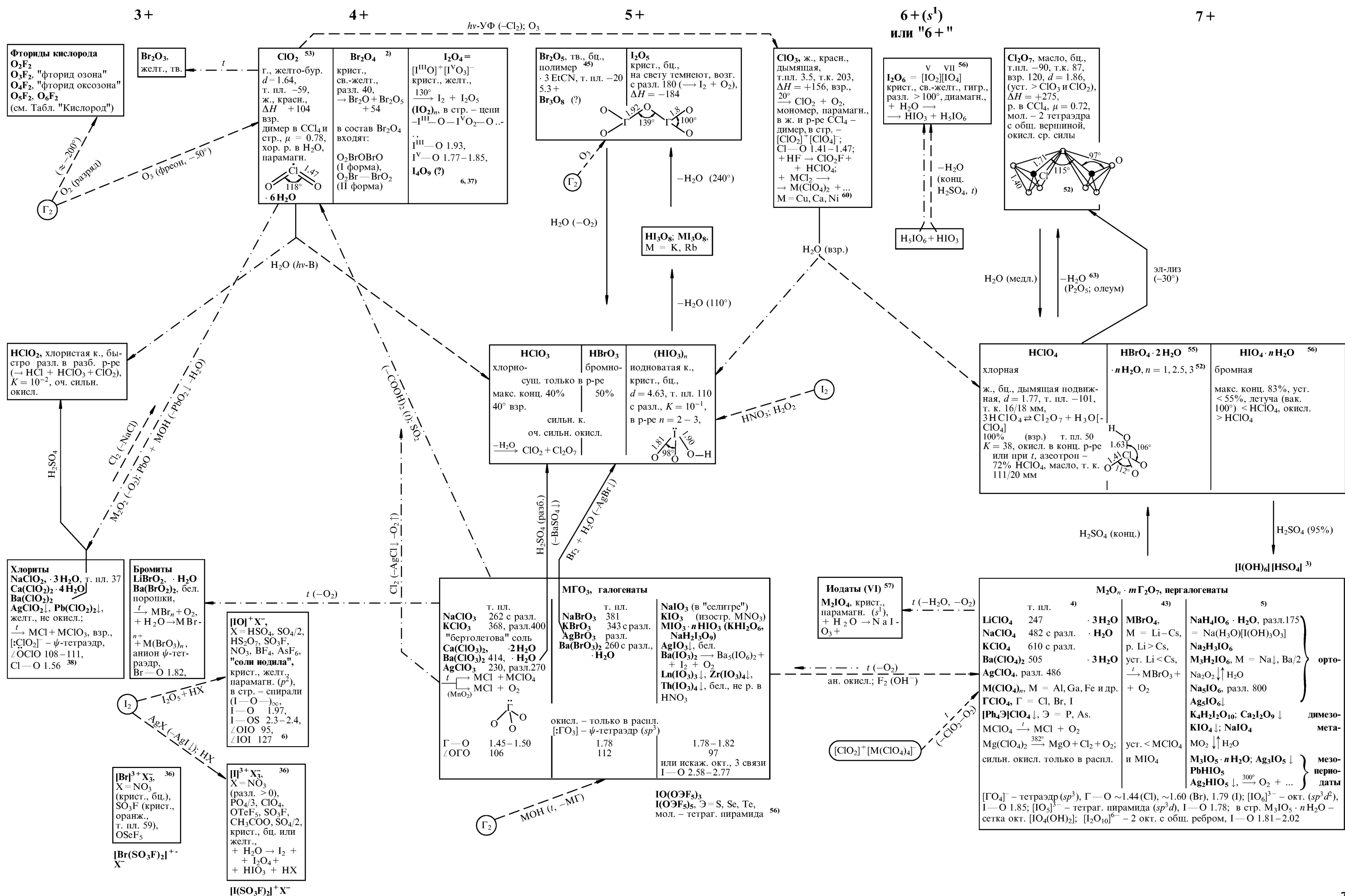
Н.Я. Турова

Неорганическая химия в таблицах



Высший химический колледж Российской академии наук

Москва 1997



ИНТЕРГАЛОГЕНИДЫ И ОКСОФТОРИДЫ ГАЛОГЕНОВ

1/n-

0

1/n+

1+

3+

M⁺[Γ_n]⁻, полигалогениды ³⁰⁾

M⁺ = NH₄, K–Cs, [R₄N], [Ph₄As], [PBr₄], [Ln (капролактамы)₆]/3

[Me₄N]Cl₃
RbBr₃, разл. 140
CsBr₃, т. пл. 180
[PBr₄]Br₃
CsBr₅, крист., красн.

KI₃ · H₂O, крист., бур., т.пл. 38, разл. 225
CsI₃, т. пл. 207
KI₅ · 2 C₆H₆; CaI₅I₂ · 7 H₂O
RbI₇ · 4 C₆H₆
RbI₉ · 4 C₆H₆
Cs₂I₈, крист., фиол.
[Et₄N][I(I₂)_n], n = 2, 3, 4
[H(теобромин)]₄⁺ [I₁₆I]⁻, анион центросимметричный (I₃—I₂—I₃)₂

[Γ₃]⁻, линейные анионы (ψ-триг. бишир.)

Br—Br 2.5 (Rb)
2.4, 2.9 (PBr₄)
Rb[I(BrCl)]

I—I 2.9 (M=Ph₄As)
2.8, 3.0 (Cs)
2.8, 3.1 (NH₄)
Cs[I(IBr)] (не сущ. аналогичных солей K и Rb) – используют для очистки Cs

[Cl—I—Br]⁻, I—Cl 2.38, I—Br 2.50
Уст. МГГ_n⁺ возрастает по ряду Li < Cs < R₄N, р. в H₂O падает; CCl₄, эф., бзл. ускоряют распад МГГ_n⁺ → МГ' + ГГ' (экстр. ГГ')

ClI ₃	BrI ₃ ⁵⁷⁾
Мол. – Т-образные (ψ-триг. бишир.)	
Cl—I 1.58, 1.70	Br—I 1.73, 1.81

	F ₂	Cl ₂	Br ₂	I ₂
т. пл.	-219	-101	-7.2	113.7
т. к.	-188	-34	58.8	183
ΔH _{дис.}	158	243	192	150
Г—Г (г.)	1.42	1.99	2.28	2.67

[Cl₃]⁺X⁻ ⁷⁾
[Br_n]⁺X⁻, n = 2, 3, 5; красн.
[I_n]⁺X⁻, n = 2–5, черн.
[I₂Cl]⁺X⁻, син. или красн.
[Br₂Cl]⁺X⁻,
[I₃Cl₂]⁺X⁻, X = AlCl₄, HSO₄, SO₃F, Sb₂F₁₁, SbF₆, Sb₃F₁₆, IF₆⁺, I₃⁺, I₄²⁺, Br₂⁺, поликатионы, Г—Г в [Γ₂]⁺ 2.13 (Br), 2.56 (I); [I₃]⁺ – угловые, I—I 2.66, ∠III 102; [I₄]²⁺ – прямоугольник, I—I 2.57 и 3.26; [I₅]⁺ =

ClF, г., бц.	BrF, ж., красн.	IF, порошок, красн.
т. пл. -156	20° → Br ₂ + BrF ₃	-14° → I ₂ + IF ₅
т. к. -100	-33	—
ΔH	20	—
μ	-42	-89
Г—F	1.29	—
	1.76	1.91

сильнейшие фторагенты + H₂O → Γ₂ + O₂ + HF
·Py, уст.

M[ClF₂], M[BrF₂], M[IF₂], M = K–Cs, разл. 230, анионы – линейные ⁶⁴⁾

ClF ₃	BrF ₃	IF ₃
г., бц.	ж., бц.	крист., желт.
т. пл. -76	9	—
т. к. 12	127	разл. -28 (→ I ₂ + IF ₃)
ΔH	-255	-496
μ	0.55	—
в г. димеры	1.19	·2Py, бц.

2 ΓF₃(ж.) ⇌ ΓF₂⁺ + ΓF₄⁻
Т-образные мол. (ψ-триг. бишир., sp³d)

Г—F(акс.) 1.70
Г—F(эkv.) 1.60
∠F_{акс.}ΓF_{эkv.} 87
∠F_{акс.}ΓF_{акс.} 185

1.81
1.72
86
188

—
—
—
—

сильнейшие фторагенты: + Э₂O_n → ЭF_n + Γ₂ + O₂ (метод определения O); Ir, Os, SiO₂ воспл.

BrCl (⇌ Br₂ + Cl₂) ст. дис. 40% (20°), г., желт.
т. пл. -54
т. к. 5 с разл.
ΔH_{дис.} +15
μ = 0.57
Г—Cl 2.14

ICl, иглы красн. (α), кор. (β)
27 (α), 14 (β)
97 с разл.
-33
0.65
2 ICl (ж.) ⇌ I⁺ + ICl₂⁻ 2.32
в стр. – зигзагообразные цепи мол.
+ H₂O ⇌ HCl + Γ₂ + НГО₃
хлор- и иодагент в орг. синтезе

Cs[BrCl₂], крист., желт., т. пл. 205, разл. 150
анионы [Γ₂Cl₂]⁻ – линейные (ψ-триг. бишир., sp³d), I—Cl 2.55 ⁹⁾

H[ICl₂], K = 10⁻³
M[ICl₂], M = K (разл. 215), Rb, Cs (т. пл. 238, разл. 290) [PyH], [PCl₄], крист., оранжев.

IBr ⇌ I₂ + Br₂, ст. дис. 8% (20°), крист., красн., т. пл. 42, т.к. 119 с разл., ΔH = -10, μ = 1.21, I—Br 2.52; **2IBr · Dipy**, уст.; гр. [Br—I—N] – линейна, I—N 2.46 ³³⁾

H[IBr₂], K = 10⁻³
M[IBr₂], M = K (т. пл. 58, разл. 180); Cs (т. пл. 243, разл. 320); [Ph₄P], крист., красн., анион линейный, I—Br 2.71 ¹⁰⁾

[R₄P][I(N₃)₂]; **Na[I(CN)₂] · 2H₂O**, анион линейный, I—C 2.31 ¹⁰⁾

Γ(SO₃F) – см. Табл. "Сера".

[ClF₂]⁺X⁻, [BrF₂]⁺X⁻, [IF₂]⁺X⁻, X = AuF₄, PF₆, BF₄, AsF₆, SbF₆, BiF₆, PtF₆, уст. Sb > As > P, катионы – ψ-тетраэдры (sp³), Г—F 1.54 (Cl), 1.69 (Br), ∠FGF 103 (Cl), 93 (Br), I—Cl 2.31, ∠ClICl 91.5

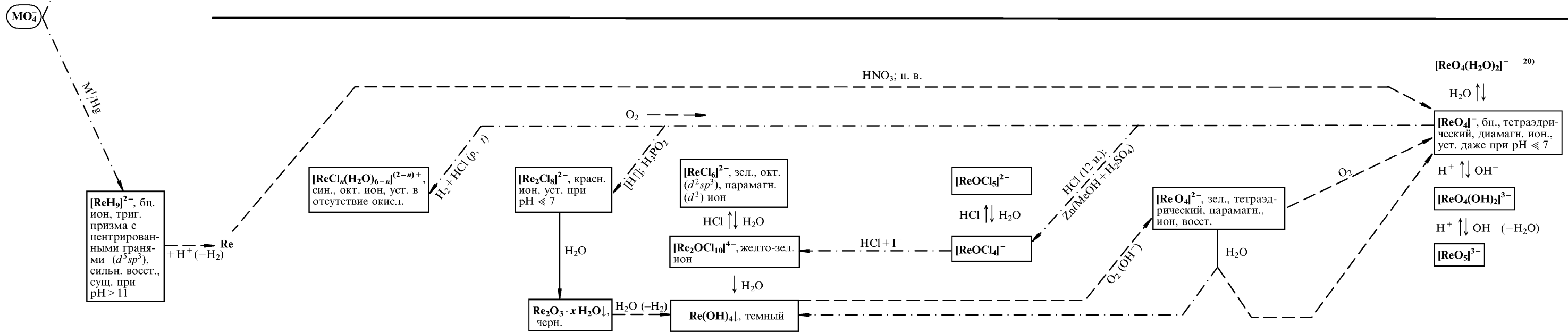
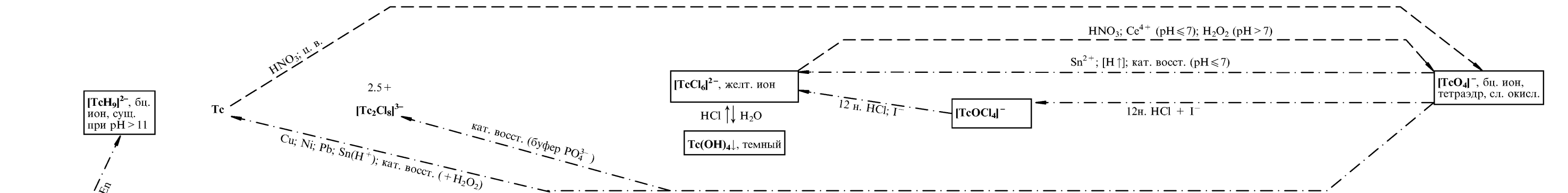
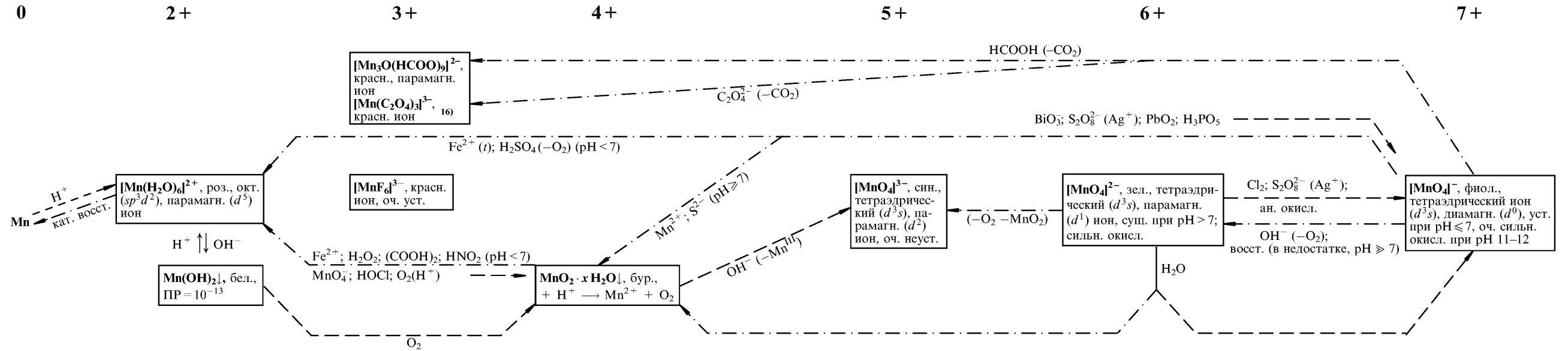
M[ClF₄], M[BrF₄], M[IF₄], M = K–Cs, [NO], крист., бц., анион – квадрат (ψ-окт., sp³d²), Г—F 1.88 (Br), 2.00 (I)
RbBr₂F₇

ICl₃, крист., желт., т. пл. 101 (p), возг., т. к. 64 с разл. (→ ICl + Cl₂), ΔH = -88, в стр. плоские димеры 2ICl₃(ж.) ⇌

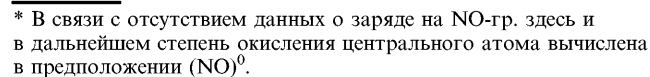
[ICl₂]⁺X⁻, крист., красн., катион – ψ-тетраэдр (<90°), I—Cl 2.27 ¹²⁾
[ΓGCl]⁺X⁻, Г = Br, I, крист., темно-красн. ⁸⁾
[IBr₂]⁺X⁻, X = Sb₂F₁₁, SbCl₆, AlCl₄ ⁸⁾

H[ICl₄] · 4H₂O, крист., оранжев., **K[ICl₄]**, иглы, желт., т. пл. 116 с разл., анион – квадрат (ψ-окт.), I—Cl 2.42, 2.47, 2.60, 2.53 ¹³⁾

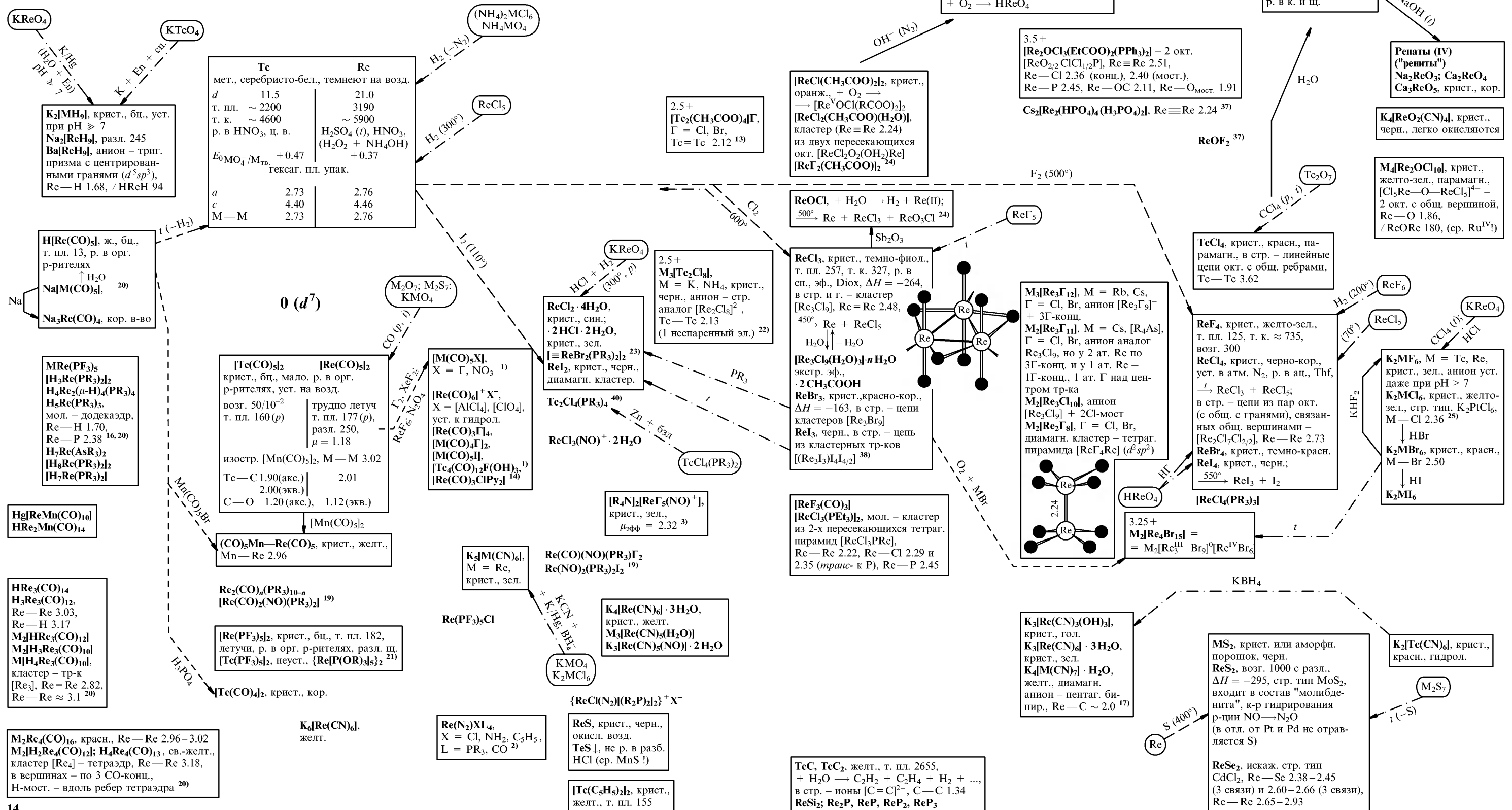
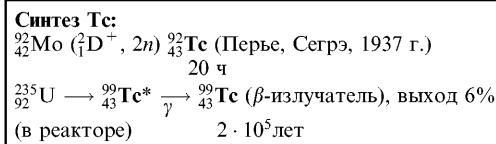
ИОНЫ МАРГАНЦА, ТЕХНЕЦИЯ И РЕНИЯ В ВОДНОМ РАСТВОРЕ



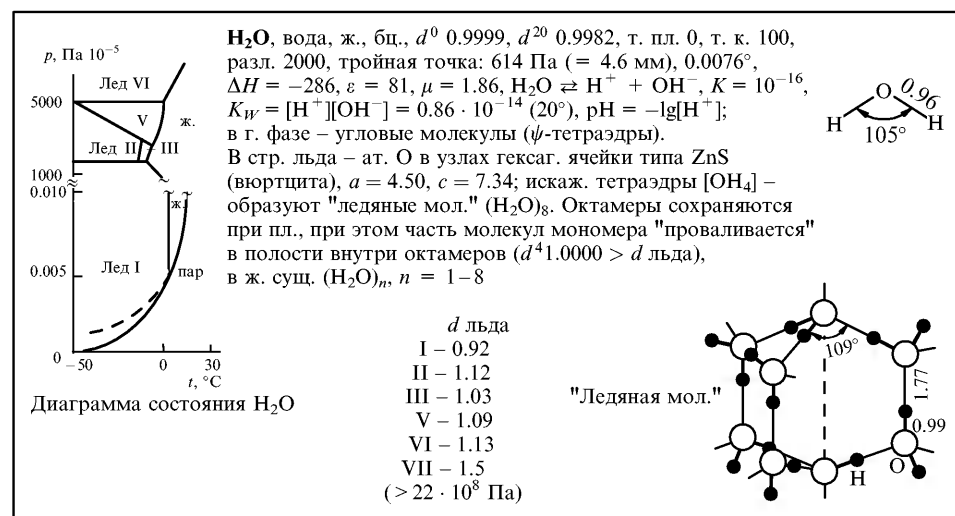
Ионы марганца в водном растворе см. с. 11



Ионы Tc и Re в водном р-ре см. с. 11

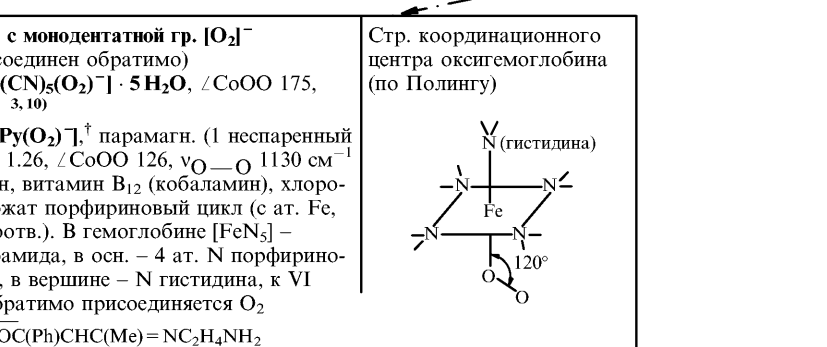
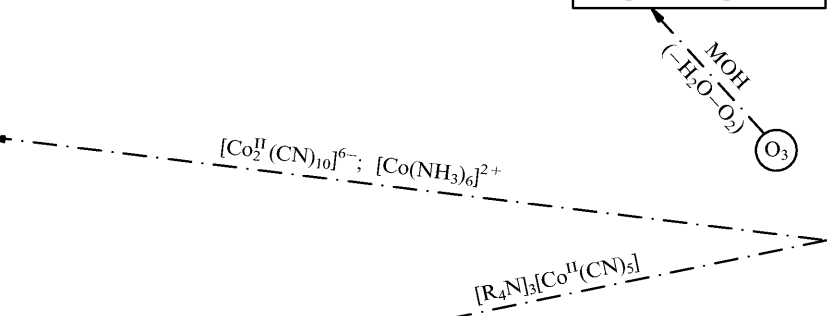
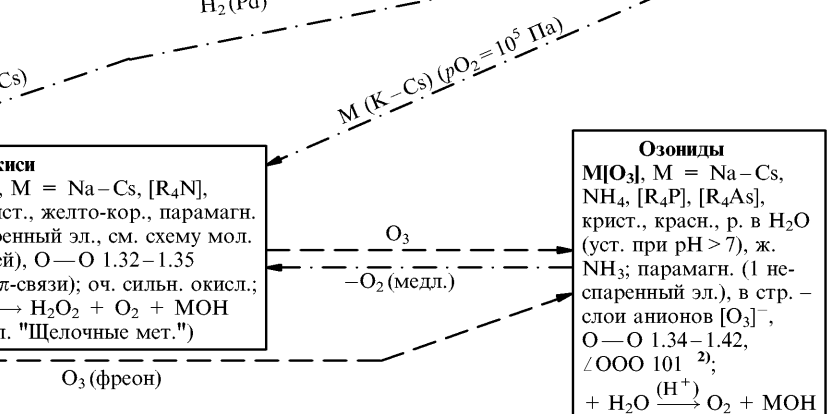
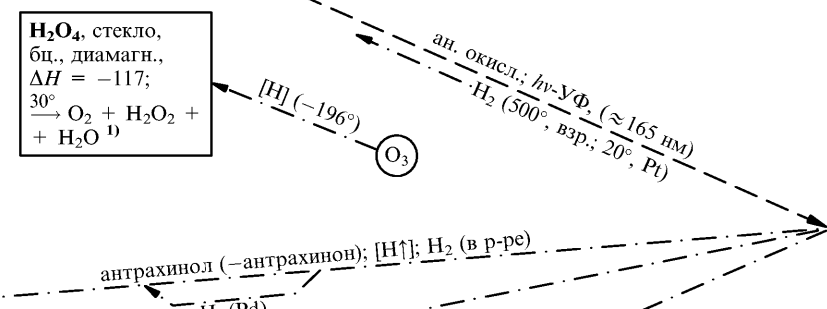
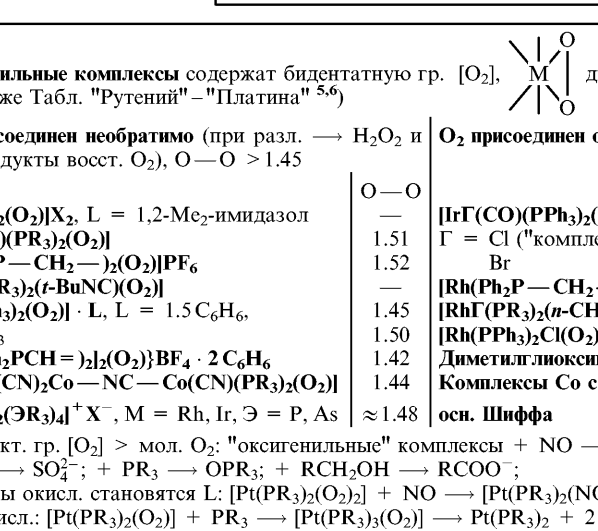
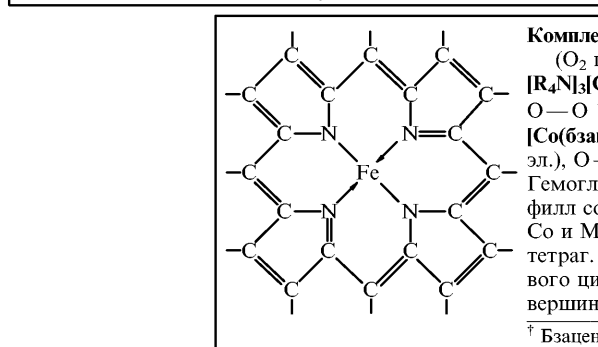
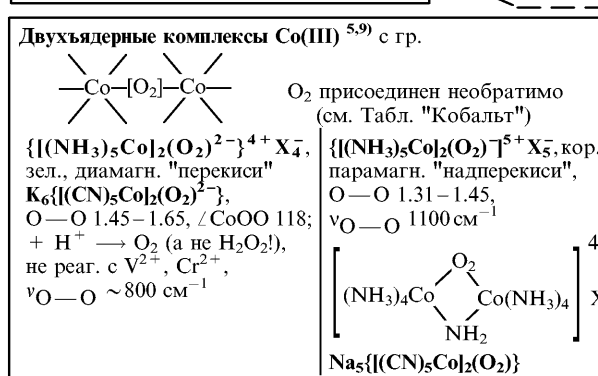
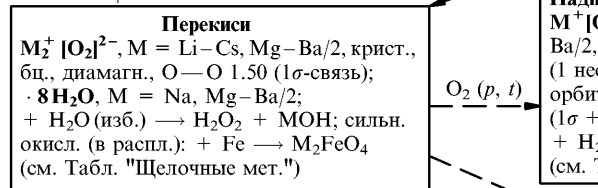
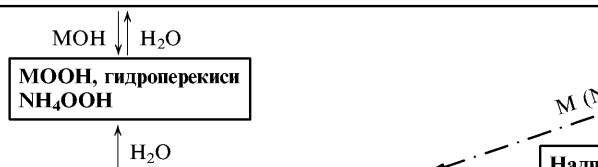
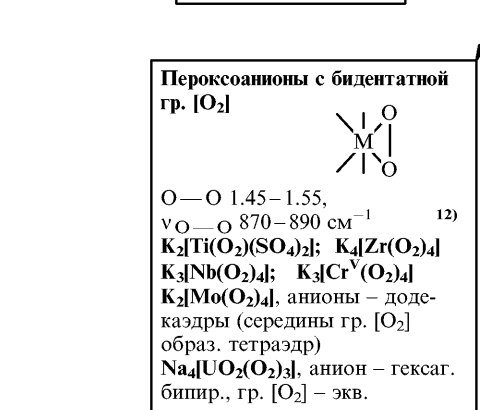
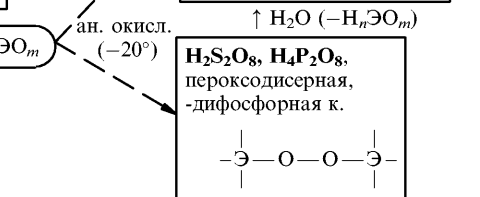
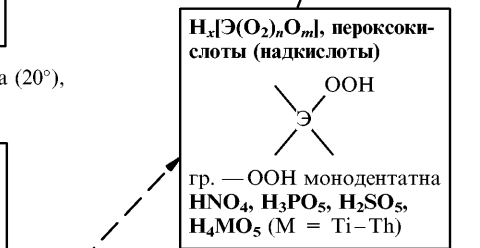
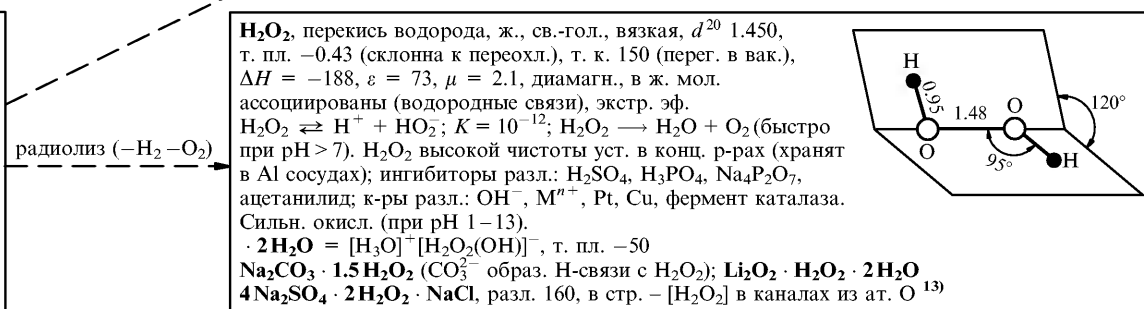
$$4 + (d^3)$$




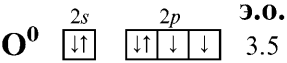


Соединения гидроксония ⁹⁾
 $[\text{H}_3\text{O}]^+ \text{X}^-$, уст. при $\text{X} = \text{AsF}_6, \text{SbF}_6$ (разл. 193 и 357), $\text{PtF}_6, \text{BiF}_6$; катион – ψ -тетраэдр.
 $[(\text{H}_3\text{O}) \cdot n \text{H}_2\text{O}]^+ \text{X}^-$, $n = 1$ ($[\text{H}_5\text{O}_2]^+$), 2 ($[\text{H}_7\text{O}_3]^+$), 3 ($[\text{H}_9\text{O}_4]^+$) – пирамида $[\text{O}(\text{H} \cdots \text{OH}_2)_3]$, $\text{O}-\text{H}$ 1.09, $\text{O} \cdots \text{H}$ 1.32, $\text{O} \cdots \text{O}$ 2.48–2.62, $\angle \text{OOO}$ 111–116°; 5 ($[\text{H}_{13}\text{O}_6]^+$).

$[\text{R}_3\text{O}]\text{X}$, $\text{R} = \text{Alk}$, соединения алкилоксония,
 $\text{HX} \cdot \text{R}_2\text{O}$; $\text{HX} \cdot \text{ROH}$



КИСЛОРОД



"1/2 + "

"2/3 + "

"1 + "

"2 + "

	Число валентных эл.	Число связей	O—O	ν_{O-O} , см ⁻¹	Число неспаренных эл.
[O ₂] ²⁻	14	1 σ_z	1.50	880	0
[O ₂] ⁻	13	1 σ_z + 0.5 π = 1.5	1.33	1089	1
O ₂	12	1 σ_z + 1 π = 2	1.21	1555	2
[O ₂] ⁺	11	1 σ_z + 1.5 π = 2.5	1.13	1825–1864	1

КClO₃; KMnO₄
KNO₃

(t)

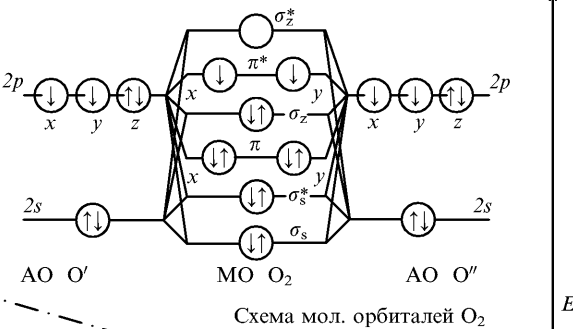
O₂, г., бц., $d^0 = 1.429$, т. пл. -219 , т. к. -183 ($>$ т. к. N₂), разл. >2000 , $\Delta H_{\text{дис}} = +494$; ж., гол.; крист., син., парамагн. (2 неспар. эл.); р. в H₂O $\approx 5\%$ (об.), хор. р. в Рт-черни, акт. С; O—O 1.21 (1 σ + 1 π -связь); мол. стр., γ -, куб., $a = 6.83$, O₂...O₂ 3.68
↓ -229°
 β -, ромбоэдрическая, $a = 6.19$, $\alpha = 99.1$
↓ -249°
 α -, ромб., $a = 5.50$, $b = 3.82$, $c = 3.44$
Реаг. почти со всеми М (t)

НСlO₄;
HNO₃

ан. окисл.
(-50° , вак.)

O₃, озон, ⁷⁾ г., гол. (при конц $\geq 15\%$) с характерным запахом, яд, $d = 2.144$, т. пл. -193 (перехл. $\geq -250^\circ$), т. к. -110 ; ж., темно-син.; крист., черно-фиол.; $\Delta H = +144$, разл. 250, взр. при ударе. К-ры разл.: NO, Cl₂, Pt, CuO и т. д. Р. в H₂O $\sim 45\%$ (об.), хор. р. в CCl₄, фреонах (CCl_nF_{4-n}); диамагн., мол. угловая, $\mu = 0.53$, 1.5-кратные связи (1 σ + 0.5 π) (ср. SO₂!) При 20° реаг. со всеми М (кроме Рт и Au); орг. в-ва воспл.

[O₂]⁺X⁻, X = [BF₄], [M^{IV}F₆] (M = Mn, Ni), [Э^VF₆] (Э = P–Bi, Nb, Ta, Au, Ru, Rh, Pt), [Э₂F₁₁] (Э = Sb, Bi, Nb, Ta), соли оксигенила, крист., бц. (окрашены за счет аниона), уст. [O₂][ЭF₆] растет по ряду Э: Р (разл. -80) \ll As $>$ Sb (разл. 13) \ll Pt (возг. 100);
H₂O \xrightarrow{t} O₂ + F₂ + ЭF₂; сильнее окисл.;
+ Xe, Rn $\xrightarrow{(20^\circ)}$ [XeF]⁺[ЭF₆]⁻ + O₂ (очистка атм. от Xe*, Rn*);
[O₂][PtF₆] изостр. KPt^VF₆; парамагн. катион (1 неспаренный эл., см. схему мол. орбиталей), O—O 0.96–1.13 (1 σ + 1.5 π -связи), ν_{O-O} 1825–1864 ⁴⁾



PtF₆; SbF₅ + F₂(hν-УФ); М + F₂(t, p, ИК)

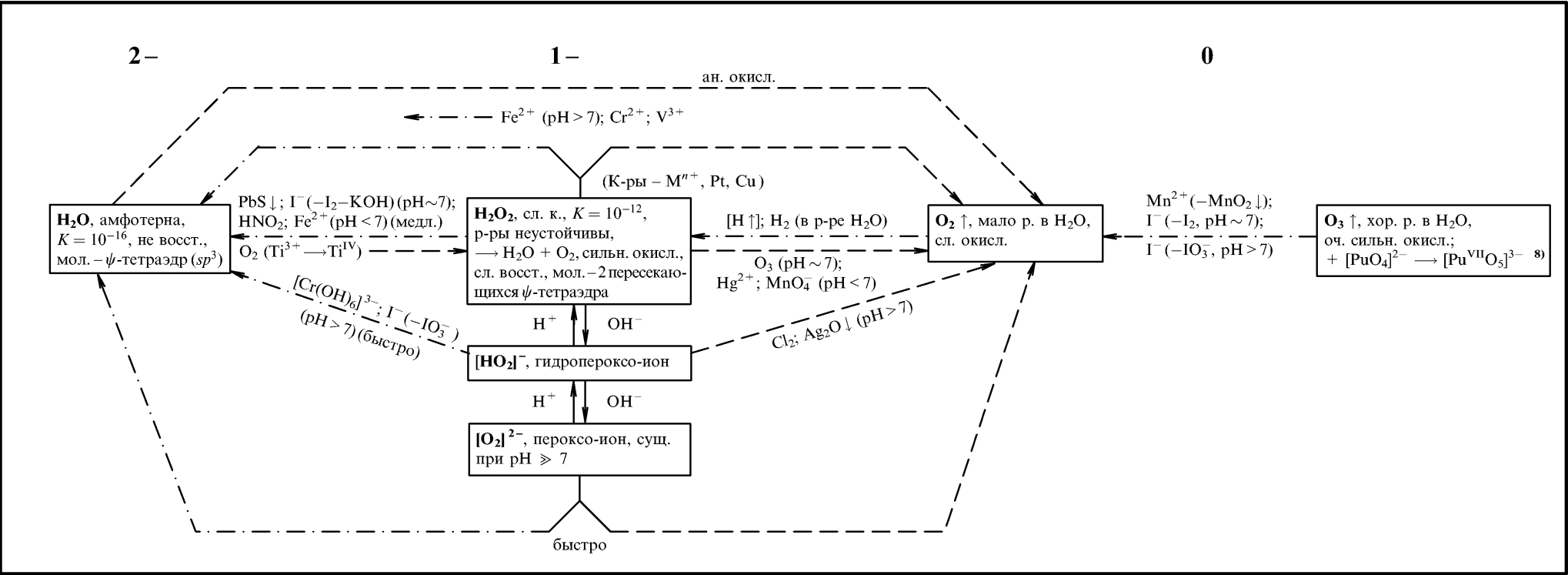
O₆F₂ (?), крист., красн., разл. -213 (\rightarrow O₃), взр. ¹⁴⁾

O₄F₂ = F—(O)₄—F (?), "фторид оксозона", крист., красно-кор., т. пл. -199 , взр. ¹⁴⁾

"O₃F₂" = O₄F₂ + O₂F₂ (?), "фторид озона", ж., красн., т. пл. -189 , т. к. ≈ -179 (вак.), ¹⁴⁾ разл. -160 , $\Delta H = +25$, парамагн.

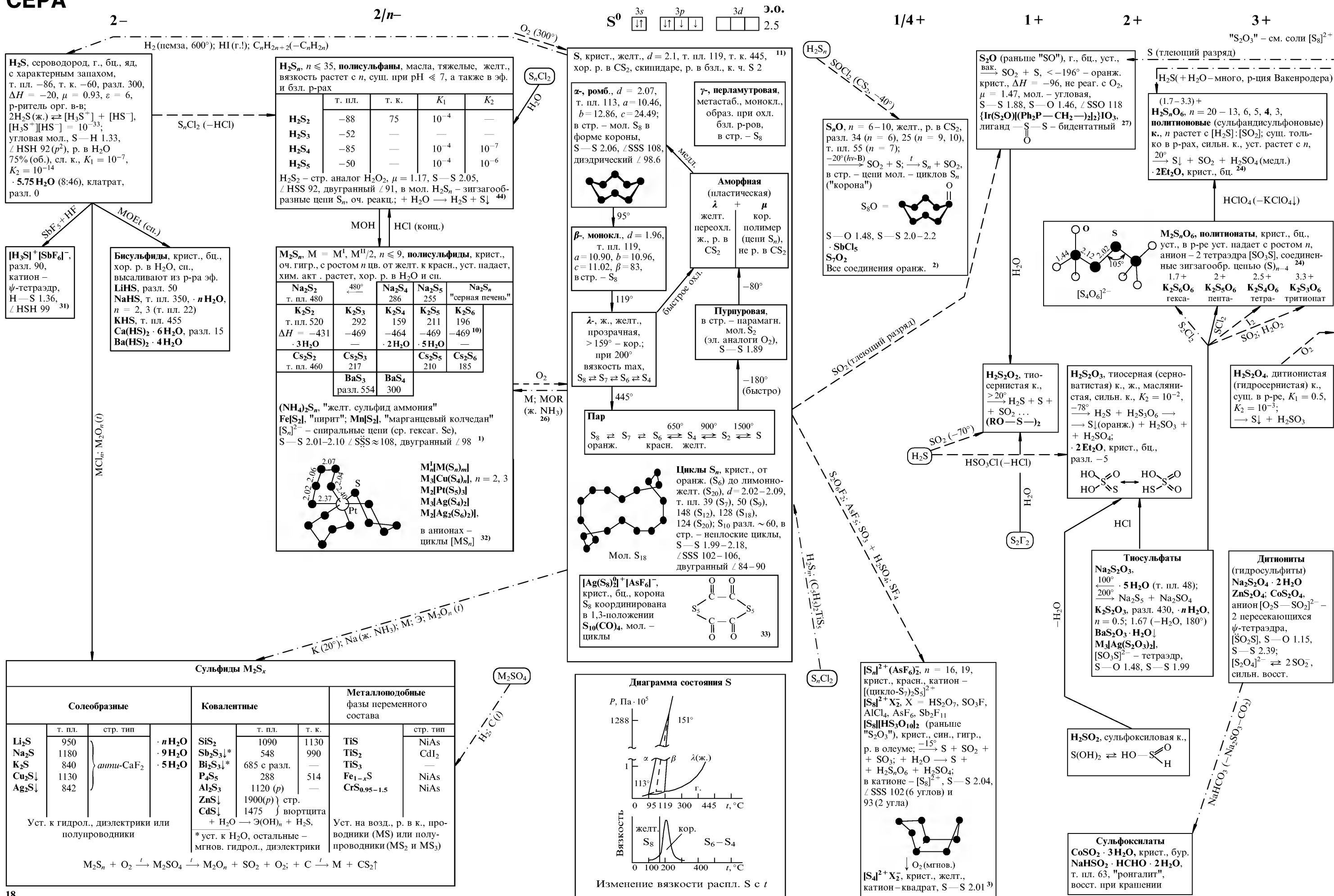
O₂F₂, крист., оранжев., т. пл. -163 , т. к. -57 , т. разл. -100 , $\Delta H = +21$, мол. – стр. аналог H₂O₂, O—F 1.58, O—O 1.22 ($\sigma + \pi = 2$ связи), \angle FOO 110, двугранный \angle 87.5, сильнейший окисл. и фторагент ¹⁴⁾

OF₂, г., бц., яд, т.пл. -224 , т. к. -145 , разл. 200, $\Delta H = +25$, угловая мол., F—O 1.40, \angle FOF 103, $\mu = 0.30$, сильнейший окисл. и фторагент, р. в H₂O $\sim 6.5\%$ (об.) при 0°, разл. щ.;
+ H₂O \xrightarrow{t} O₃ + O₂ + HF (взр.);
+ OH⁻ \rightarrow H₂O + O₂ + F⁻;
+ HГ \rightarrow Г₂ + HF + H₂O;
+ Xe \rightarrow XeF₂ + XeOF₂ ¹⁴⁾



Оксиды (типы структур)				
Ионные	Молекулярные		Полимерные	Металлоподобные
т. пл.	т. пл.	т. к.	т. пл.	т. к.
Li₂O 1570	Cl₂O₇ -90	87	BeO 2580	4260
K₂O 740	Mn₂O₇ 5.9	разл.	Тип. вюрцита	
стр. тип. анти-CaF ₂	мол. – 2 тетраэдра с общ. вершиной		Al₂O₃ , 2072	~ 3500
			тип. корунда (α)	
CaO 2614	OsO₄ 39.5(α)	130	TiO₂ 1870	~ 3000
BaO 1923	XeO₄ -36	—	тип рутила.	
стр. тип. NaCl	мол. – тетраэдр			
	SeO₃ 121	возг.		
	в стр. – циклы			
	[SeO₃]₄(α)			
	P₂O₃ 24	175		
	в стр. – мол. Р ₄ O ₆			
+ H ₂ O \rightarrow M(OH) ₂	+ H ₂ O \rightarrow Э ₂ O _n · x H ₂ O			

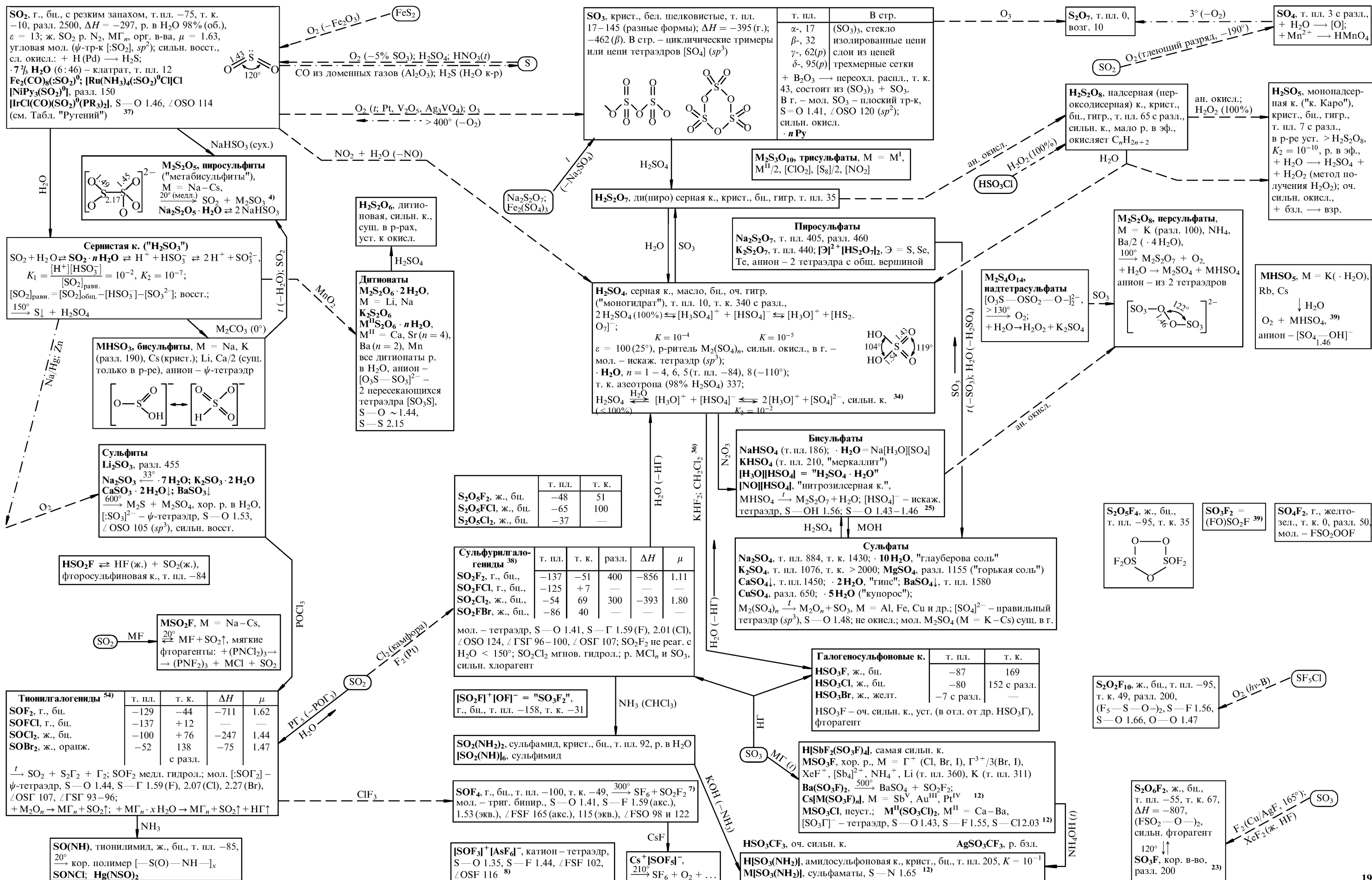
Не реаг с H₂O

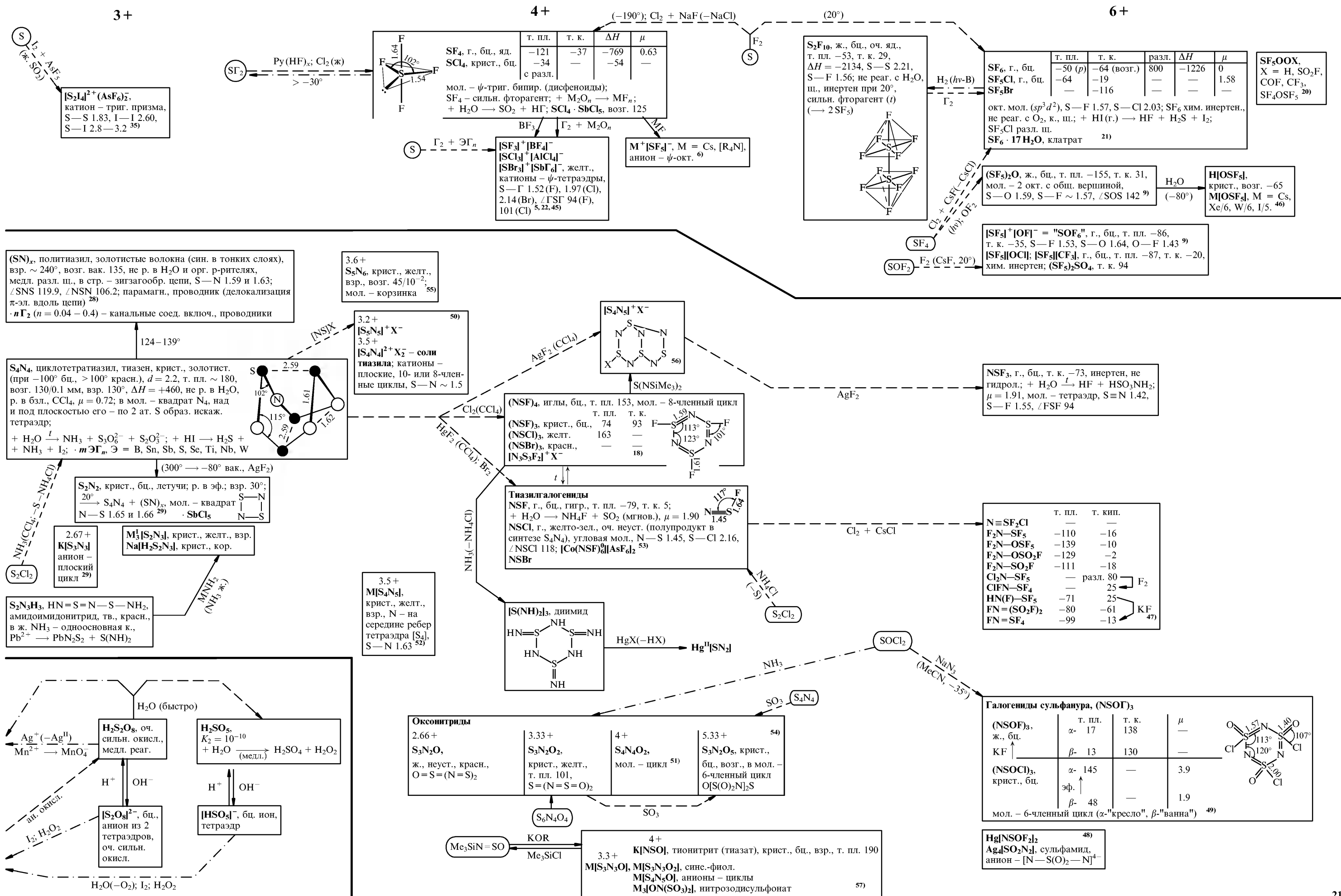


4 +

5+

6+





СЕЛЕН, ТЕЛЛУР, ПОЛОНИЙ

2-

2/n-

2/n+

1+

2+

4+

Se ⁰	4s	4p	4d	3.0.
	↑↓	↑↓ ↑↓ ↑↓	↑↓	2.4
Te ⁰	5s	5p	5d	2.1
	↑↓	↑↓ ↑↓ ↑↓	↑↓	
Po ⁰	6s	6p	6d	1.8
	↑↓	↑↓ ↑↓ ↑↓	↑↓	

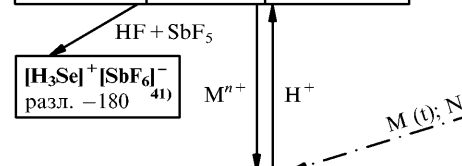
Образование Po при радиоактивном распаде:

$^{238}_{92}\text{U} \xrightarrow{\alpha} \dots \xrightarrow{\alpha} ^{218}_{84}\text{Po} \text{ ("Ra A")} \xrightarrow{\beta, \gamma} ^{214}_{83}\text{Bi} \xrightarrow{\beta, \gamma} \dots$
 $^{214}_{84}\text{Po} \text{ ("Ra C'")} \xrightarrow{\beta, \gamma} \dots \xrightarrow{\beta, \gamma} ^{210}_{83}\text{Bi} \xrightarrow{\beta, \gamma} \dots$
 $^{210}_{84}\text{Po} \text{ ("Ra F'")} \xrightarrow{\alpha, \gamma} \dots$
 $7 \cdot 10^{-9} \%$ в урановой руде

$^{235}_{92}\text{U} \xrightarrow{\alpha} \dots \xrightarrow{\alpha} ^{215}_{84}\text{Po} \text{ ("Ac A'")} \xrightarrow{\alpha} ^{211}_{82}\text{Pb} \xrightarrow{\beta, \gamma} \dots$
 $\dots \xrightarrow{\beta, \gamma} ^{211}_{83}\text{Bi} \xrightarrow{\beta} ^{211}_{84}\text{Po} \text{ ("Ac C'")} \xrightarrow{\alpha} \dots$
 $^{232}_{90}\text{Th} \xrightarrow{\alpha} \dots \xrightarrow{\alpha} ^{220}_{86}\text{Rn} \xrightarrow{\alpha} ^{216}_{84}\text{Po} \text{ ("Th A'")} \xrightarrow{\alpha} \dots$
 $\dots \xrightarrow{\alpha} ^{212}_{82}\text{Pb} \xrightarrow{\beta, \gamma} ^{212}_{83}\text{Bi} \xrightarrow{\beta, \gamma} ^{212}_{84}\text{Po} \text{ ("Th C'')} \xrightarrow{\alpha} \dots$

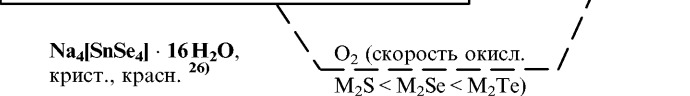
Синтез:
 $^{209}_{83}\text{Bi}(n, \gamma) ^{210}_{83}\text{Bi} \xrightarrow{\beta} \dots \xrightarrow{\beta} ^{210}_{84}\text{Po}$, отделяют от Bi перегонкой вак.

H ₂ Se	H ₂ Te	H ₂ Po
г., бц., яд с неприятным запахом		выход ≤ 0.1%
т. пл. -65	-49	-36
т. к. -42	-2	+35
ΔH = +84	+100	оч. неустойчив
разл. 280	>0	
р. в H ₂ O 75	50% (об.)	
K ₁ = 10 ⁻⁴	10 ⁻³	
K ₂ = 10 ⁻¹¹	10 ⁻⁵	
угловые мол.		
Э—H 1.46	1.66	
ΔHЭН 90.6	90.2	



Селениды	Теллуриды	Полониды
M'HSe, крист., бц., гигр.	Na ₂ Te, ·9H ₂ O, крист., бц.	M ₂ Po, M = Na—Cs, стр. тип CaF ₂
M ₂ Se, крист., бц., гигр.	Al ₂ Te ₃ , "гессит"	MPo, M = Be—Ra, Zn—Hg, Ni, Pb, стр. тип NaCl, черн., летучи
Cu ₂ Se, "берцелианит"	AuTe ₂ , "калаверит"	
HgSe, "тиманит"	HgTe, "колорадоит"	
Hg(Se,S), "онофрит"	PbTe, "алтаит"	
PbSe	Bi ₂ Te ₂ S, "тетрадимит"	

МЭ, М = Ge—Pb, Zn—Hg, As, Mn, Bi; Э = Se, Te, полупроводники, фоточувствительные материалы, лазеры



распл. (быстро) окл.

Se: порошок, аморфн., красн. (106°) или стекло, d = 4.3; в стр. — перепутанные цепи. ↓CS₂ р-р. оранж. с зел. отливом < 72° α-, крист., красн., d = 4.5, монокл., a = 9.05, b = 9.07, c = 11.61, β = 90°46', в стр. — циклы Se₈, Se—Se 2.35, ∠SeSeSe 102; β-, крист., красн., d = 4.4; т. пл. 180 (быстрый нагрев) монокл., a = 12.85, b = 8.04, c = 9.31, β = 93°8', в стр. — Se₈ "корона" ↓ 130° "серый" Se (термодинамич. уст.), d = 4.81, т. пл. 217, т. к. 685 р. в H₂SO₄, HNO₃, ц. в., (щ. + H₂O₂) Металлоподобные проводники обладает фотопроводностью хрупок (пластичен при высоких t) гексаг. крист.

Te: "аморфный", порошок, кор. в стр. — цепи. Te—Te 2.86, ∠TeTeTe 102 α-, куб., a = 3.34, ∠MMM 90, к. ч. 6 β-, ромбоэдрич., к. ч. 6. Сущ. при 20° за счет выделения тепла при торможении α-частиц серебристо-серый, d = 6.24, т. пл. 450, т. к. 990 р. в H₂SO₄, HNO₃, ц. в., (щ. + H₂O₂) Металлоподобные проводники хрупок (пластичен при высоких t) гексаг. крист.

Po: мет., серебристо-бел., светится в темноте, d = 9.4, т. пл. 254, т. к. 962, р. в HCl, конц. HNO₃, распл. щ., E₀Po⁴⁺/Po_{тв} = +0.765 α-, куб., a = 3.34, ∠MMM 90, к. ч. 6 β-, ромбоэдрич., к. ч. 6. Сущ. при 20° за счет выделения тепла при торможении α-частиц

Стр. гексаг. Se и Te

Te(Pr₃)₂

Te₂Γ, Γ = Cl—I [= (Te₂)₂(Γ)₂] Te₃Cl₂

Se₂C; (SeN)₄ Se₄P₂; Se₃P₂; Se₅P₂ TeC; Te₃N₄; Te₃P₂ Se₃N₂Cl₂ ("Se₄N₂") = [Se₃N₂]²⁺Cl₂, катион — цикл⁴²⁾

Se₄S₄, крист., красн., т. пл. 113 Se₂S₆, крист., оранж., т. пл. 122 Se_nS_{8-n}, монокл., циклы [Э_nS_{8-n}]³⁰⁾

Полиселениды M₂Se_n, n = 2—6 Rb₂Se₃, RbSe, Rb₁₁Se₈, RbSe₂, RbSe₃, красн., стр. аналоги M₂S_n Полителлуриды Na₂Te_n, n = 2—6; черн., крист., гигр.²⁵⁾

SeCl₂, мол., угловая (ψ-тетраэдр), Se—Cl 2.16

Na₂SeO₃, селеносульфат Na₂[SSeO₃], тиоселенат H₂[SSeO₃] · 2H₂O K₂[TeSe₂(SO₃)₂] · 1.5H₂O K₂[Se(SCN)₃] · H₂O K₂[Se*(SCN)₃] · H₂O, анионы — 2 квадрата с общ. ребром, Se—S ≈ 2.3(конц.), 3.0(мост.), Se*—Se 2.4(конц.), 3.2(мост.)²¹⁾

Se(CN)₂, Se(SCN)₂, Se(SeCN)₂²⁸⁾

Se₂Cl₂, масло, красн., т. пл. -85, т. к. 127, μ = 2.1 Se₂Br₂, масло, красн., т. пл. 5, т. к. 225, зигзагообр. мол., Se—Se 2.24; ΔH = -31, t → Se + SeΓ₄, + H₂O → Se↓ + H₂SeO₃ + HΓ Se₂(CN)₂; SeSCl₂²⁷⁾

TeCl₂, зел. TeBr₂, кор. t → Te + TeΓ₄; мол. TeΓ₂ — ψ-тетраэдр, Te—Γ 2.36(Cl), 2.51(Br), ∠ΓTeΓ 97(Cl), 98(Br)

(R₄N)₂[TeΓ₄], анион — квадрат, Te—Γ 2.61(Cl), 2.75(Br), 2.98(I)²⁸⁾

PoCl₂, крист., красн., возг. 196 PoBr₂, кор.

PoSe₄, крист., р. в конц. HCl, (NH₄)₂S, сп., толуоле

3+ [Se₂I₄][Sb₂F₁₁]₂, Se—Se 2.84²²⁾

SeO₂, иглы, гигр., бел., яд, d = 3.95, возг. 337, т. пл. ~ 350(p), ΔH = -239, р. в H₂O 69% (25°), сп., ап., CH₃COOH; "селенолит", в стр. — цепи; в г. (яд с запахом гнилой редьки) — мол. мономера, Se—O 1.61, ∠OSeO 113, μ = 2.7

H₂SeO₃, селенистая к., крист., бц., гигр.; т. пл. 70, ΔH = -527; K₁ = 10⁻³, K₂ = 10⁻⁹; восст.; в стр. — сетка из ψ-тетраэдров [SeO₃], Se—OH 1.74, Se—O 1.64⁴⁾

Селениты, NaH₇[SeO₃]₄ MH₃(SeO₃)₂, M = Li—Cs Na₂SeO₃ · 5H₂O; Ag₂SeO₃↓, ПР = 10⁻¹⁵; M^{II}SeO₃ · nH₂O, n = 2, M = Cu ("холькоменит"), Pb ("керстенит"), Ni ("альфельдит"); n = 1, M = Mn, Co, Ni, Zn, Cd [SeO₃]²⁻ — ψ-тетраэдр, Se—O 1.70—1.76, ∠OSeO 99—102⁷⁾

Селенигалогениды^{29,31)}

	т. пл.	т. к.	μ
SeOF ₂ , ж., бц.	14.5	125	2.84
SeOCl ₂ , ж., желт., р. S, Se, Br ₂ , I ₂ , ε = 46	11	179	2.62
SeOBr ₂ , крист., оранж.	42	с разл. 217	—

мол. ψ-тетраэдр [SeOΓ₂], Se=O 1.60, Se—Γ 1.70(F), 2.18(Cl), ∠ΓSeΓ 92(F), 96(Cl), ∠ΓSeO 105

Se(OR)₄, крист., бц., гигр.

CsSeF₅, [SeF₅]⁻ — ψ-окт.⁵⁾ M₂SeF₆ M₂SeCl₆, M = NH₄, K—Cs, крист., желт. Me₂SeBr₆, H₂SeBr₆ · 8H₂O³²⁾ M₂Se₂Br₁₀ Cs₂SeI₆ Стр. M₂SeΓ₆ (Γ = Cl—Br) типа K₂PtCl₆, анион [SeΓ₆]²⁻ — правильный окт.(!), Se—Γ 2.41(Cl), 2.54(Br)

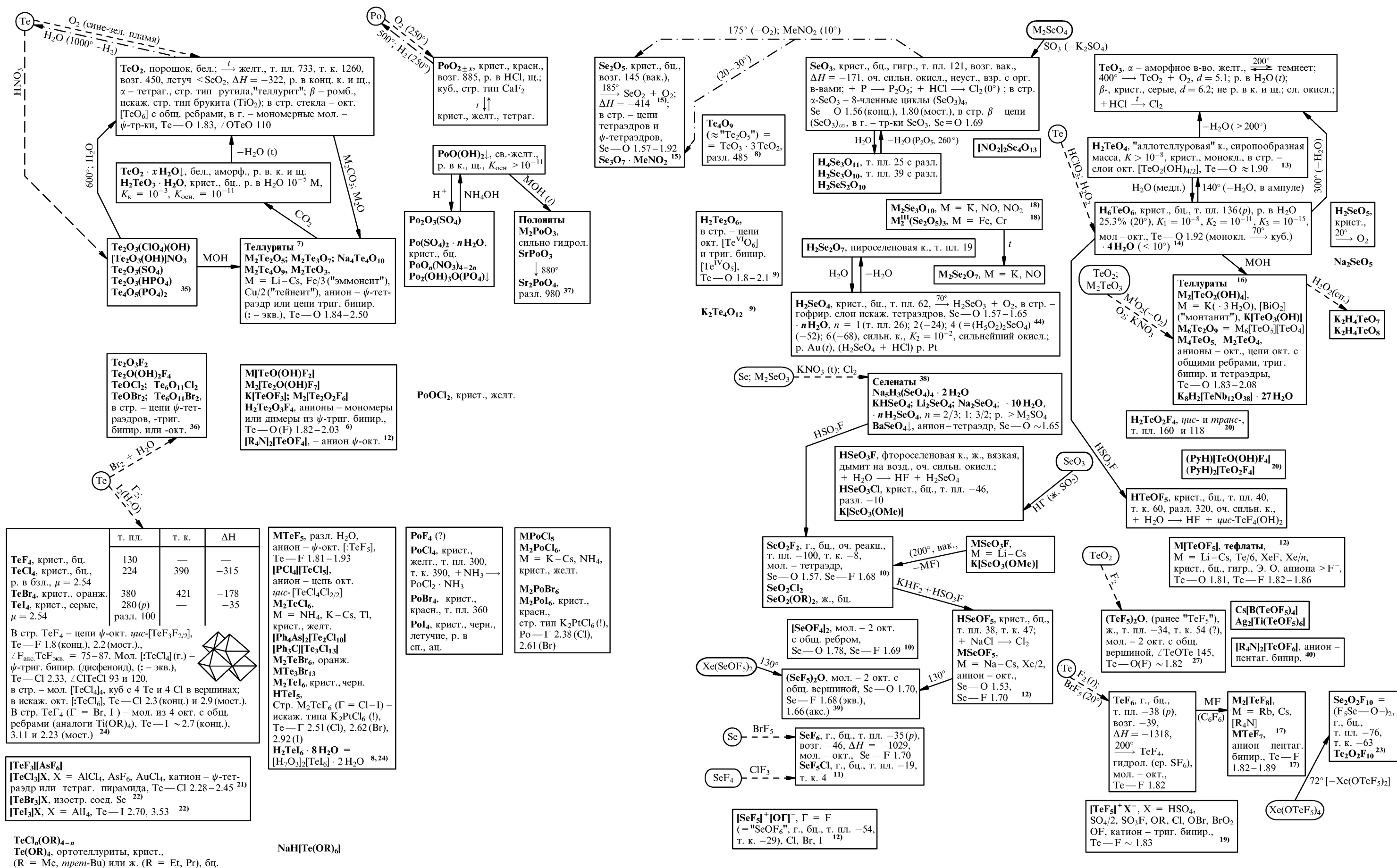
[R₄N]₂[SeOCl₄] M[SeOΓ₃] = M₂[(OΓ₂Se)₂(μ-Γ)₂] M[SeO(OMe)₃], иглы, гигр., анион — ψ-триг. бипир. [SeO₄]³⁴⁾

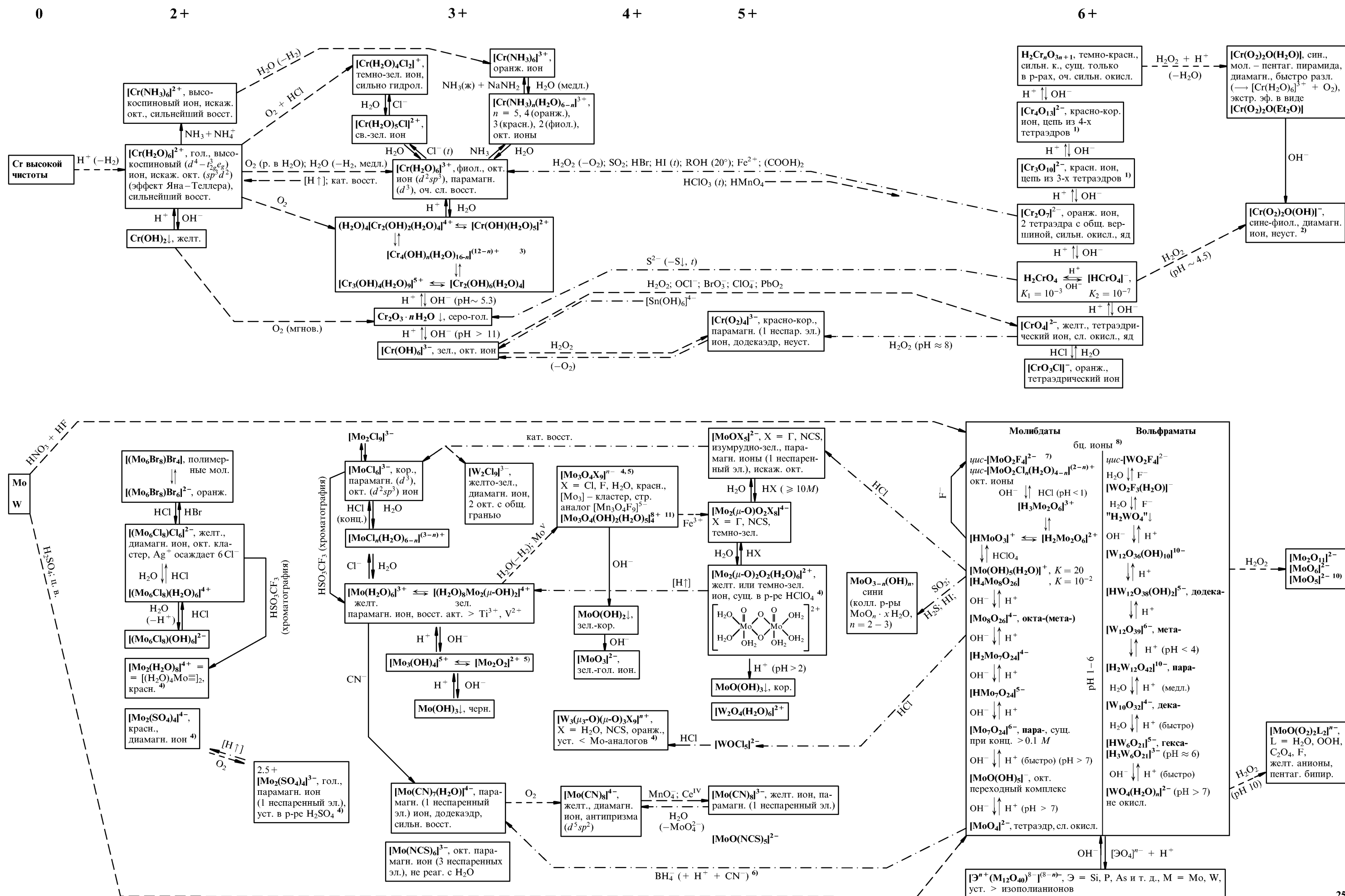
[SeF₃]⁺[NbF₇]⁻, ∠FSeF 94²²⁾ [SeCl₃]⁺X⁻, X = AlCl₃, AsF₆, катион — ψ-тетраэдр, Se—Cl 2.11 и еще 3 связи ≈ 3 [SeBr₃]⁺[AsF₆]⁻, в стр. — каркас окт. [SeBr₃F₃] и [AsF₆], Se—Br 2.27, Se—F 2.8 [SeI₃]⁺[AsF₆]⁻, Se—I 2.5, Se—As 2.9

4 +

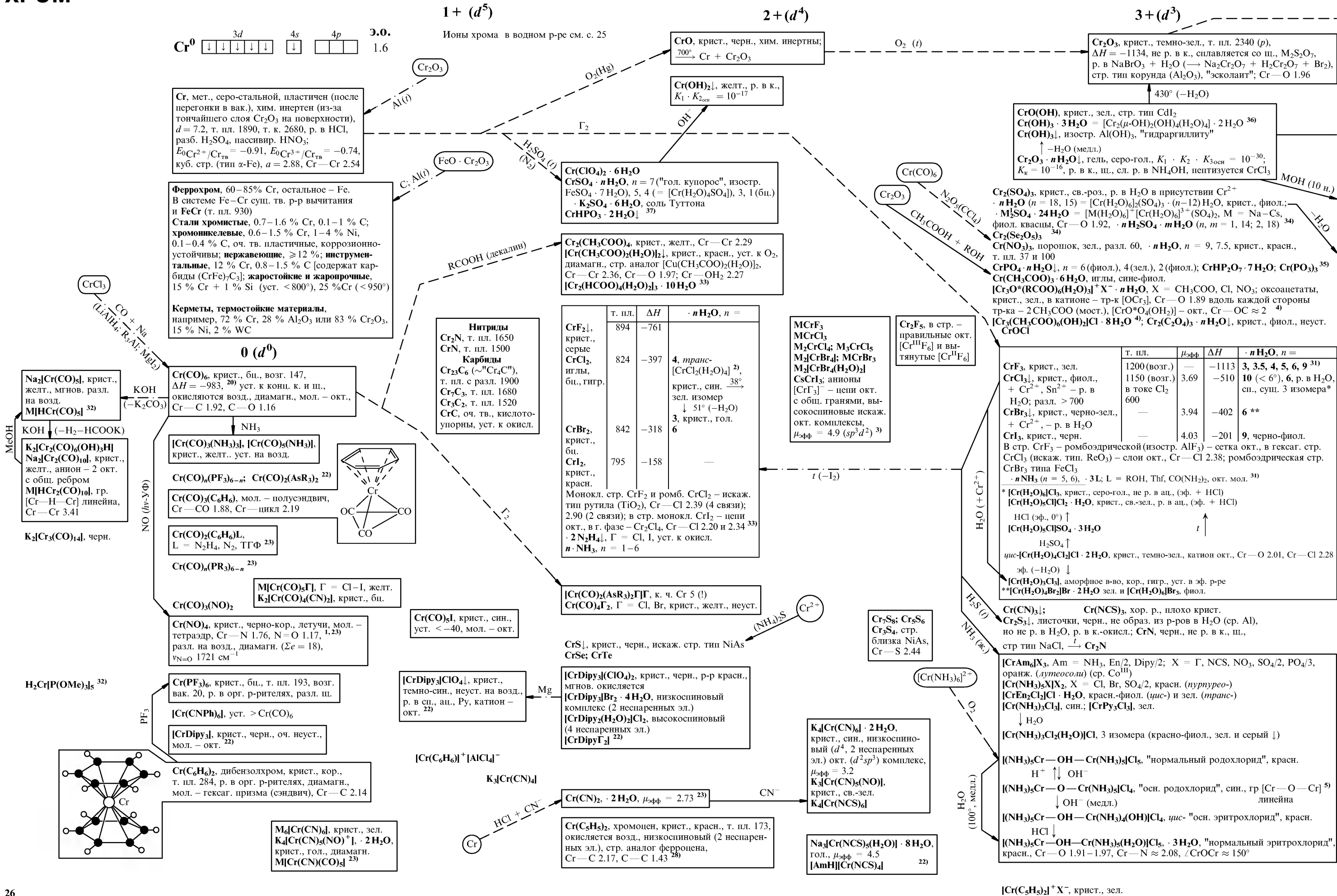
"5 +"

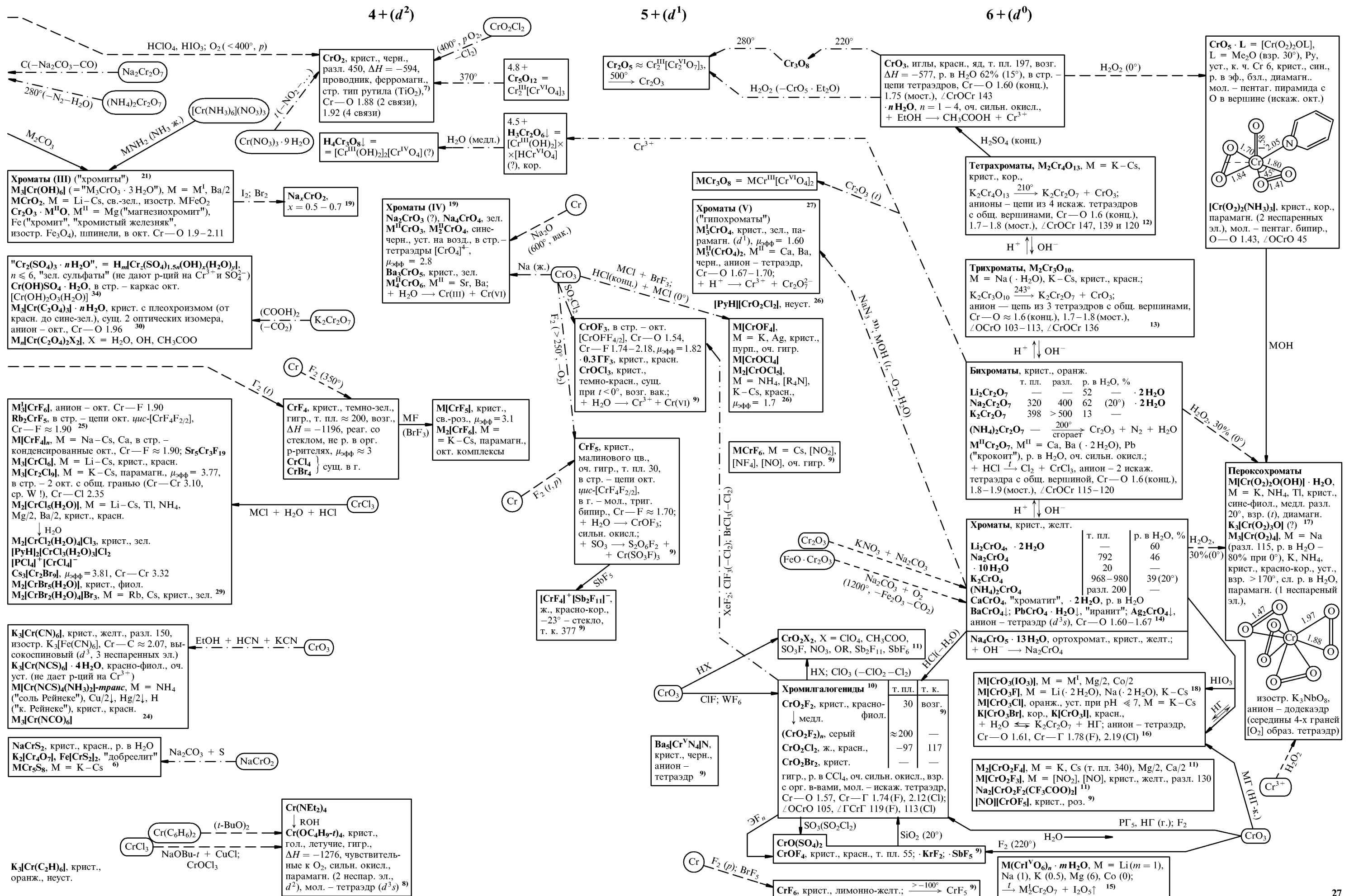
6 +





ХРОМ

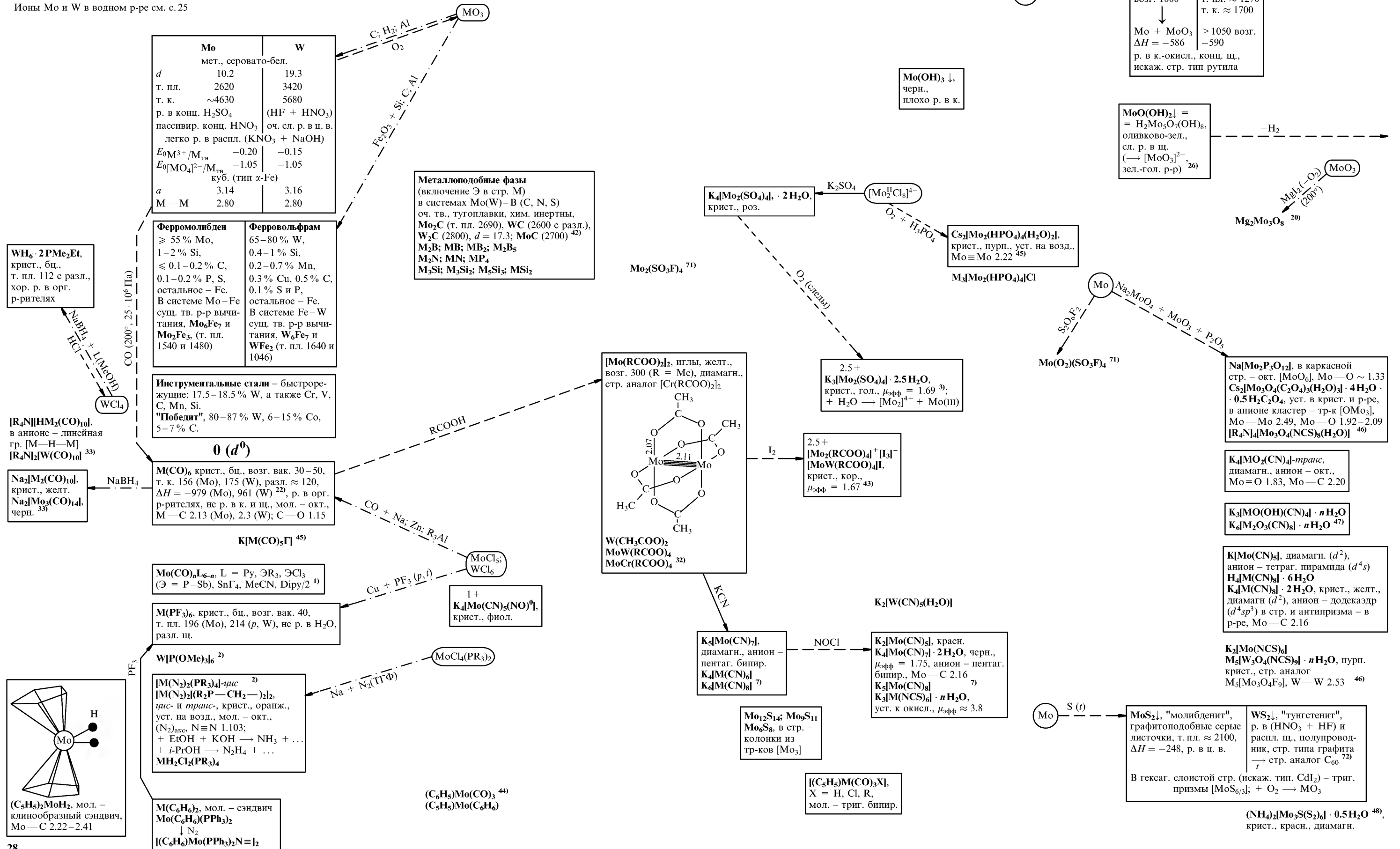


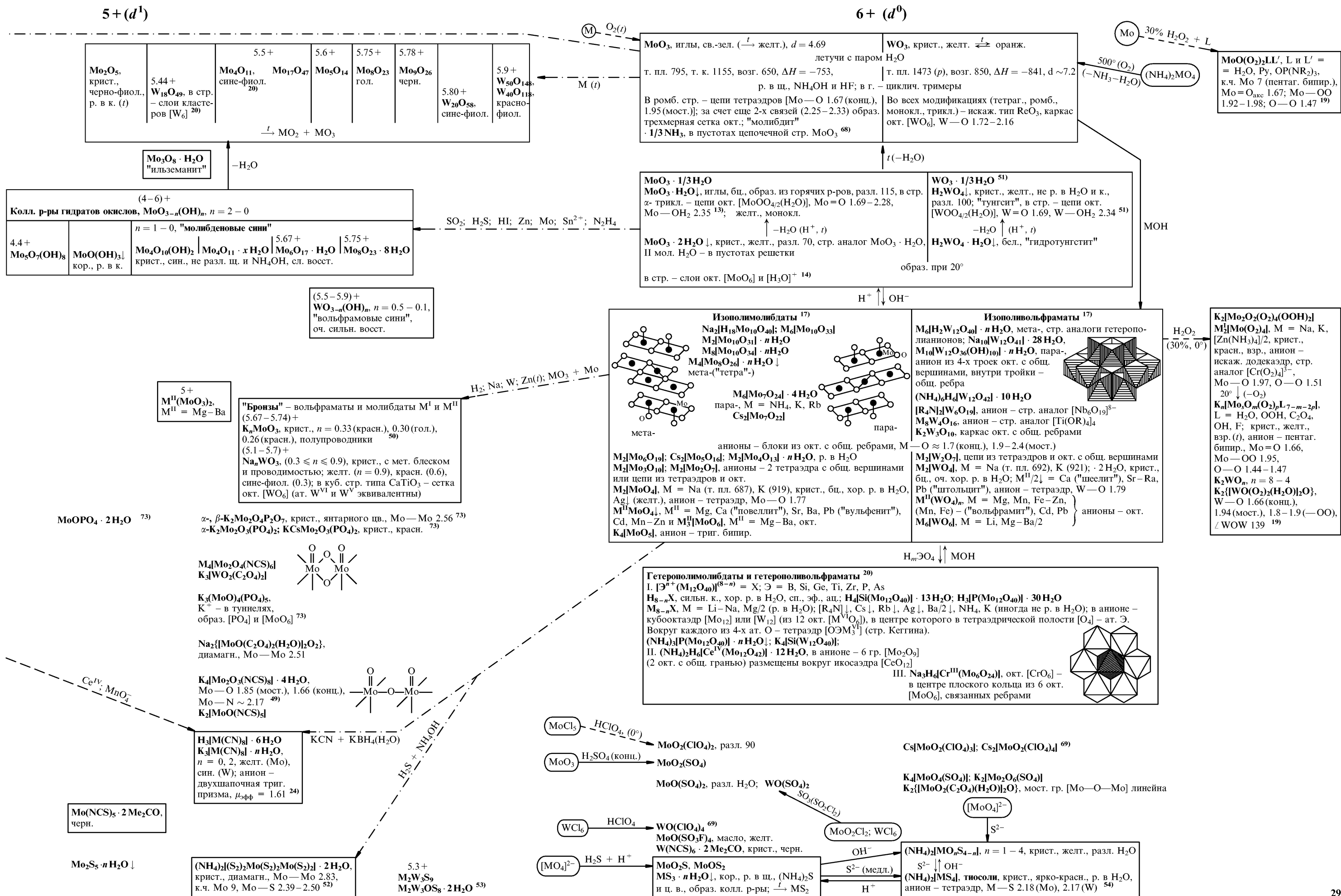


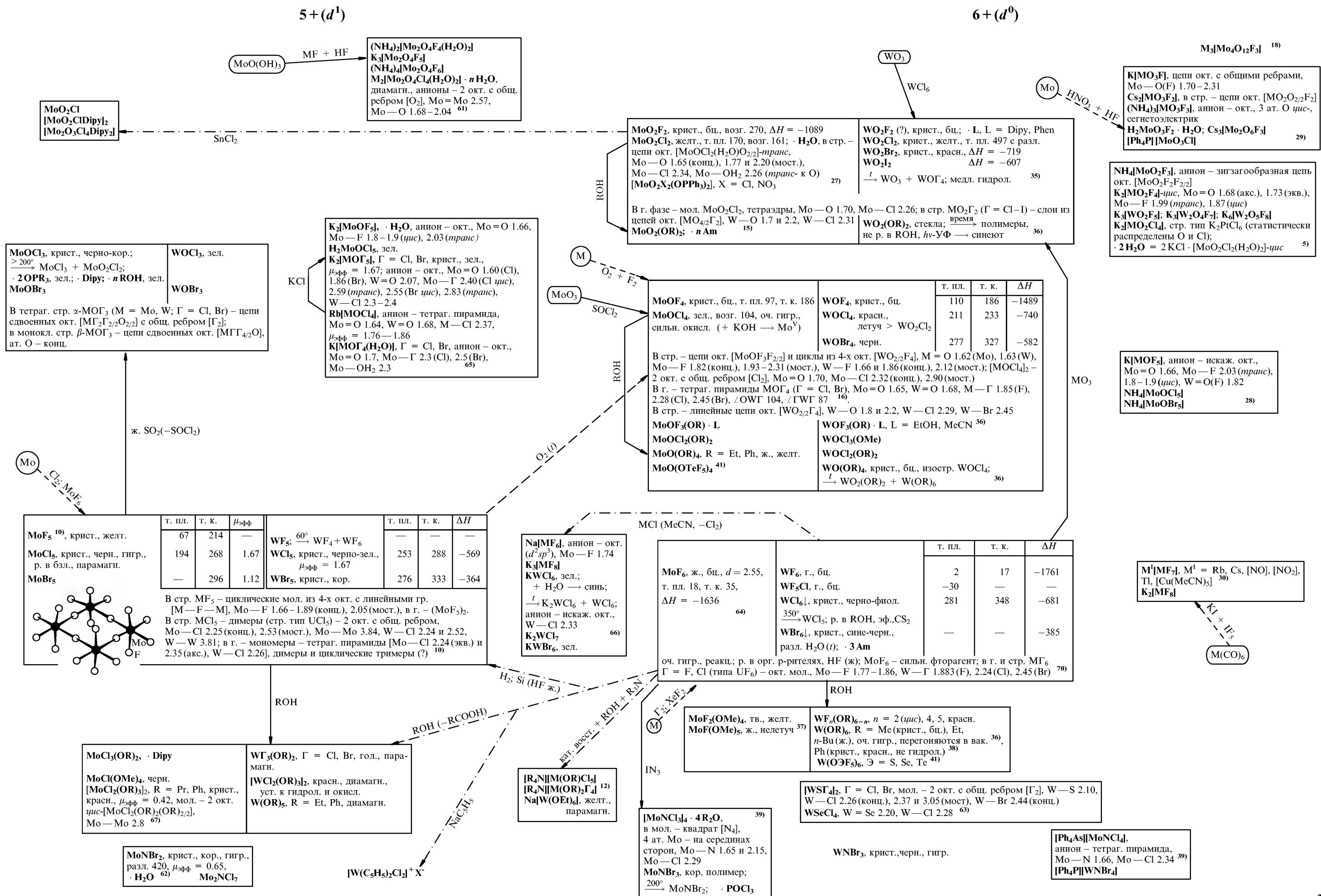
Mo⁰	$4d$ <div style="display: flex; justify-content: space-around; border: 1px solid black; width: 100px; height: 20px; margin: 0 auto;"> ↓↓↓↓↓ </div>	$5s$ <div style="display: flex; justify-content: space-around; border: 1px solid black; width: 30px; height: 20px; margin: 0 auto;"> ↓ </div>	$5p$ <div style="display: flex; justify-content: space-around; border: 1px solid black; width: 60px; height: 20px; margin: 0 auto;"> </div>	1.3
	$5d$ <div style="display: flex; justify-content: space-around; border: 1px solid black; width: 100px; height: 20px; margin: 0 auto;"> ↓↓↓↓ </div>	$6s$ <div style="display: flex; justify-content: space-around; border: 1px solid black; width: 30px; height: 20px; margin: 0 auto;"> ↓↑ </div>	$6p$ <div style="display: flex; justify-content: space-around; border: 1px solid black; width: 60px; height: 20px; margin: 0 auto;"> </div>	

W⁰	$4d$ <div style="display: flex; justify-content: space-around; border: 1px solid black; width: 100px; height: 20px; margin: 0 auto;"> ↓↓↓↓↓ </div>	$5s$ <div style="display: flex; justify-content: space-around; border: 1px solid black; width: 30px; height: 20px; margin: 0 auto;"> ↓ </div>	$5p$ <div style="display: flex; justify-content: space-around; border: 1px solid black; width: 60px; height: 20px; margin: 0 auto;"> </div>	1.4
	$5d$ <div style="display: flex; justify-content: space-around; border: 1px solid black; width: 100px; height: 20px; margin: 0 auto;"> ↓↓↓↓ </div>	$6s$ <div style="display: flex; justify-content: space-around; border: 1px solid black; width: 30px; height: 20px; margin: 0 auto;"> ↓↑ </div>	$6p$ <div style="display: flex; justify-content: space-around; border: 1px solid black; width: 60px; height: 20px; margin: 0 auto;"> </div>	

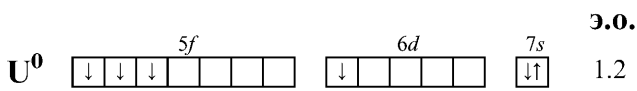
Ионы Mo и W в водном р-ре см. с. 25







УРАН



$3 + (f^3 \text{ или } f^2 d^1)$

Радиоактивный ряд U — Ra ($A = 4n + 2$)
 $^{238}_{92}U \xrightarrow{\alpha} ^{234}_{90}Th \xrightarrow{\beta^-, \gamma} ^{234}_{91}Pa \xrightarrow{\beta^-, \gamma} ^{234}_{92}U \xrightarrow{\alpha} ^{230}_{90}Th$
4.51 · 10⁹ лет 2.48 · 10⁵ лет
99.27 % в минералах 0.0056 %
Ряд Ac ($A = 4n + 3$)
 $^{235}_{92}U \xrightarrow{\alpha} ^{231}_{90}Th \xrightarrow{\alpha} ^{227}_{88}Ac \dots$
7 · 10⁸ лет
0.72 % в минералах, ядерное горючее

$4 + (f^2 \text{ или } f^1 d^1)$

U, мет., серебристо-бел., оч. тв., ковкий, желтеет на возд., затем чернеет, мелкоизмельченный — пирофорен, т. пл. 1134, т. к. ~4200, р. в к., (MOH + H₂O₂), пассивир. конц. HNO₃
 $E_0 U^{3+}/U_{тв} = -1.80$, $E_0 U^{4+}/U_{тв} = -1.17$
 α -, ромб. (искаж. гексаг. пл. упак.), $d = 19.12$, к. ч. 4 + 8
 $a = 2.85$, $b = 5.86$, $c = 4.95$
 $\downarrow 662^\circ$
 β -, тетраг., слоистая стр., $d = 18.11$, хрупок, $a = 10.59$, $c = 5.63$
 $\downarrow 772^\circ$
 γ -, куб. (тип α -Fe), стабилизируется при 20° при сплавлении с Cr или Mo, $d = 18.06$, пластичен, $a = 3.52$, $U-U 3.05$

U(Dipy)_n, $n = 3, 4$, темно-зел. иглы, окисл. на возд., в стр. [UN₈] — искаж. куб., $U-N 2.48$ ¹⁹⁾

NaU₂Cl₆, крист., бронзового цв., проводник ³⁶⁾

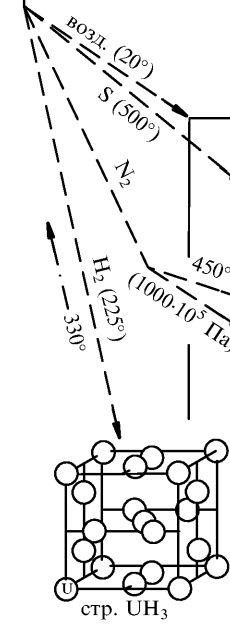
	т. пл.	т. к.	ΔH
UF ₃ , крист., фиол., стр. тип LaF ₃	1495	2300	-1444
UCl ₃ , иглы, зел. или красн., гигр.; $\xrightarrow{t} UCl_2 + UCl_4 + UCl_5$; в гексаг. стр. — искаж. пл. упак. Cl, к. ч. U 9 (триг. призма с центрированными гранями)	835	1780	-891
UBr ₃ , крист., красн., стр. тип UCl ₃	730	—	-761
UI ₃ , крист., черн., стр. тип PuBr ₃ , $U-I 3.16-3.24$ ¹⁷⁾	680	~1750	-573
· 4L, L = Thf, Py, мол — пентаг. бибир.			

MUCl₄ · 4H₂O,
M = K, NH₄
к. ч. U 9 или 8,
U—Cl 2.93,
U—O 2.55 ²⁵⁾
K₂UCl₅
K₃UCl₆, фиол.
KU₂Cl₇, кор.;
 $+H_2O \rightarrow U^{IV}$;
 $\mu_{эфф} = 3.7$ ²⁴⁾

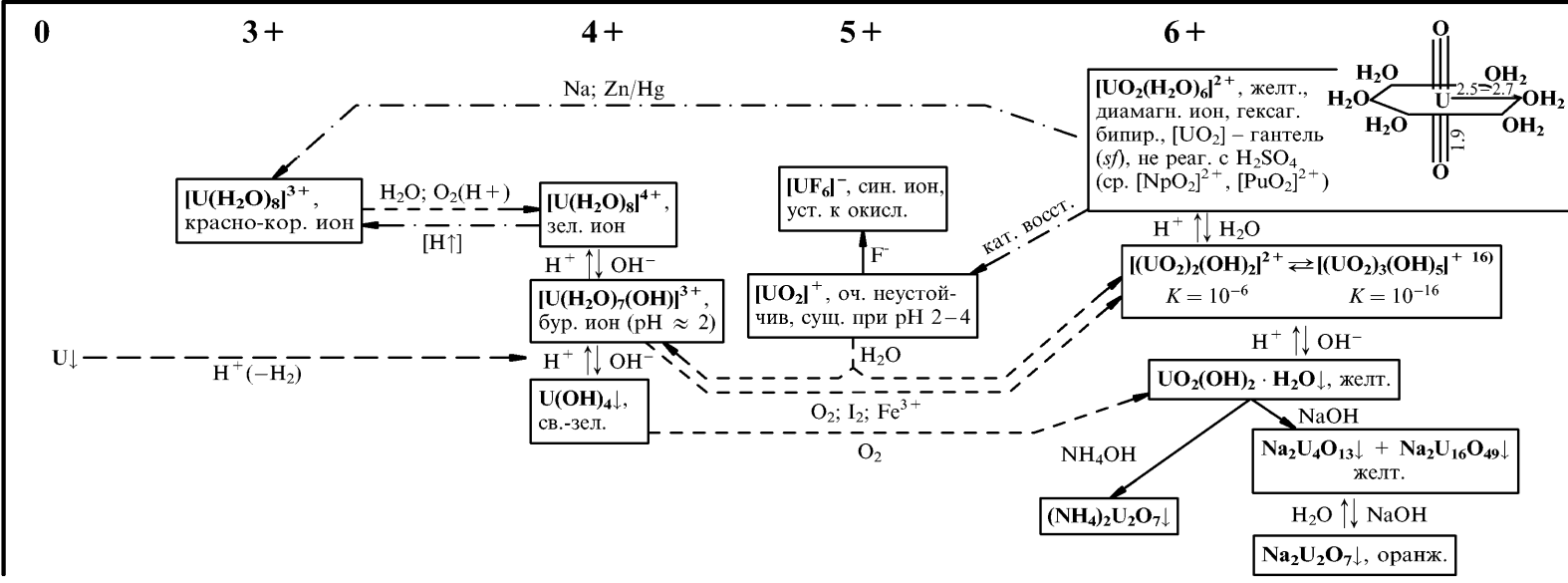
	т. пл.	т. к.	ΔH
UF ₄ ↓, крист., зел., ПР = 10 ⁻²² , стр. тип ZrF ₄ , в г. U—F 2.07; · H ₂ O	1036	1450 (возг.)	{-1897 (-1910 -1023
UCl ₄ , крист., зел., оч. гигр., р. в орг. р-рителях, в тетраг. ионной стр. — 2 пересекающихся тетраэдра [UCl ₄], к. ч. U 4 + 4, U—Cl 2.41 (конц.), 3.09 (мост.) (в г. — 2.53)	590	792	-1023
UBr ₄ , крист., кор., в стр. — цепи пентаг. бибир. [UBrBr ₆] ₂ , сочлененных экв. ребрами, U—Br 2.16 (акс.), 2.8–2.9 (экв.) (в г. — 2.66) ¹⁵⁾	519	766 с разл.	-899
UI ₄ , крист., черн., цепи окт. U—I 2.92 (конц.), 3.10 (мост.) ²⁷⁾	разл. 520	—	-527

(NH₄)₃U₃F₁₃, к. ч. U 9 (трехшапочная триг. призма), U—F 2.18–2.48
KU₂F₉
(NH₄)₄[UF₈], анион — антипризма
M₃[UF₇], крист., зел., анион — пентаг. бибир., U—F 2.26
M₂[UF₆], крист., зел., в стр. — цепи искаж. додекаэдров, U—F 2.18–2.42 (K), триг. антипризма (Na)
LiUF₅, в стр. — слои из [UF_{8/2}F], U—F 2.2–3.4
Ba₂[UCl₈]
M₂[UCl₆], анион — окт., U—Cl 2.62
M₂[UBr₆], M = Rb, Cs, стр. тип K₂PtCl₆, U—Br 2.27 ²⁾
[R₄N]₄[U(NCS)₈] ²¹⁾

4.25 + 4.5 +
U₄F₁₇, U₂F₉,
крист., черн.,
 $\Delta H = -7610$
и -3910



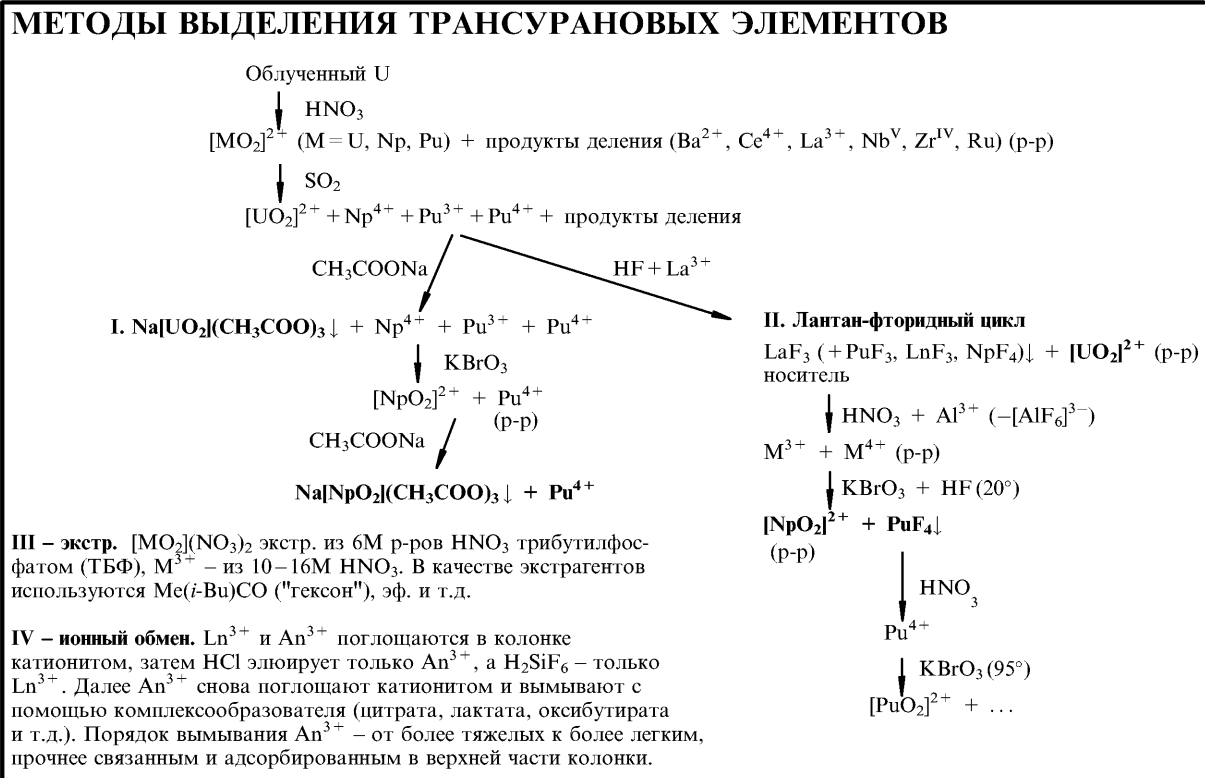
U(O₂N₂C) (раньше "UO"), оксокарбонитрид, тв. р-р, металлоподобная фаза, сущ. на поверхности U
US₂, крист., черн., т. пл. 1850, р. в к., $\gamma \xrightarrow{425^\circ} \beta \xrightarrow{1350^\circ} \alpha$
US₃, полисульфид, крист., черн., р. в конц. HNO₃
US, крист., желт., т. пл. 2460, р. в к., $\Delta H = -377$, стр. тип NaCl
USe₂ ²³⁾
UN, порошок, серый, окисляется на возд., т. пл. 2850 (р), разл. >1900, $\Delta H = -288$, не р. в к., стр. тип NaCl, U—N 2.45; **U₃N₄**; **U₂N₃**, $\Delta H = -707$
UN₂, крист., черн., стр. тип CaF₂
UP, т. пл. 2850, **U₃P₄**, **U₂P₃**, **UP₂**, черн.
UC, крист., фиол., т. пл. 2400, стр. тип NaCl, $\Delta H = -88$
UC₂, $\Delta H = -205$
UC₂, крист., красн., гидрол., т. пл. 2350, $\Delta H = -163$, стр. тип CaC₂, C=C 1.34
USi₂, т. пл. 1700; **U₃Si₂**, т. пл. 1665
UH_{3-x}, крист., черн., хрупкие, разл. 330, $\Delta H = -125$, проводник, воспл. на возд., разл. к.; $+H_2O \xrightarrow{350^\circ} UO_2 + H_2$;
 β -, куб., $d = 10.9$, в стр. — тетраэдры [UH₄] и икосаэдры [UH₁₂],
U—H 2.32, U—U 3.3 $\downarrow < -100^\circ$
 α -, куб., ферромагн., $d = 11.11$



*) или $5f^5 7s^2$				
Синтез трансурановых элементов ³⁰⁾				
Открытие	Получение важнейших изотопов	Наиболее долгожи- вущий	Открытие	Наиболее долгожи- вущий

[illegible]

0 1+ 2+ 3+ 4+ 5+ 6+ 7+



3–

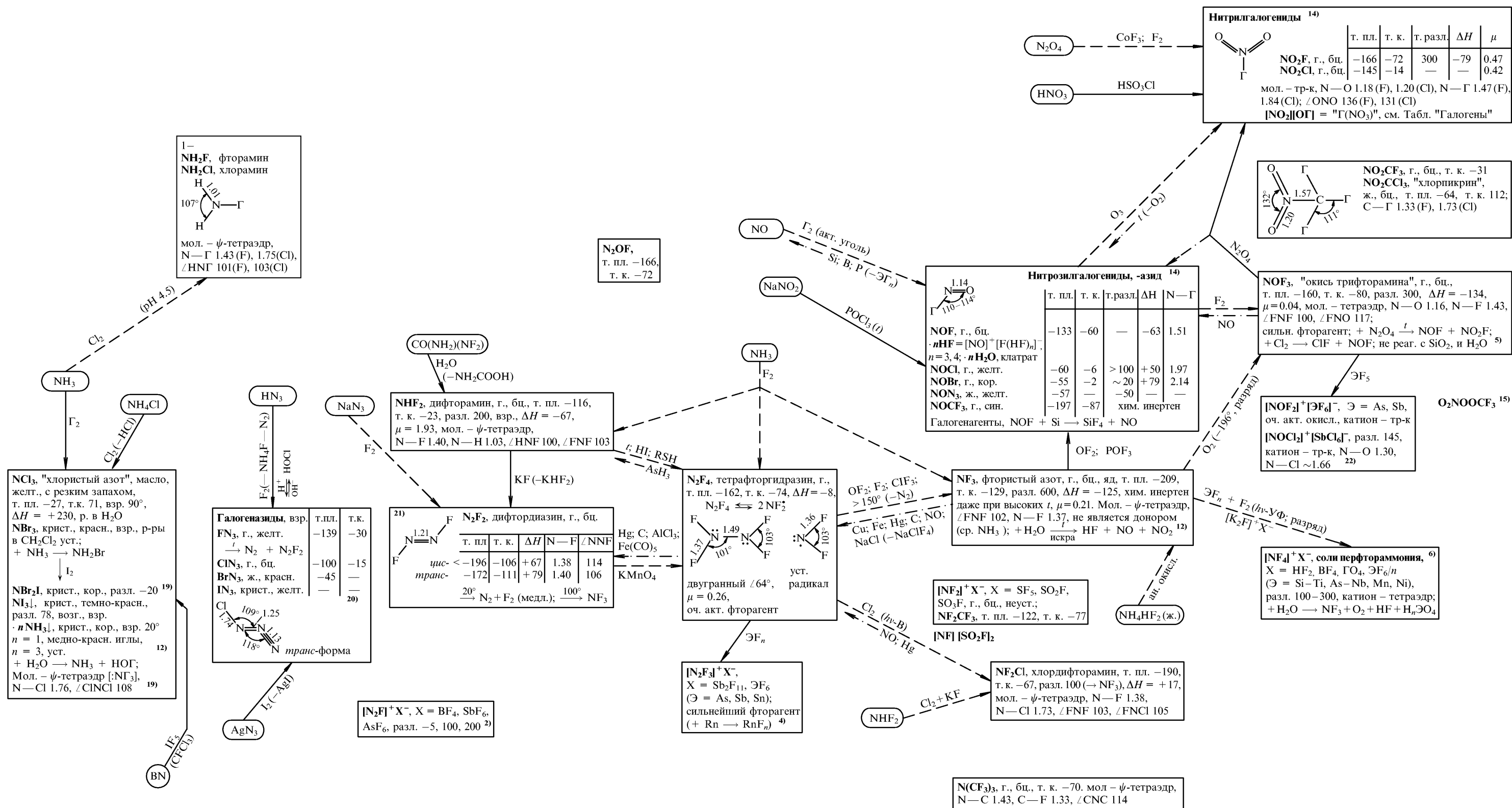
1/3–

1+

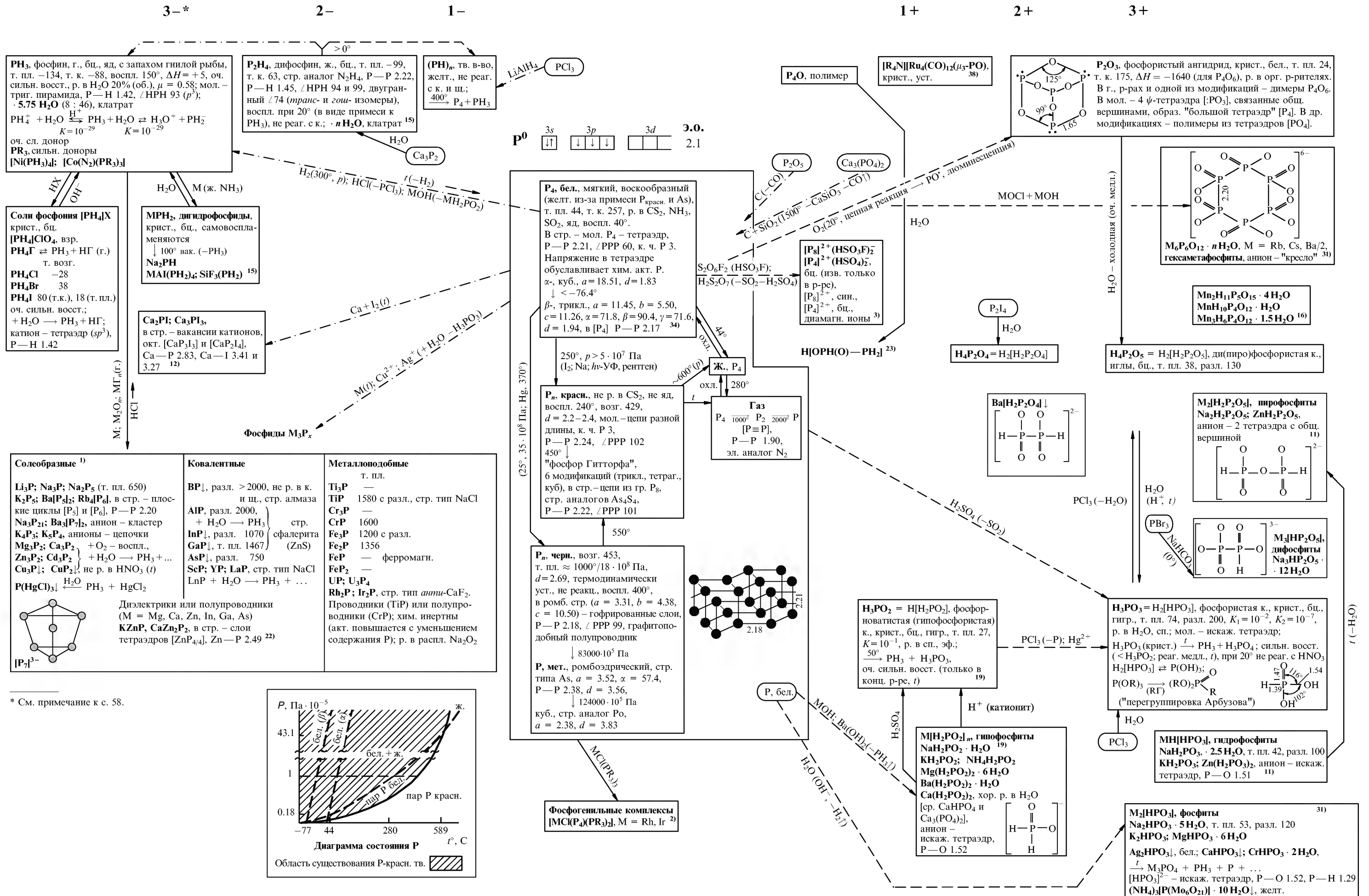
2+

3+

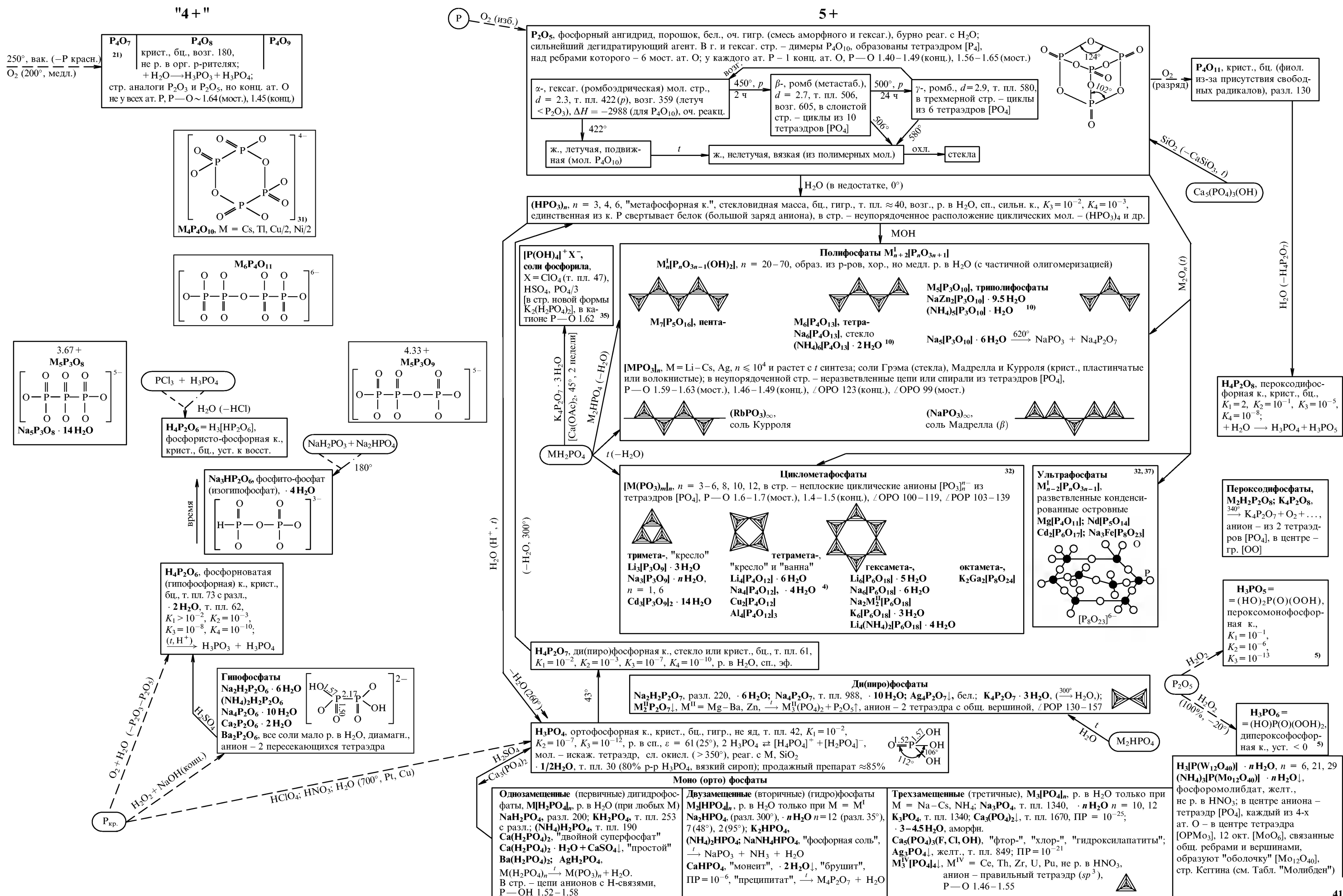
5+



ФОСФОР



* См. примечание к с. 58.





СЕРНИСТЫЕ ПРОИЗВОДНЫЕ ФОСФОРА 29)

Полисульфиды
(PS)_n; (P₂S₁₁)_n; (P₂S₁₄)_n,
желт. в-ва, не р. в H₂O и
орг. р-рителях, р. в щ.,
разл. 200

SCl₂ + S₈Cl₂

Р_{красн.}

Сульфиды 17)
крист., желт., летучие, р. в CS₂, бзл., нафталине (распл.), воспл. на возд. (t),
гигр. (кроме P₄S₃)

P ₄ S ₂	P ₄ S ₃	P ₄ S ₄ (PS) _n	P ₄ S ₅	P ₄ S _n n=5.5–6.7	P ₄ S ₇	P ₄ S ₉	P ₄ S ₁₀ (2 формы)
т. пл. 46	174	—	162	232	308	250	288
т. к. —	408	—	с разл.	с разл.	523	с разл.	514
	наиболее уст.						

В мол. всех P₄S_n – тетраэдр [P₄], P—P 2.2, S(мост.) – на ребрах тетраэдра,
при n > 6 S – конц., P—S 2.1 (мост.), 1.9 (конц.); P₄S₆ и P₄S₁₀ – стр. аналоги
P₄O₆ и P₄O₁₀

P₄Se₃, крист., оранжев. т. пл. 247 33)

Тиоалогениды 20)
5+
PSF₃, г., бц., воспл.
PSCI₃, ж.
PSBr₃, крист.
PSFCIBr
PSI₃, крист.

т. пл.	т. к.	μ
–149	–52	0.63
–36	125	1.41
37	206	—
—	98	—
47	—	—

В тетрамерных мол. – тетраэдр [P₄], P—P 2.20,
P—S 1.86–2.19, P—Г 2.19 (Br), 2.48 (I), в г. –
мономеры PSG₃ – искаж. тетраэдры
P₄S₃I₂, крист., оранжев., т. пл. 121, 3 ат. S-мост.
вдоль ребер, 2 ат. I-конц.,
PS(NCS)₃, ж.

Тиофосфаты 23)
3+ 4+ 5+
M₃[PS₃] [R₄N]₂[H₂P₂S₆] Zn₄[P₂S₆]₃ = Z n₄ [P₂^{IV} S₆]
M₄[P₄S₈] M₂^{IV} [P₂S₆] M = Cd, Hg, Sn, Fe,
уст. к гидрол., в анионе – квадрат [P₄] анион – 2 пересек. тетраэдра
H₃[PS₄] M₃[PS₄],
+ H₂O → H₂S + M₃[PS_nO_{4–n}],
n = 0–3, анион – тетраэдр
Ag₇[PS₆] Ag₄[P₂S₇], анион изостр. [P₂O₇]^{4–}

Во всех анионах P—S 1.99–2.12, P—P 2.28

Оксосульфиды
3.5+ 4+ 5+
P₄O₄S₃; P₄O₇S³⁶⁾; P₄O₄S₆
P₄O₆S₄,
т. пл. 102, т. к. 295
P₄O₇S₃

Оксотиофосфорные к. и оксотиофосфаты

S_nΓ₂ (эф., –20°)

H₃[PO₃S], K₂=10^{–6}, K₃=10^{–11}
Na₃[PO_nS_{4–n}]·xH₂O, n=1, 2, 3
M₃[P₃O₃S₆], M = Na, Tl,
в анионе – цикл [P₃O₃]

↑ I₂(HCl)
H₄P₂S₂O₆,
дитионадфосфорная,
сильн. к., суш. в р-ре;
+ OH[–] → S^{2–} + S + PO₄^{3–},
стр. аналог H₄P₂O₈

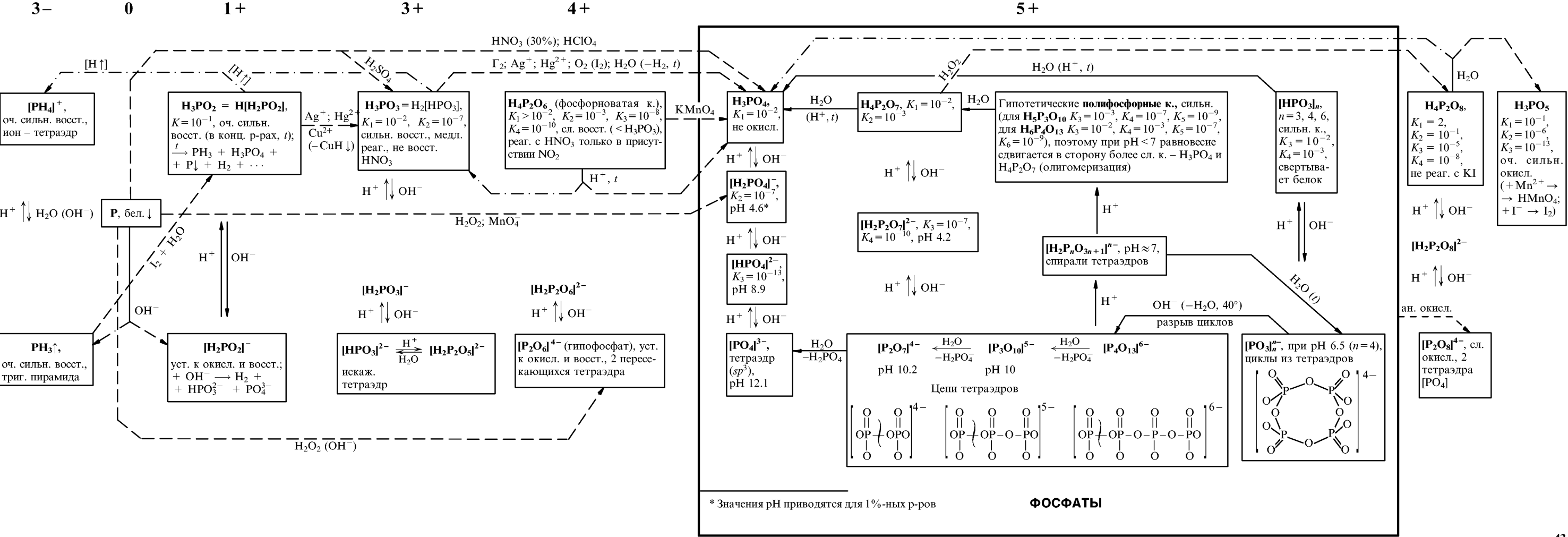
↑ HClO₄
K₂H₂P₂S₂O₆↓

Na₂HPO₄ → NaHSO₄ → HOSO₂OPO(OH)₂,
пироксернофосфорная к.,
+ H₂O → H₂SO₄ + H₃PO₄
Na₃[PSO₇]
Ba₃[PSO₇]₂, хор. р., уст.

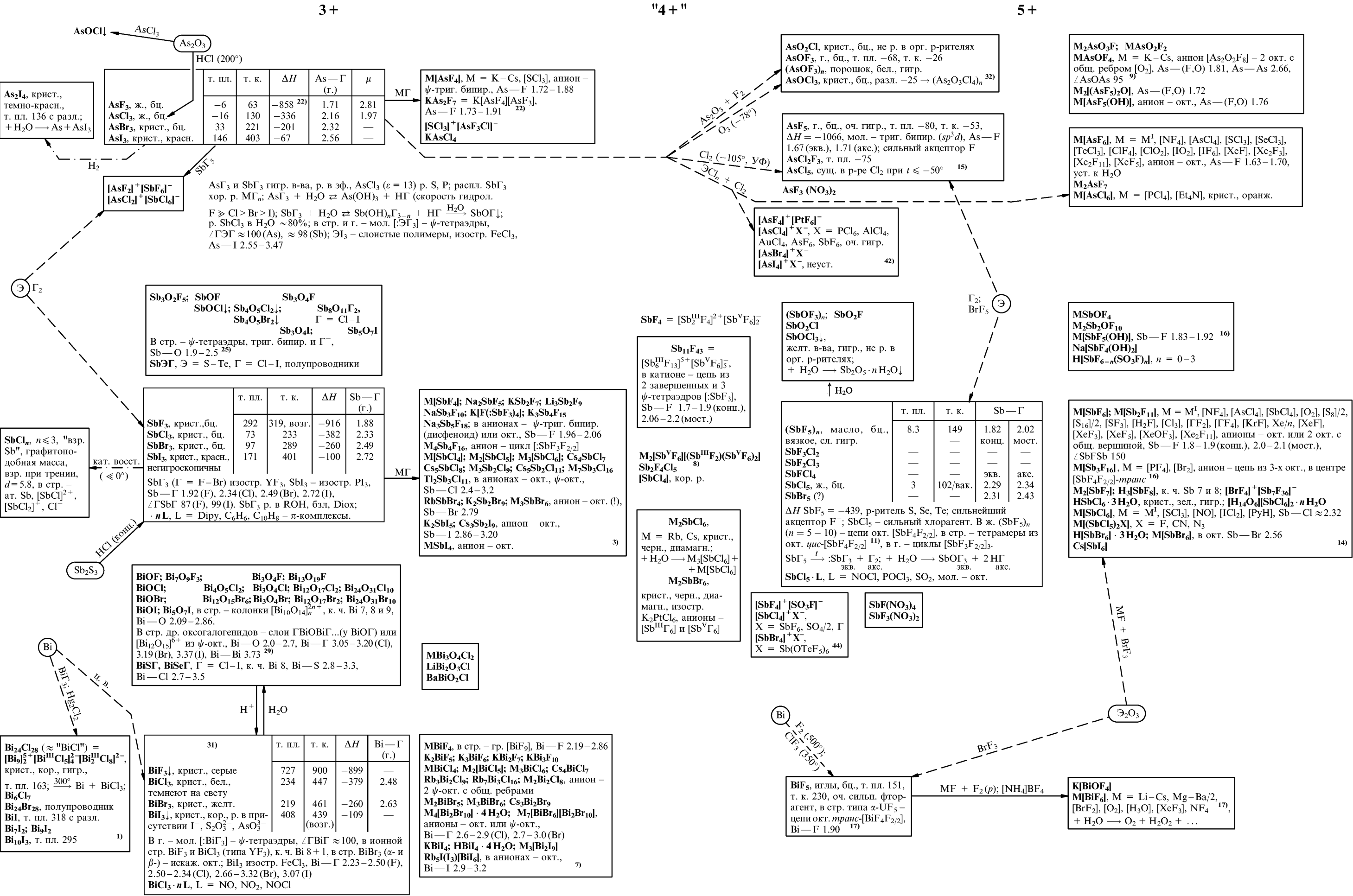
PS(NH₂)₃, крист., бц.,
медл. гидрол.

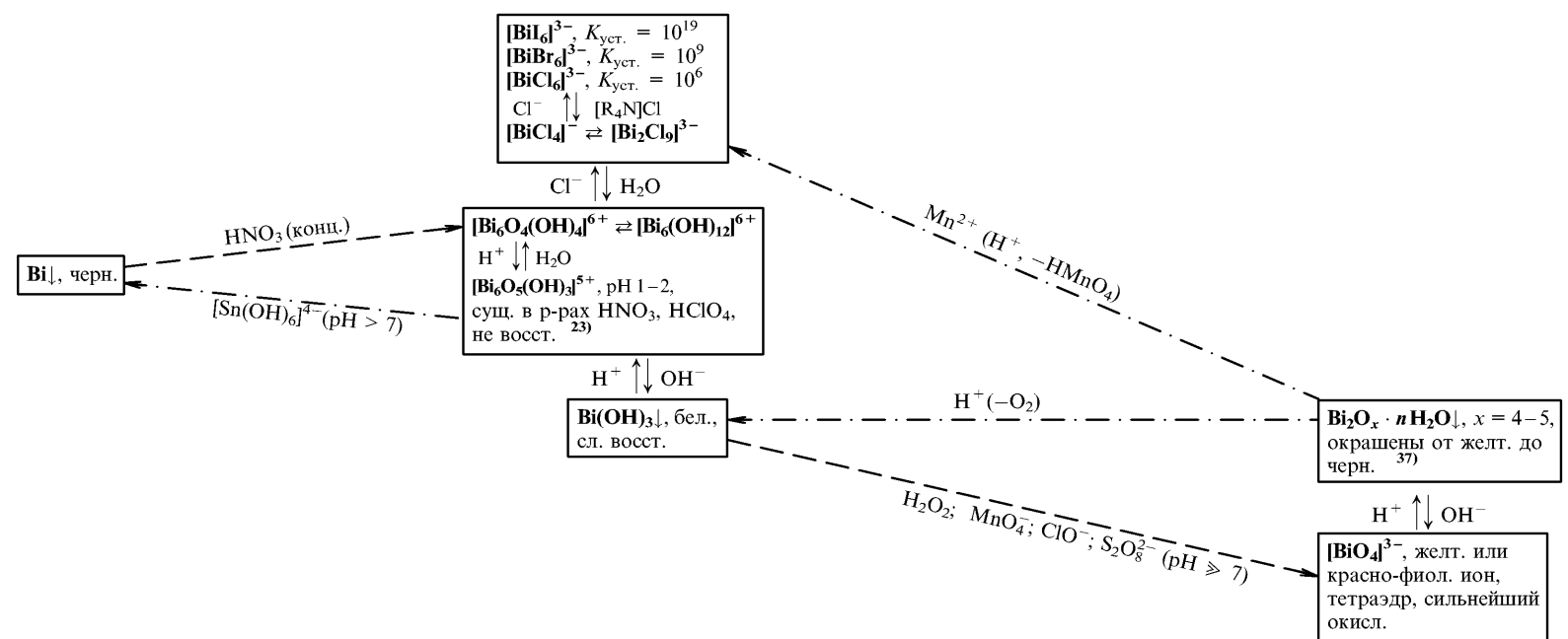
(SPN)_n

ИОНЫ ФОСФОРА В ВОДНОМ РАСТВОРЕ



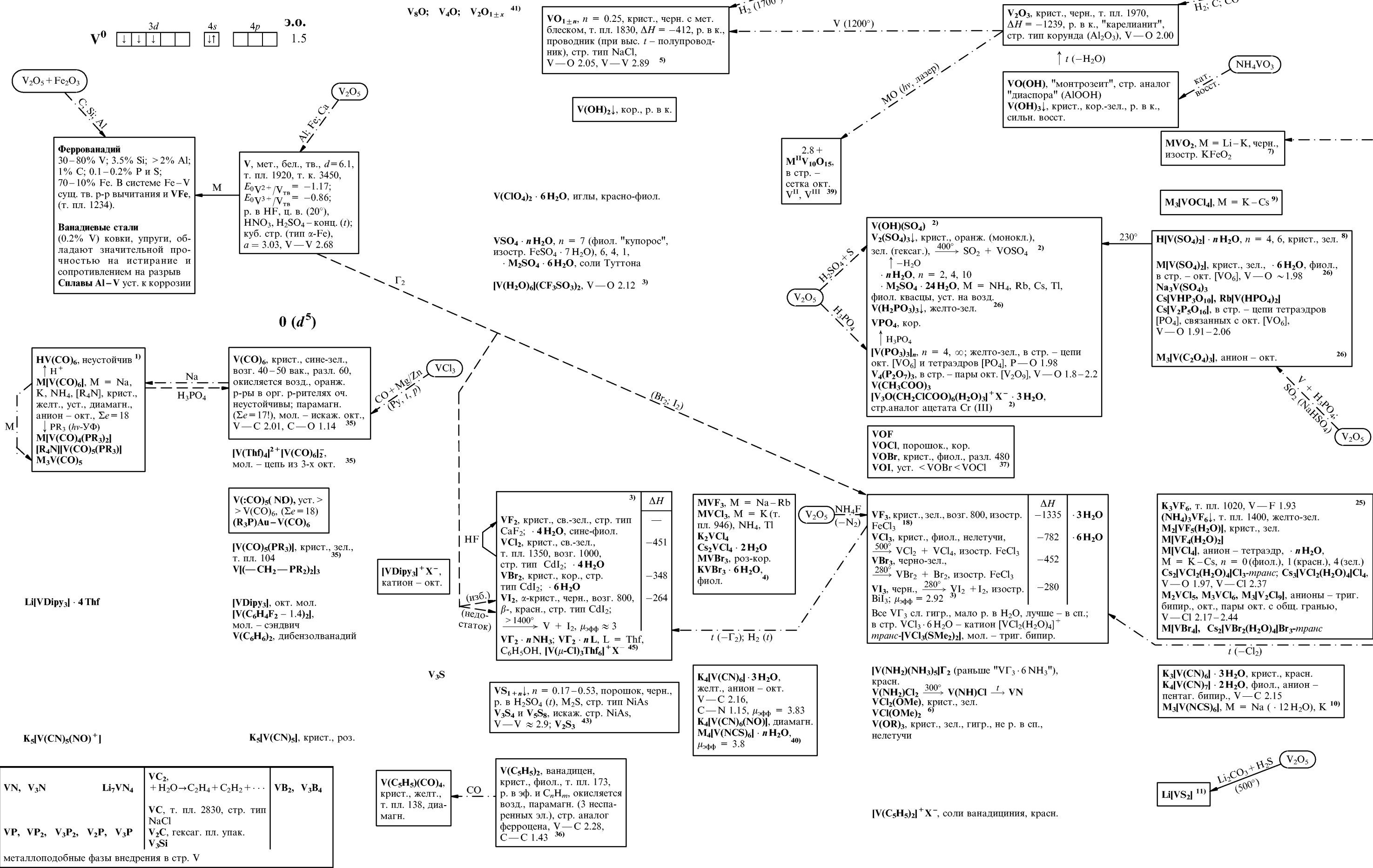
ГАЛОГЕНИДЫ И ОКСОГАЛОГЕНИДЫ МЫШЬЯКА, СУРЬМЫ И ВИСМУТА

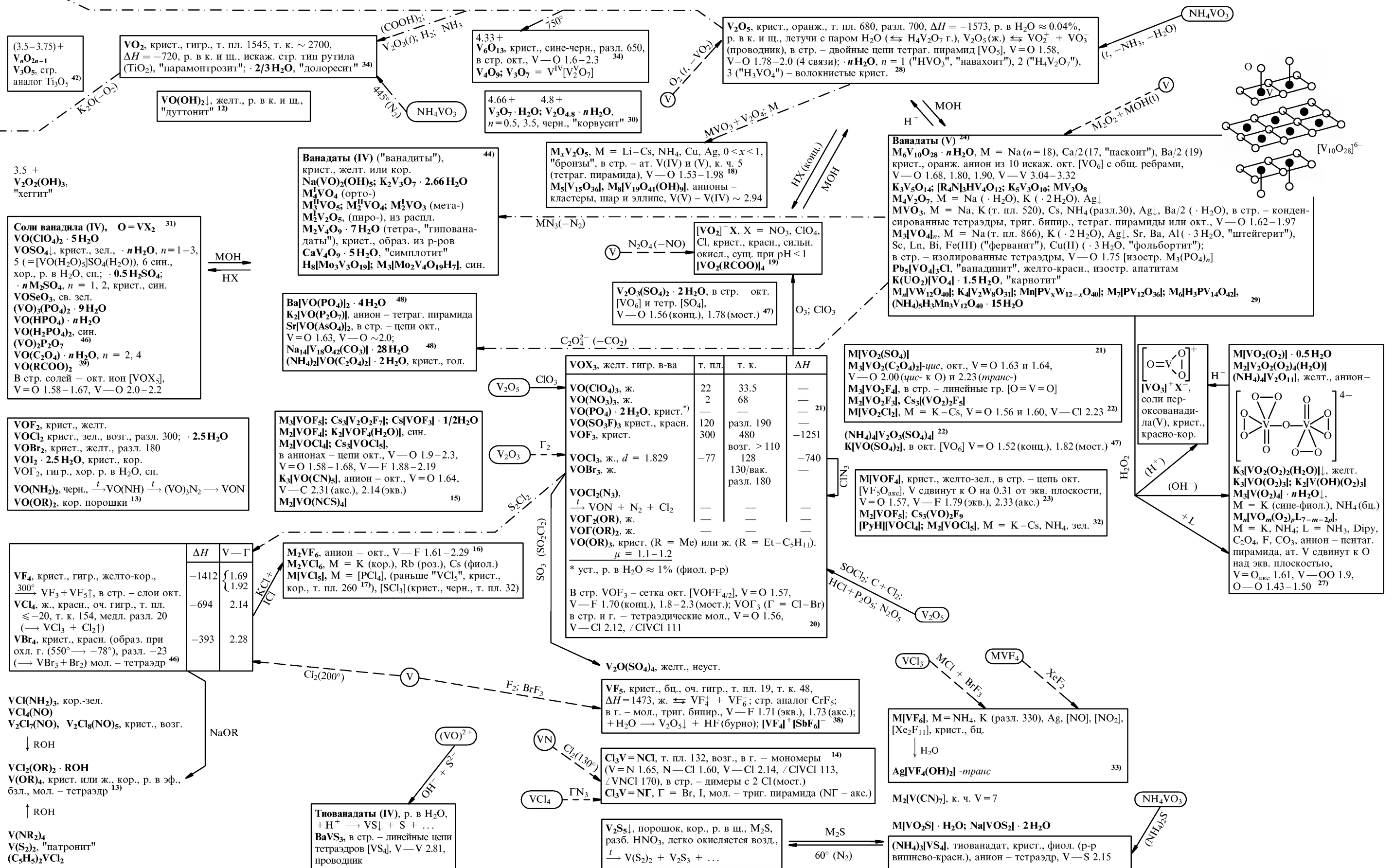




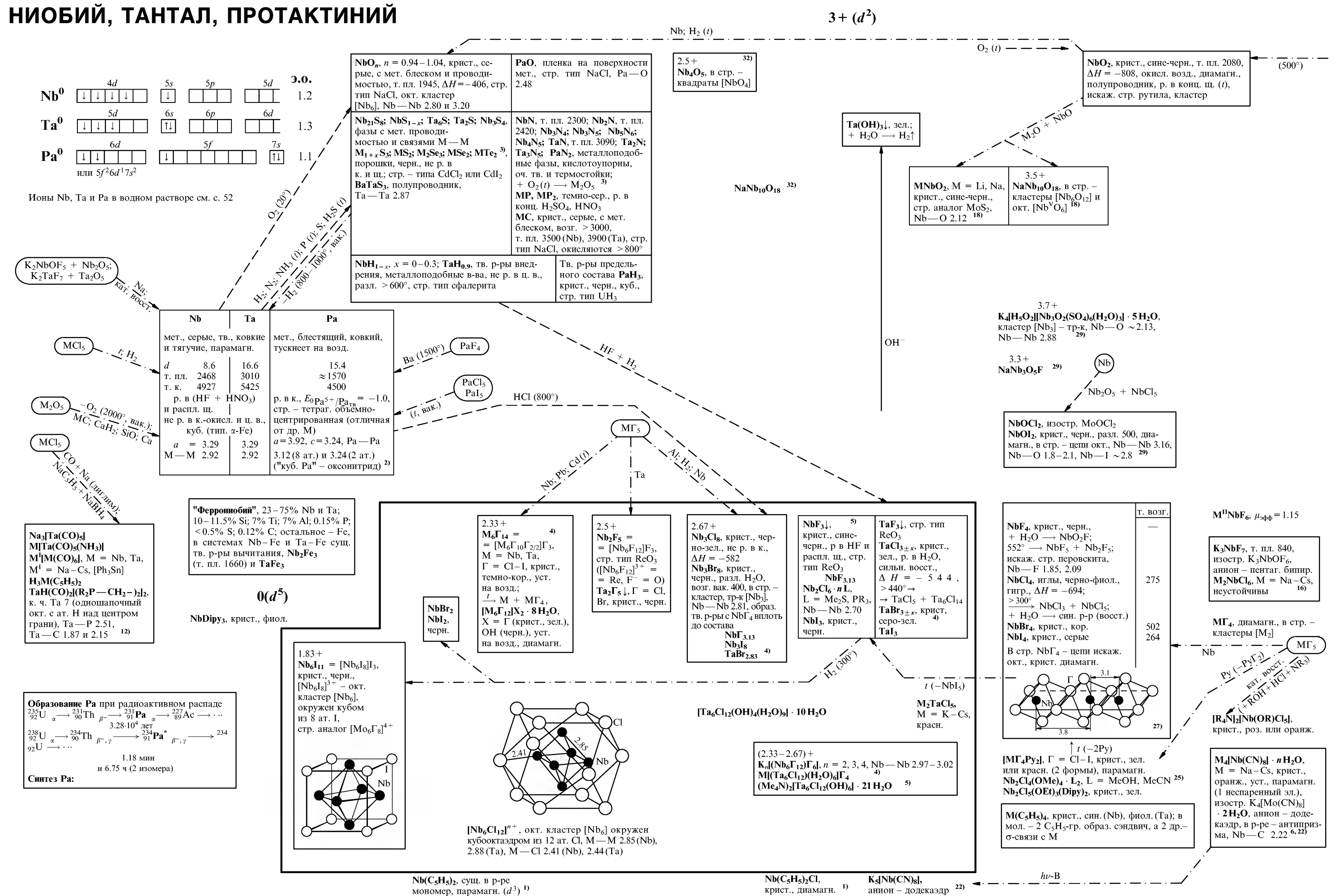
ВАНАДИЙ

Ионы V в водном растворе см. с. 52

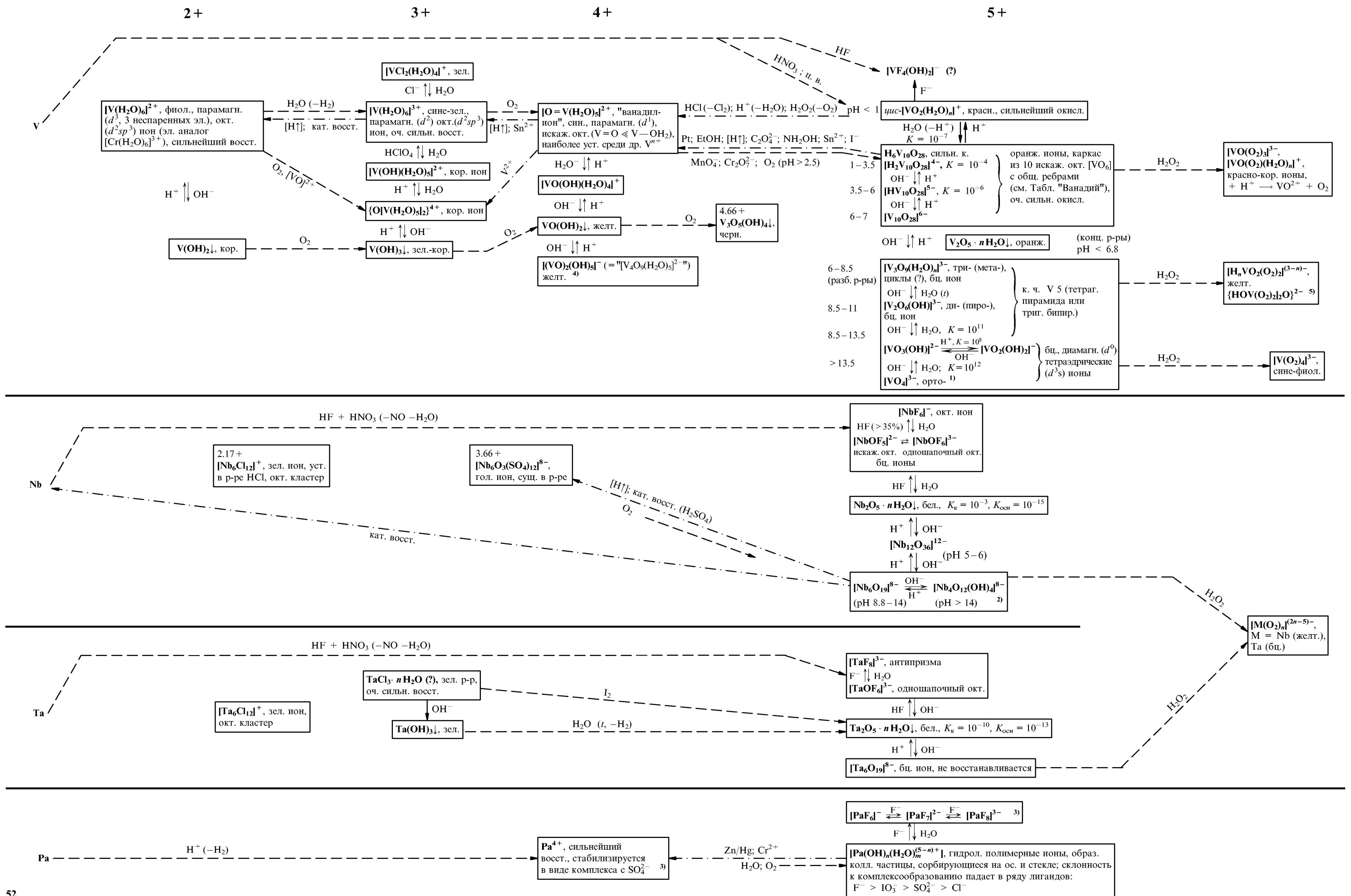


4 + (d¹)5 + (d⁰)

50



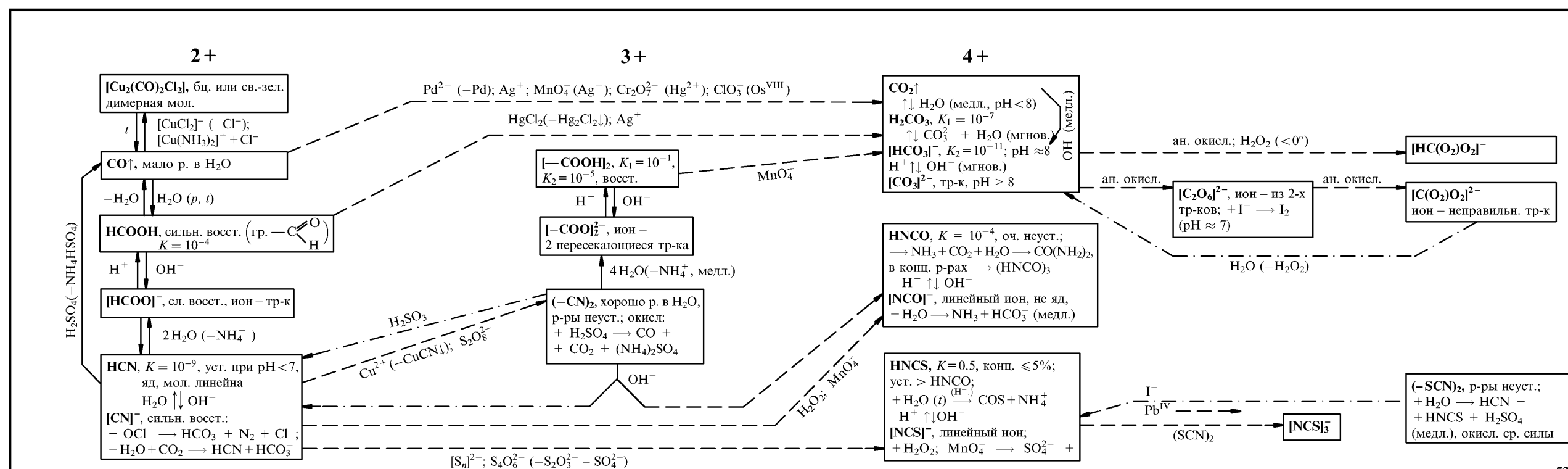
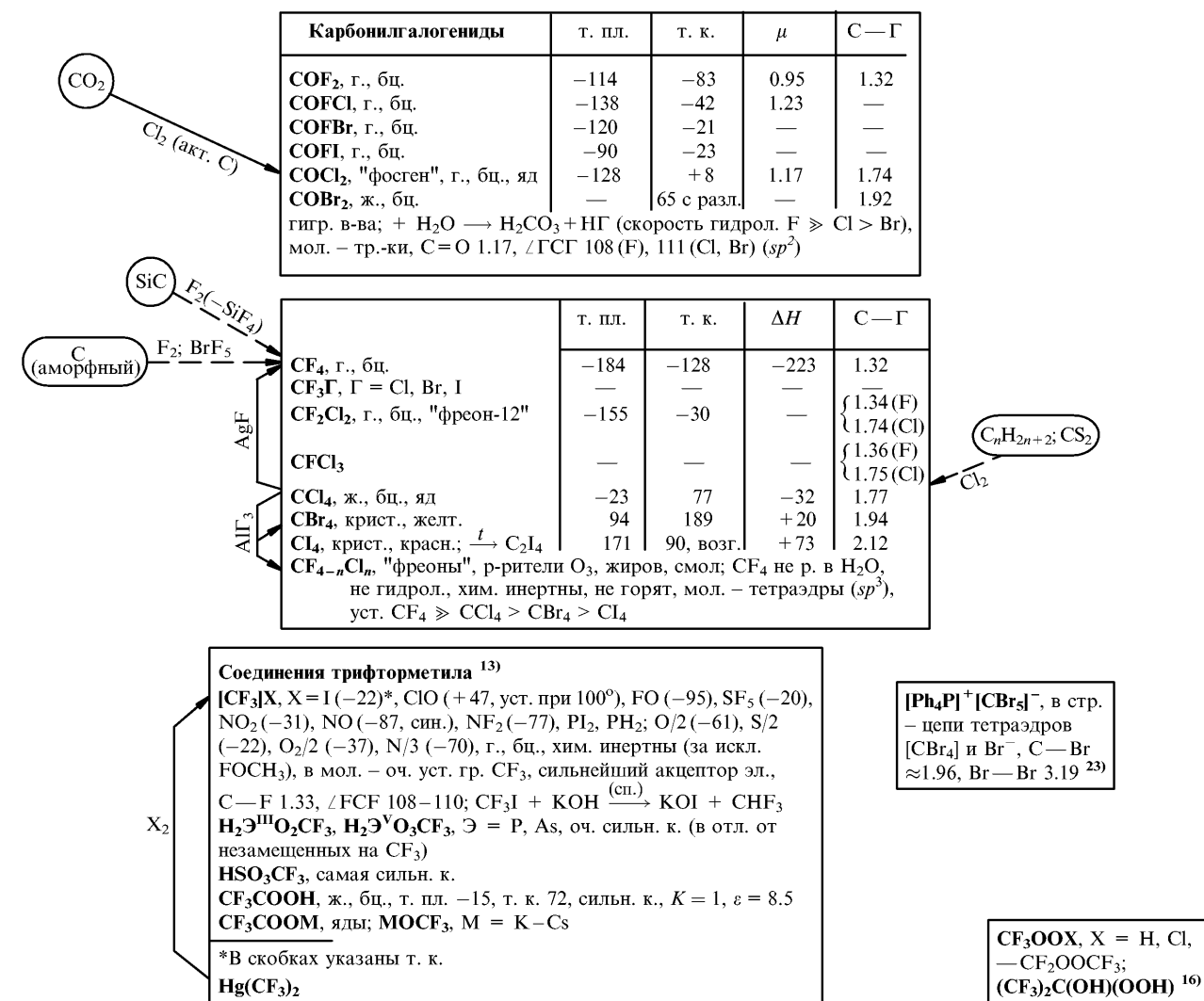
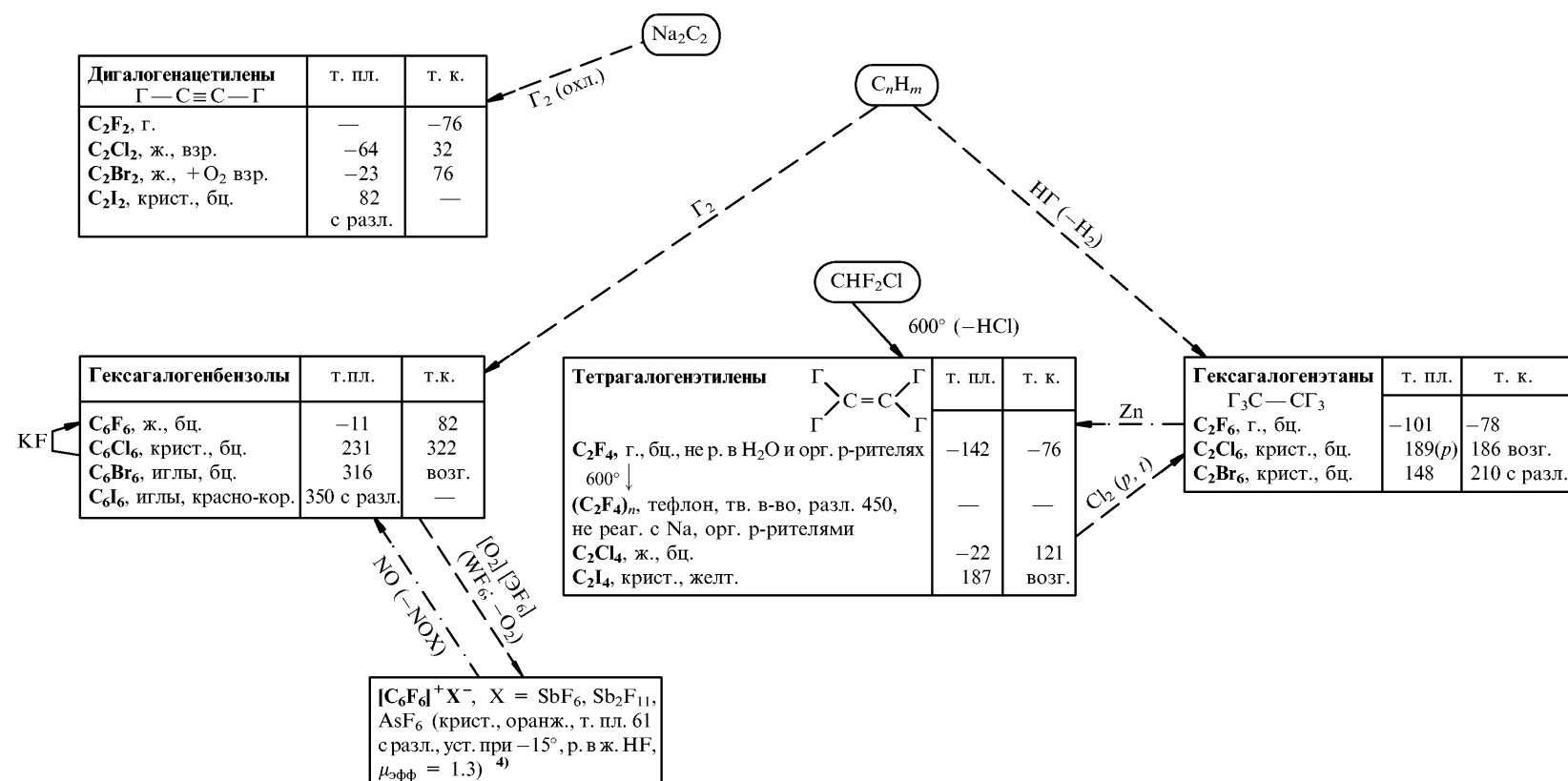




1 +

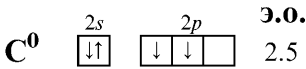
2/n +

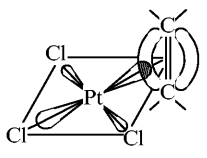
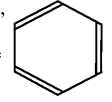
4 +

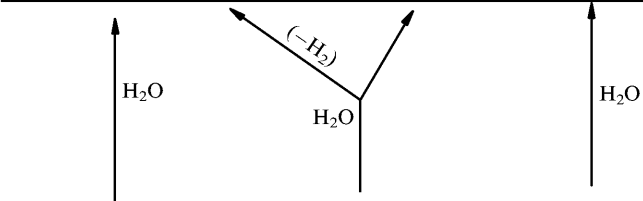


УГЛЕРОД

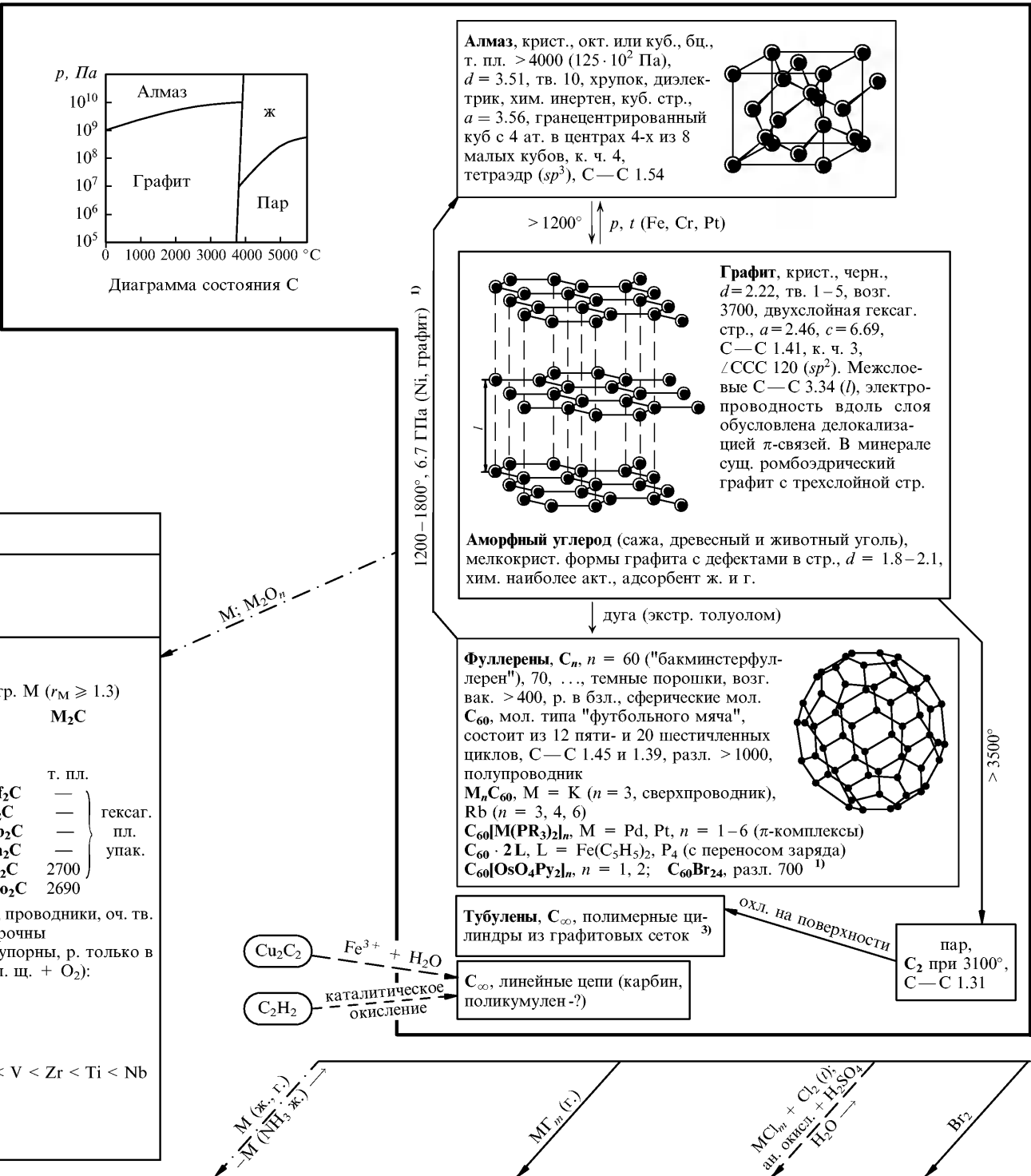
(2 + 2/n) – 2 – 1 –



Углеводороды (гомологические ряды)			
C _n H _{2n+2} алканы, C—C 1.54	C _n H _{2n} алкены, C—C 1.35	C _n H _{2n-2} алкины, C—C 1.21	C _n H _{2n-6} ароматические соединения, C—C 1.40
CH ₄ , метан, г., бц., т. пл. –184, т. к. –161, ΔH = –75 C ₂ H ₆ , этан, г., бц., т. пл. –183, т. к. –89, ΔH = 84.8, хим. инертны, мол. – тетраэдр и 2 тетраэдра с общ. вершиной (sp ³), C—H 1.09, C—C 1.54	CH ₂ =CH ₂ , этилен, г., т. пл. –169, т. к. –104, ΔH = +55, ∠HCC = ∠HCH = 120 (sp ²), C—H 1.09, C—C 1.40–1.47  π-комплексы Кратные связи – доноры π-эл.; дативные связи образ. за счет оттягивания эл. с заполненных d-орбиталей М на π*-орбитали L; М = Ag, Hg (II), Co, Pt, Pd (II) и т. д.	CH≡CH, ацетилен, г., т. пл. –81.8 (р), т. возг. –83.6, ΔH = +227, тв. и ж. взр., ∠HCC = 180 (sp), C—H 1.06, C—C 1.32	C ₆ H ₆ , бензол, ж., т. пл. 5.5, т. к. 80, ΔH = +49, ∠CCC = ∠HCC =  = 120 (sp ²), C—H 1.08, C—C 1.35–1.43
	K[PtCl ₃ (C ₂ H ₄)]	Co ₂ (CO) ₈ (RC≡CR) [Pt(PR ₃) ₂ (PhC≡)] ₂	Cr(C ₆ H ₆) ₂ , AgClO ₄ · C ₆ H ₆



Карбиды					
Солеобразные (стехиометрического состава)			Ковалентные	Металлоподобные (нестехиометрического состава)	
Метаниды и производные этана	Производные этилена и аллена	Ацетилены			
т. пл.	т. пл.	т. пл.		т. пл. с разл.	т. пл.
Be ₂ C 2150 Al ₄ C ₃ > 2800 крист., бел., в стр. – изолированные анио- ны [C] ^{4–} (Be ₂ C – стр. тип анти-СаF ₂); + H ₂ O \xrightarrow{t} CH ₄ ↑	ThC ₂ 2655, желт. VC ₂ — UC ₂ 2350 + H ₂ O → C ₂ H ₄ + H ₂ + + CH ₄ + C _n H _m , в искаж. стр. CaC ₂ – ионы [C=C] ^{4–} , C—C 1.34 (ср. C ₂ H ₄ !)	NaHC ₂ — Na ₂ C ₂ — стр. NaCl BeC ₂ — MgC ₂ — } стр. CaC ₂ 2300 } тип BaC ₂ > 1780 } CaC ₂ ZnC ₂ — MC ₃ = M ₂ [C ₂] ₃ , M = - Al, Ce, крист., бц., + H ₂ O → C ₂ H ₂ + ... M ₂ C ₂ ↓, M = Cu–Au, стр. тип NaCl HgC ₂ ↓, образ. из р-ра в H ₂ O; взр. в сухом состоянии. В стр. аце- тилидов (тип CsCl) – ионы [C≡C] ^{2–} , C—C 1.19–1.24 (ср. C ₂ H ₂ !)	SiC, "карборунд", крист., бц. (темн. из-за примесей), разл. > 2200, стр. близка алмазу B ₄ C = B ₁₂ [C ₃], крист., черн., т. пл. 2450, т. к. > 3500, в стр. типа NaCl–икоса- эдры [B ₁₂] и линейные гр. [C ₃], оч. тв., хим. инертны, жаростойки. Тв. сплавов в системе B–C–S > тв. SiC и V ₄ C	Cr ₃ C ₂ 1900 Cr ₇ C ₃ 1680 Mn ₇ C ₃ — Cr ₂₃ C ₆ (≈ "Cr ₄ C") 1520 Mn ₂₃ C ₆ — CrC — оч. тв., кислотоупор- ны, уст. к окисл. < 1000°	Fe ₃ C, "цементит" 1650 Mn ₃ C 1520 Co ₃ C } метастаб. — Ni ₃ C } фазы — крист., сер. или черн. (Fe, Cr) ₃ C, (Fe, Mo) ₃ C, оч. тв., придают тв. сталлям; + H ⁺ → H ₂ + + CH ₄ + C _n H _m
Pu ₂ C ₃ , в стр. – гр. [C ₂], C—C 1.54 (ср. C ₂ H ₆ !)	Mg ₂ C ₃ (← Mg + C ₃ H ₁₂); + H ₂ O → CH ₃ –C≡C– H+ (аллилен) + CH ₂ =C=CH ₂ (аллен) В стр. – анионы [C=C=C] ^{4–} LnC ₂ , желт., т. пл. ≈ 2300; + H ₂ O → C ₂ H ₂ + + H ₂ + ...; стр. тип CaC ₂ , C—C 1.28, проводники M ₂ C ₃ = M ₄ [C ₂] ₃ , M = Ln, U; + H ₂ O → C ₂ H ₂ (50–70%) + C ₂ H ₄ + CH ₄ + H ₂ ; C—C 1.24–1.32	Средство к С (среди легирующих элементов) возрастает в ряду: Fe < Mn < Cr < W < Mo < Ta < V < Zr < Ti < Nb			

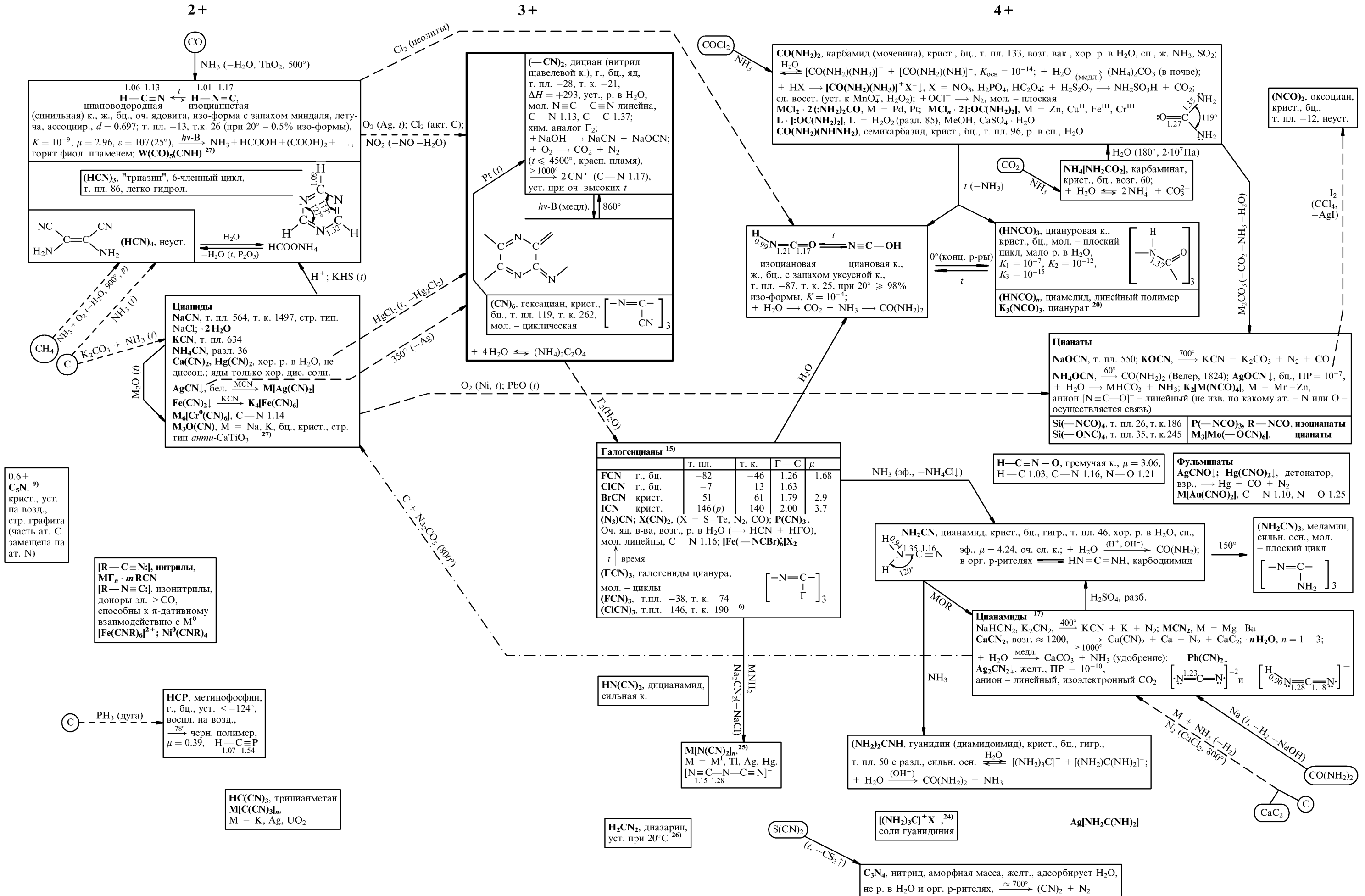


Соединения графита (l – расстояние между слоями)			
"Графитиды" металлов, MC _n , n ≤ 60 ¹⁴⁾	Соединения включения ²⁾	Графитовые соли ²⁾	
LiC ₆ , BaC ₆ ¹⁴⁾ M _{1–x} C ₈ , M = K–Cs, крист., медно- красн., воспл. на возд., проводимость > графита; + H ₂ O → H ₂ + MOH + + графит. В однослойной стр. графита l = 3.7 (Li), 5.4 (K), 5.6 (Rb), 5.9 (Cs), ат. М не на середине l; к. ч. М 12 (гексаг. призма) MC ₁₆ , M = K–Cs; K ₆ C ₆₀ , диэлектрики ¹⁾ M ⁰ C _n , M = Mo, W, Mn–Ni, l = 5.6–5.9	C _n · L, L = AlF ₃ , SbF ₅ , AsF ₅ , GaBr ₃ , FeCl ₃ , LnCl ₃ , CrCl ₃ , FeS ₂ , MoO ₃ , XeF ₆ , XeF ₄ , KrF ₂ C ₂₁ CrCl ₃ , l = 12.80 C _{22–29} CrCl ₃ , l = 16.57 C _{6,3} (Au ₂ Cl ₆), l = 6.80 C ₃₃ AlBr ₃ , l = 20.10 C _{8,5} IF ₅ ; C ₃₈ UBr ₅ ; C ₁₃ UF ₆ проводимость > графита	C _n ⁺ Γ [–] · MC _m , Γ = Cl, Br, M = Be, Al, Ga, Fe, Hg, Pt, Au, W, U; l = 9–13 ²⁾ C _n ⁺ X [–] , X = NO ₃ , ClO ₄ , HF ₂ , SO ₃ F, AsF ₆ , крист., син., l ≈ 8 ↑ HX C ₂₄ [HSO ₄] ₄ · 2H ₂ SO ₄ , крист., гол., l ≈ 8	C ₈ ⁺ Br [–] , в стр. гра- фита (l = 7.05) – анионы [Br ₂] [–] , Br—Br 2.1–2.2, проводимость > графита

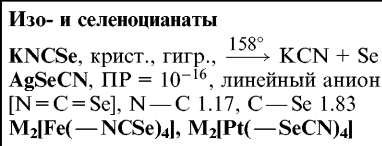
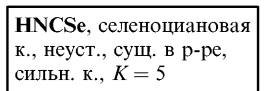
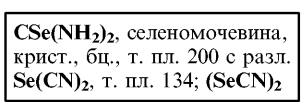
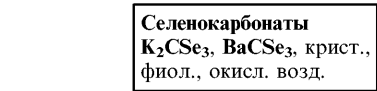
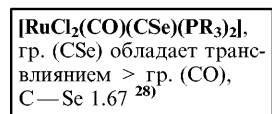
LiAlH₄; Na (ж. NH₃)

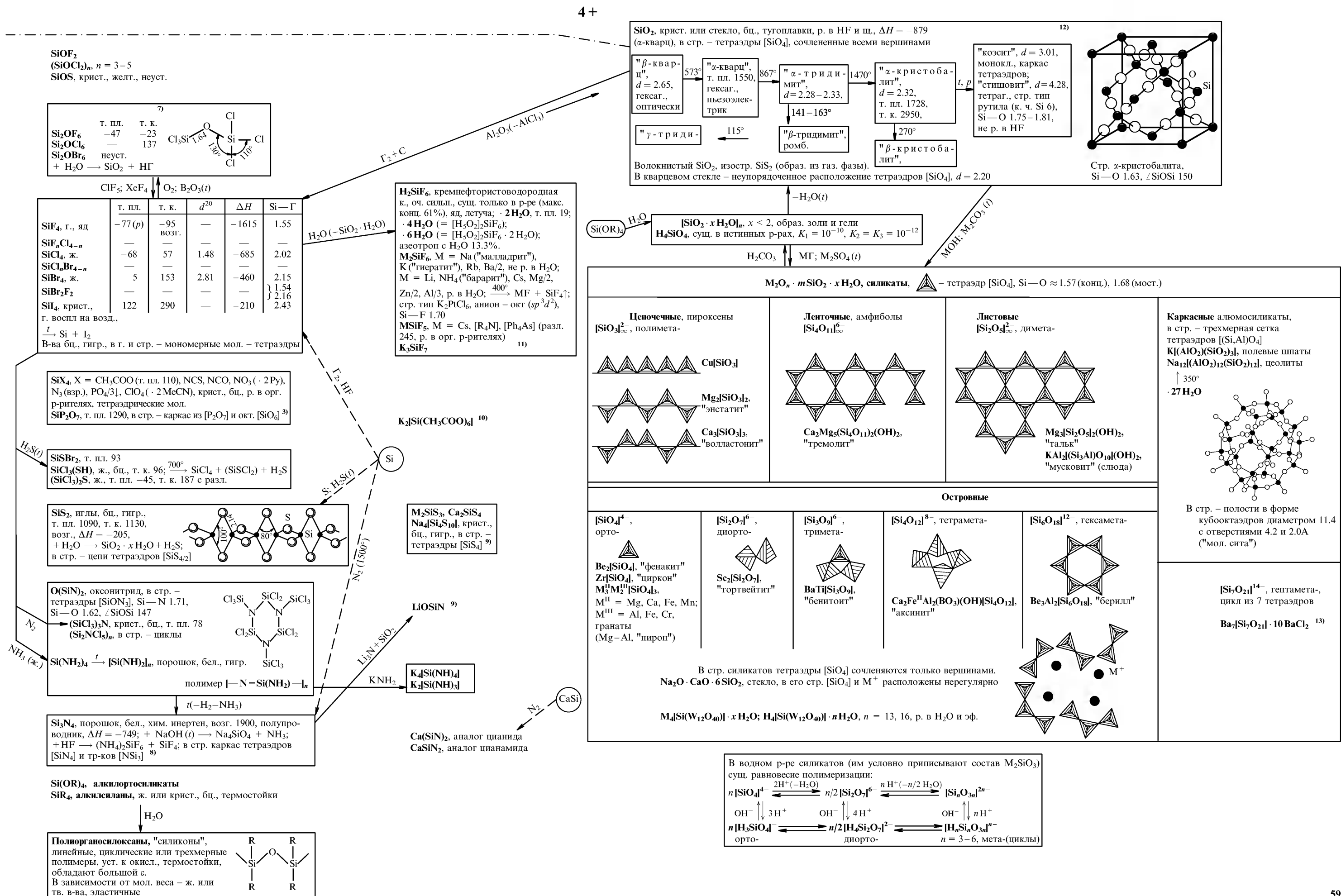


АЗОТНЫЕ И ФОСФОРНЫЕ ПРОИЗВОДНЫЕ УГЛЕРОДА



4+

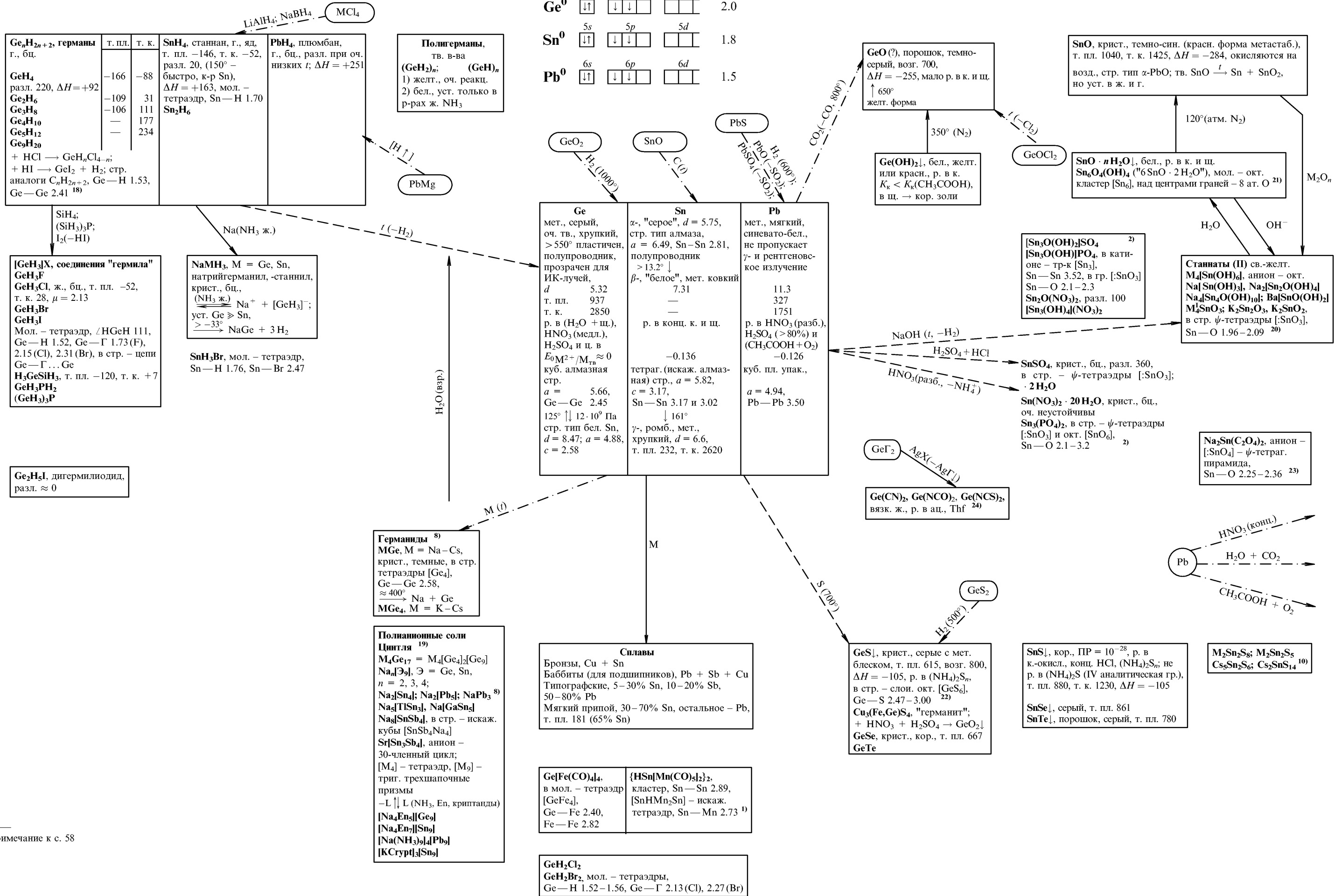




ГЕРМАНИЙ, ОЛОВО, СВИНЕЦ

4- *

2+

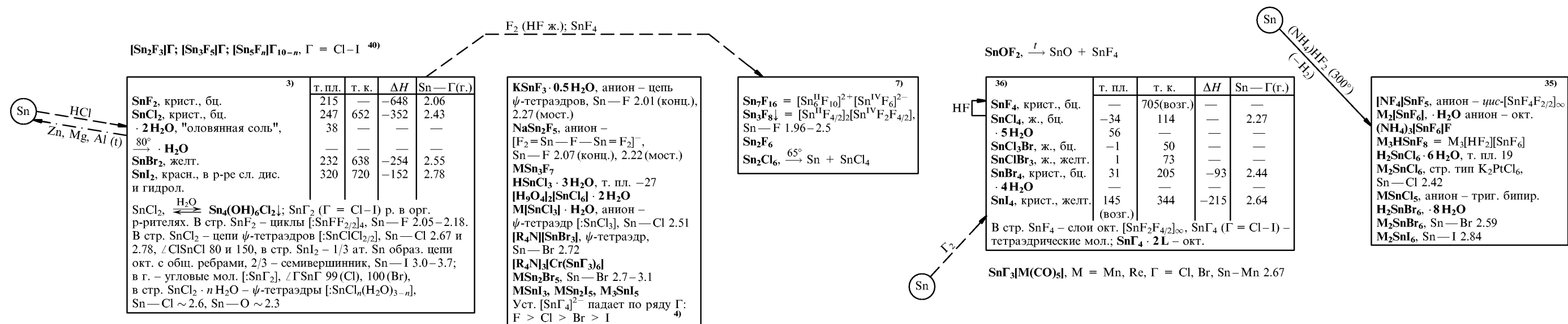
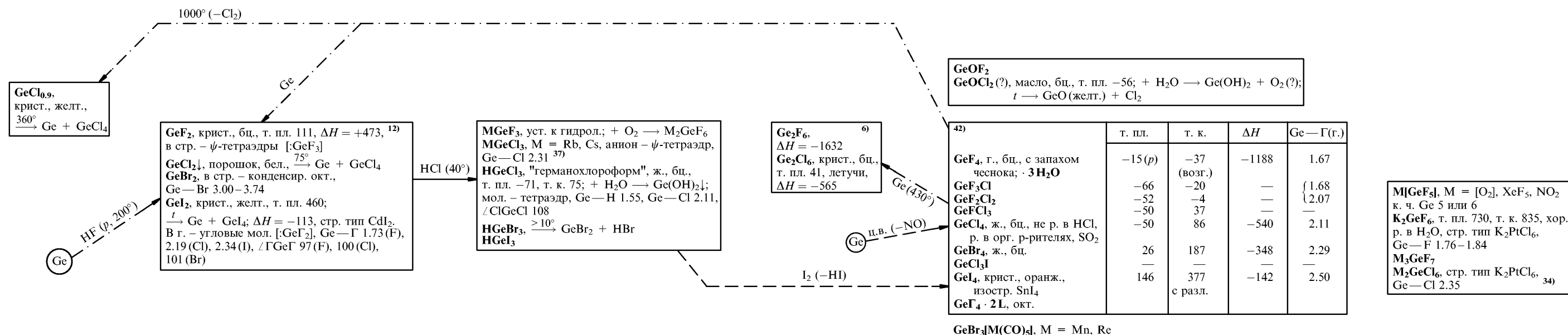


* См. примечание к с. 58

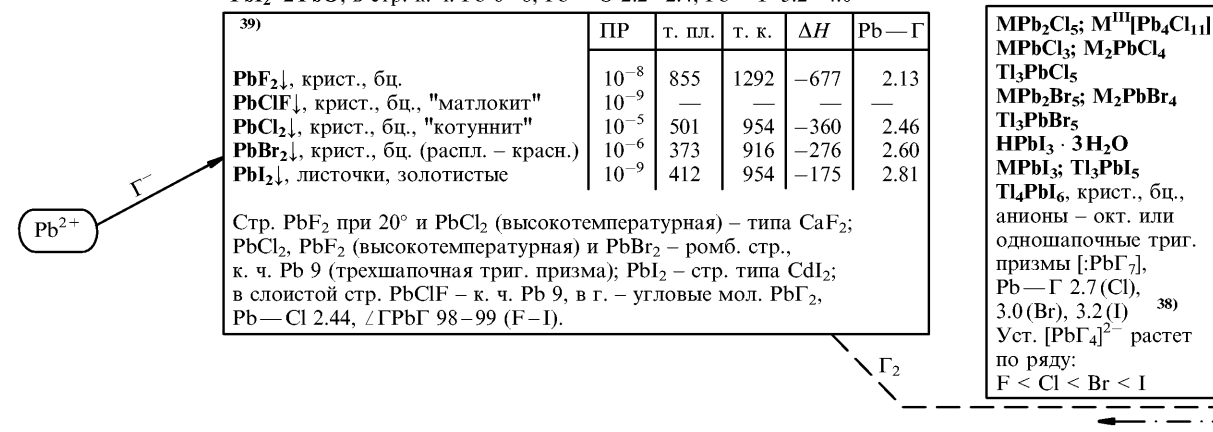
2+

"3+"

4+



n PbCl₂ · Pb(OH)₂↓, n = 1 "лаурионит", в стр. – квадратные антипризмы [PbO₃Cl₃]; 2 ("фидлерит"); 3 ("пенфильдит")
 PbCl₂ · n PbO, n = 2 ("мендипид", т. пл. 693); 3 ("бликсит"); 6 ("лореттоит")
 Pb₃O₂Br₂, в стр. – цепи тетраэдров [PbO₄], к. ч. 6 ⁵⁾
 PbI₂ · 2 PbO, в стр. к. ч. Pb 6–8, Pb—O 2.2–2.4, Pb—I 3.2–4.0 ⁵⁾

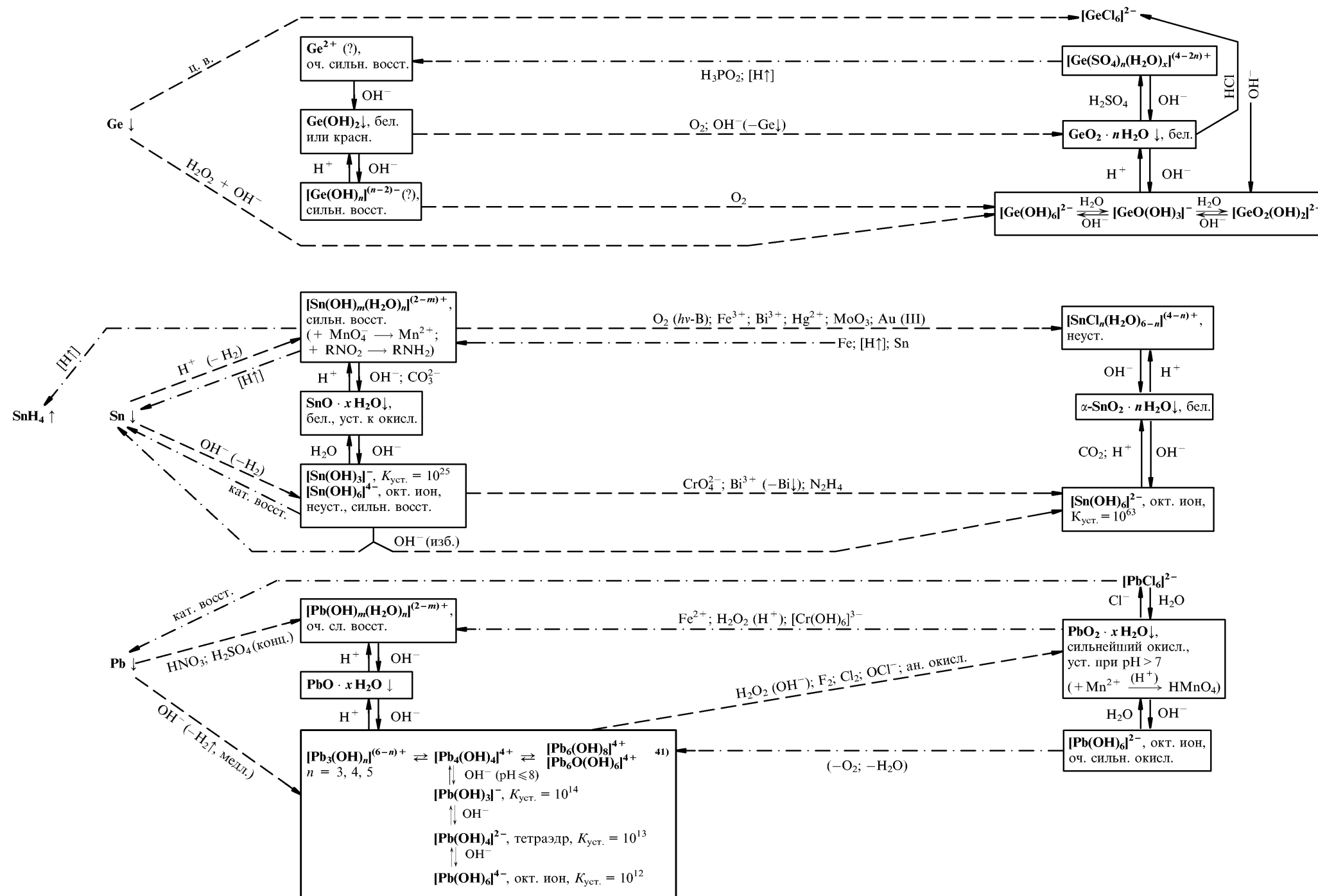


4–

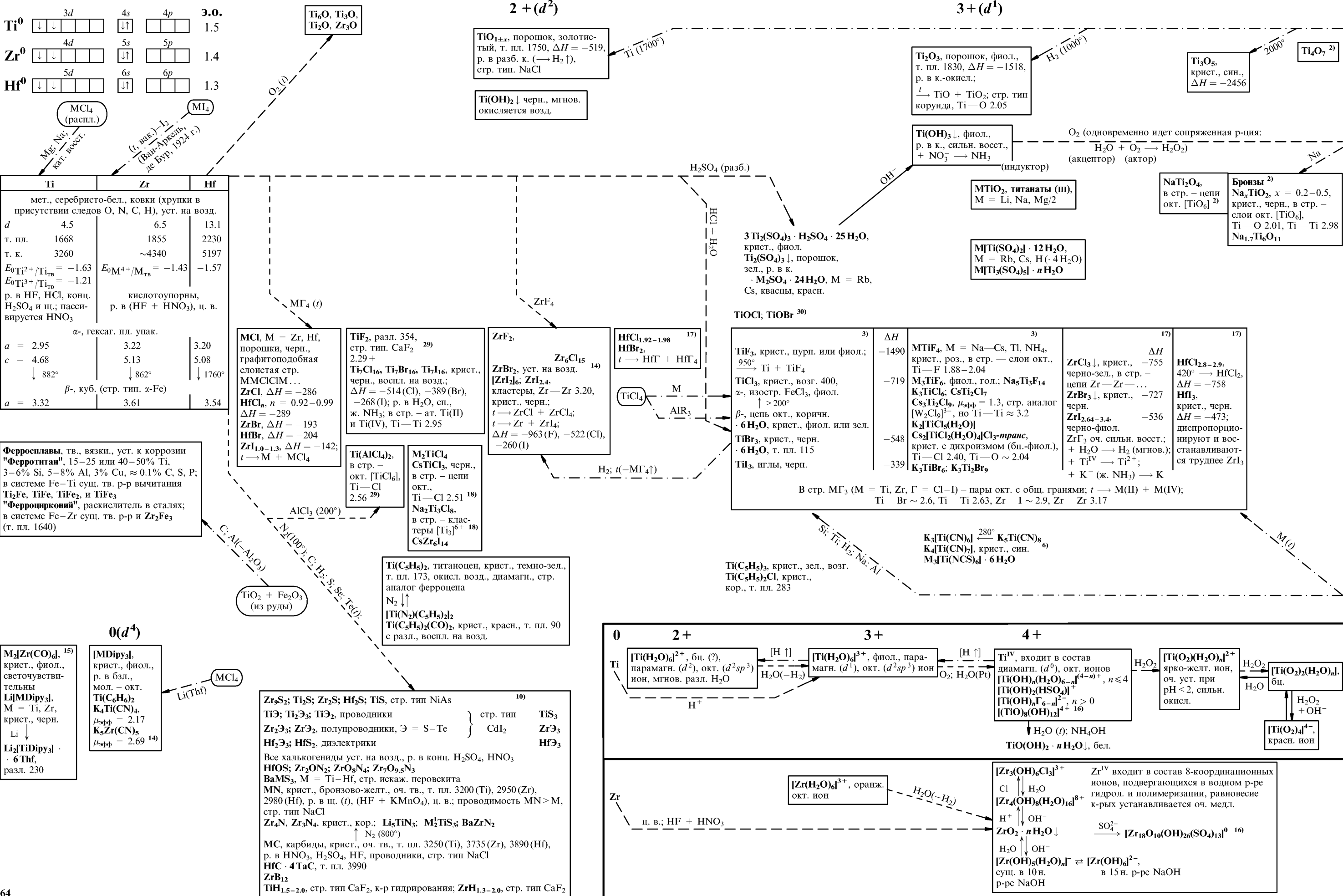
0

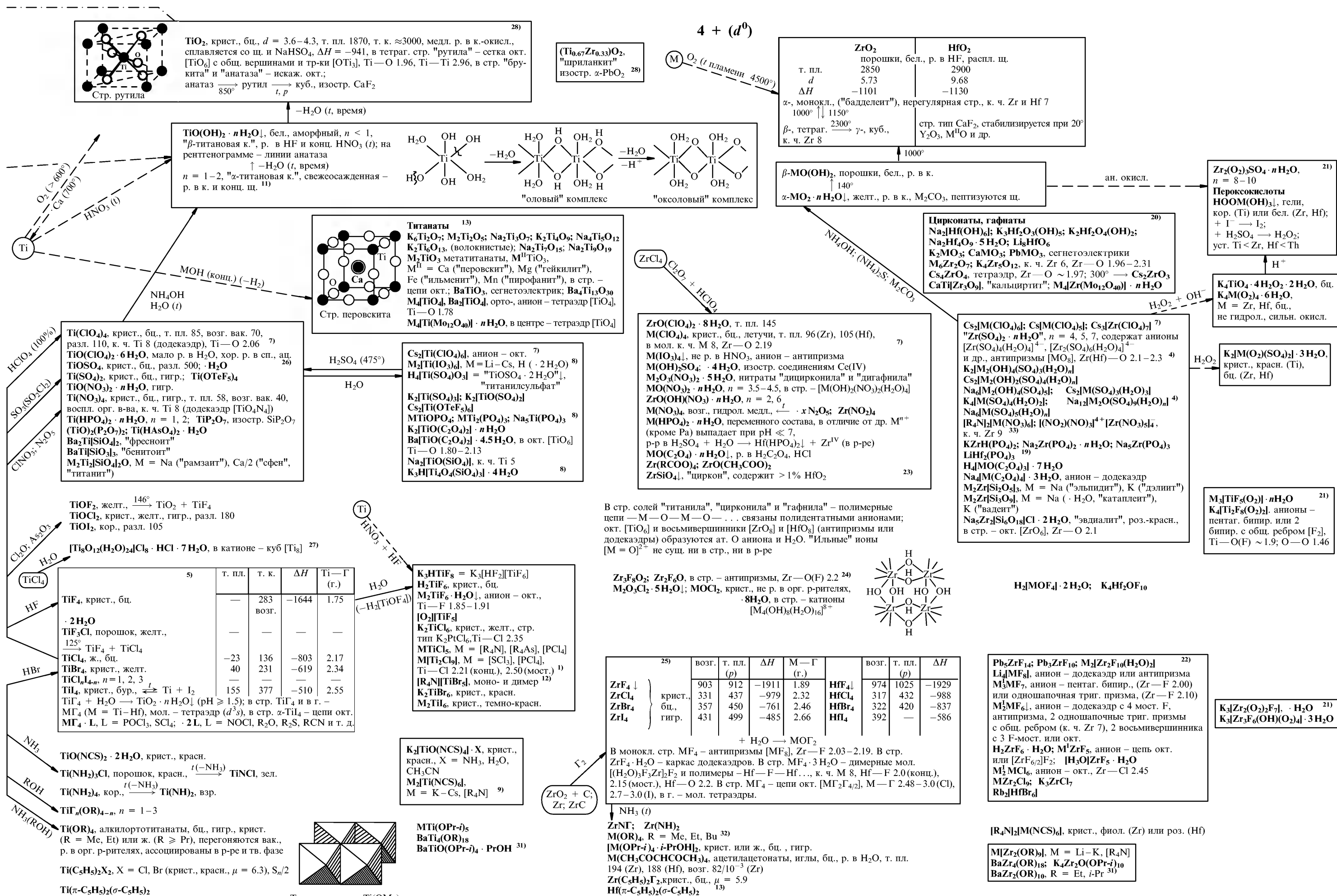
2+

4+

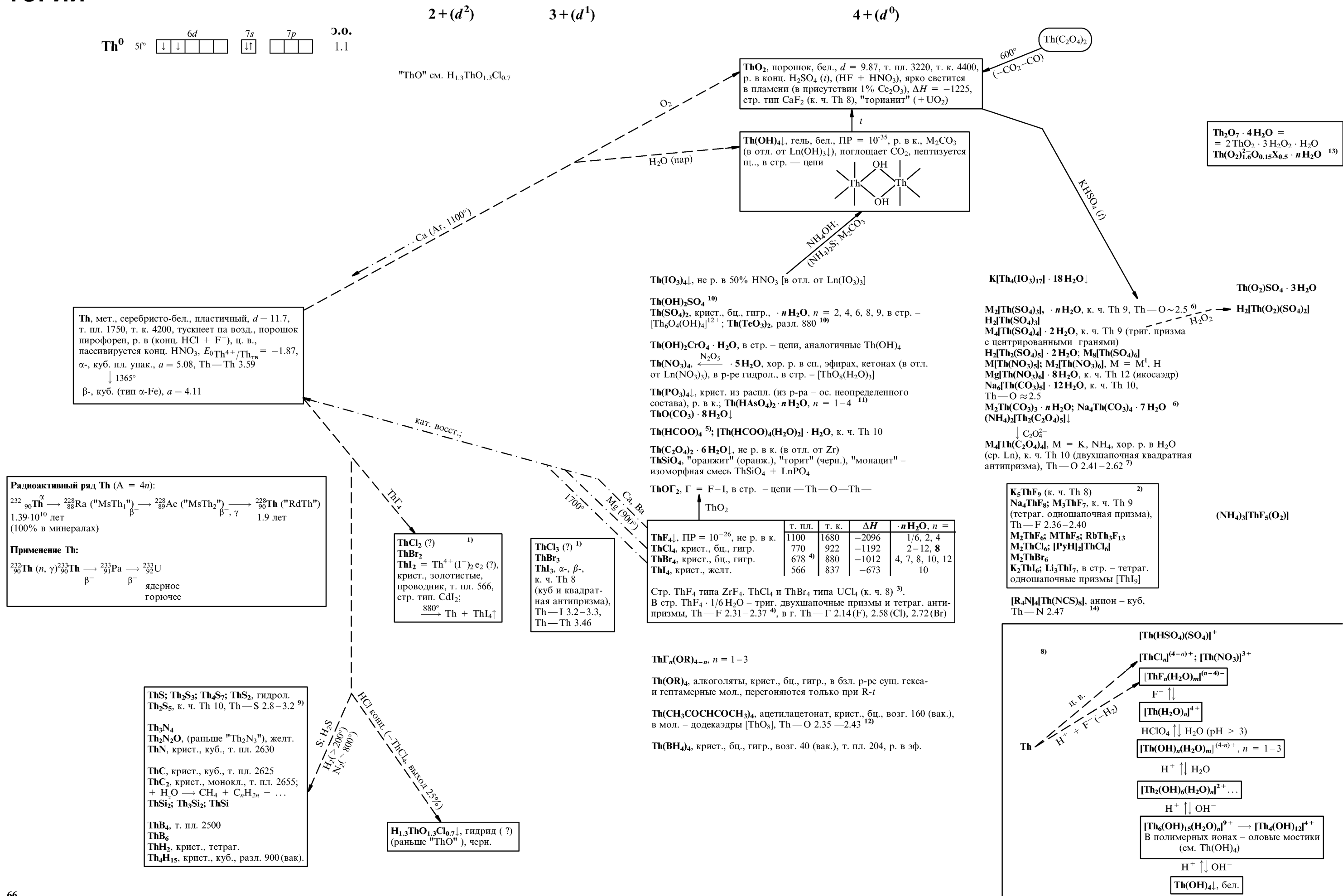


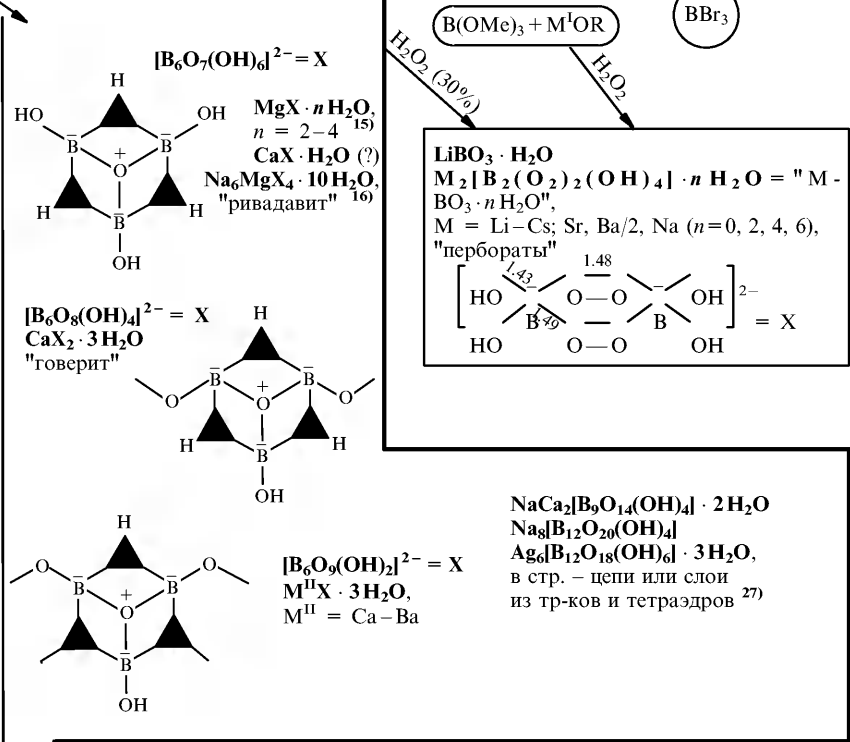
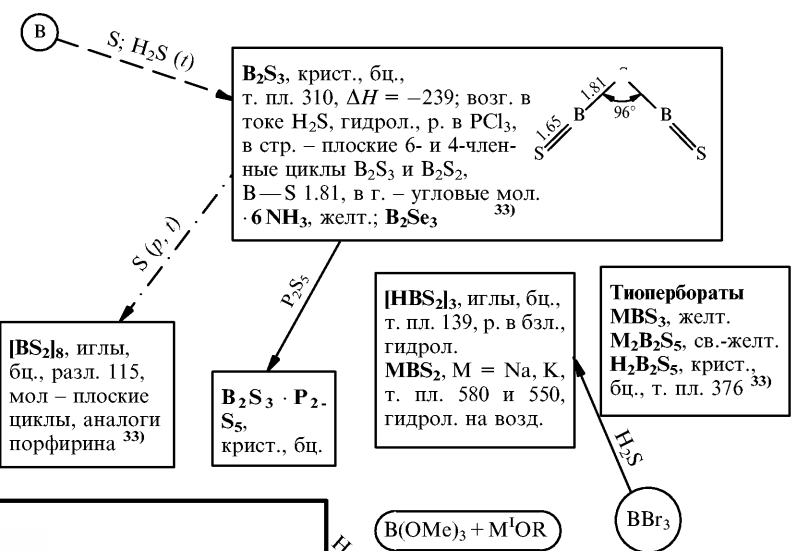
ТИТАН, ЦИРКОНИЙ, ГАФНИЙ



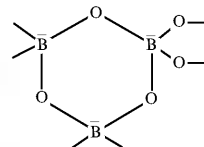



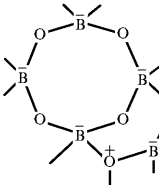

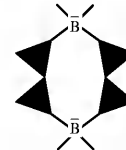




ТОРИЙ





ОСТРОВНЫЕ		Цепочечные полиметабораты	КАРКАСНЫЕ	
Ортобораты M_3X_n , M = Li, Na, Mg ("котоит"), Ba, Ca, Cd, In, Sc, Ln, Ti^{III} , V, Cr, Mn, Ni, Co BO_3^{3-} = X BO_3^{3-} = X "гамбергит" 28)		Цепочечные полиметабораты $[M(BO_2)_n]_{\infty}$, M = Li, Mg – Ba, Pb, Cu, Mn, Fe, Co, в стр. – плоские цепи $[B_2O_4]_{\infty}$ 	β -LiBO ₂ , стр. тип $[SiO_2]_{\infty}$ – кристаллита 	
Пиробораты 29) M_2^IX , M^{II} = Fe, Co, Mn, Cd Mg_2X , "суанит" Na_4X $[B_2O_5]^{4-}$ = X			$Cu(BO_2)_2$ 12)	MB_3O_5 , M = Li, Cs 11) 
Триметабораты $[M(BO_2)_3]_3$, M = Na (т. пл. 966, т. к. 1400), K (т. пл. 947), Ca (·nH ₂ O), Ba (мол. сущ. в г.) $[B_3O_6]^{3-}$		$[B_6O_{12}]^{6-}$ = X 12) Zn_4OX		$M_5[B_5O_{10}]^{12}$ $M^{II}B_4O_7$, M = Sr,

Равновесие полимеризации борат-ионов

при $\text{pH} < 7$

$$3 \text{H}[\text{B}(\text{OH})_4] \xrightleftharpoons[\text{H}^+]{\text{OH}^-} \text{H}^+ + [\text{B}_3\text{O}_3(\text{OH})_4]^- + 5 \text{H}_2\text{O} \xrightleftharpoons[\text{H}^+]{\text{OH}^-} [\text{B}_3\text{O}_3(\text{OH})_5]^{2-} \quad (20)$$

$K = 10^{-10}$

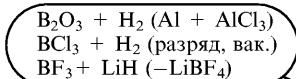
при $\text{pH} \geq 7$ суц. подвижное равновесие всех форм островных полианионов (содержащих 1, 2 или 3 шестичленных цикла $[\text{B}_3\text{O}_3]$ из тр-ков $[\text{BO}_3]$ и тетраэдров $[\text{BO}_4]$):

$$[\text{B}_6\text{O}_6(\text{OH})_6]^{2-} \rightleftharpoons [\text{B}_5\text{O}_6(\text{OH})_4]^- \rightleftharpoons [\text{B}_4\text{O}_5(\text{OH})_4]^{2-} \rightleftharpoons [\text{B}_3\text{O}_3(\text{OH})_5]^{2-} \rightleftharpoons [\text{B}(\text{OH})_4]^-$$

Состав боратов, кристаллизующихся из р-ров, зависит в основном от природы катиона: Li – Cs образ. моно-, тетра- и пентабораты, Mg и Ca – три- и гексабораты (см. табл.) Наиболее легко кристаллизуются бораты, наименее р. по сравнению с др. тв. фазами данной системы: "LiBO₂ · 8 H₂O", "Na₂B₄O₇ · 10 H₂O", "KB₃O₈ · 4 H₂O", "Mg[B₃O₃(OH)₅] · 5 H₂O ("индерит") и т. д.

Растворимость щелочных боратов при 25° (в пересчете на % B ₂ O ₃)			
	Моно-	Тетра-	Пентаборат
Li	6.9	15.0	15.0
Na	10.60	2.02	11.60
K	18.80	7.86	2.63
NH ₄	—	≈ 7	≈ 7
Cs	7.3	≈ 13	1.31

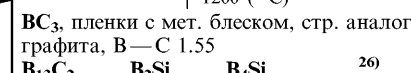
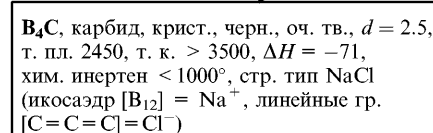
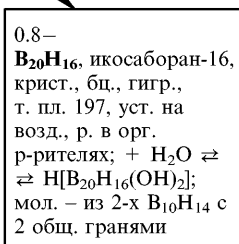
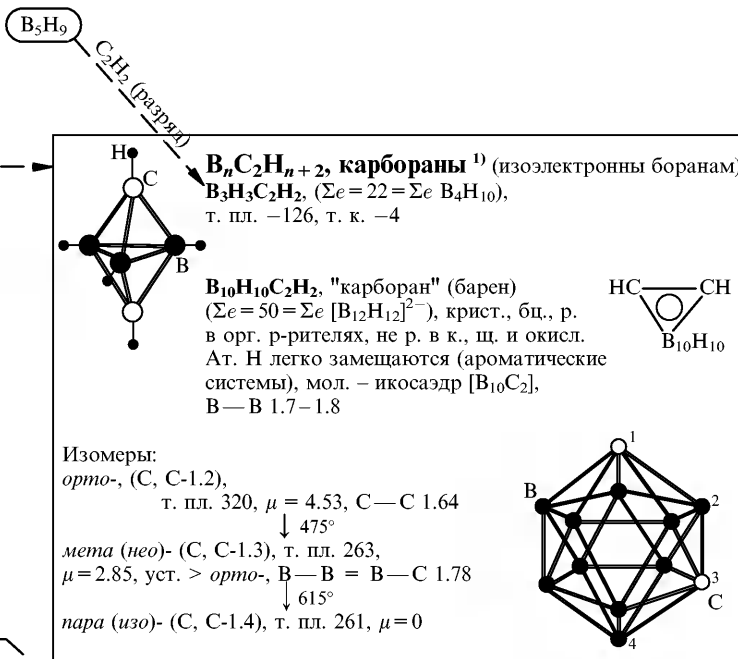
✓ H_3PO_4 (метод Штока)



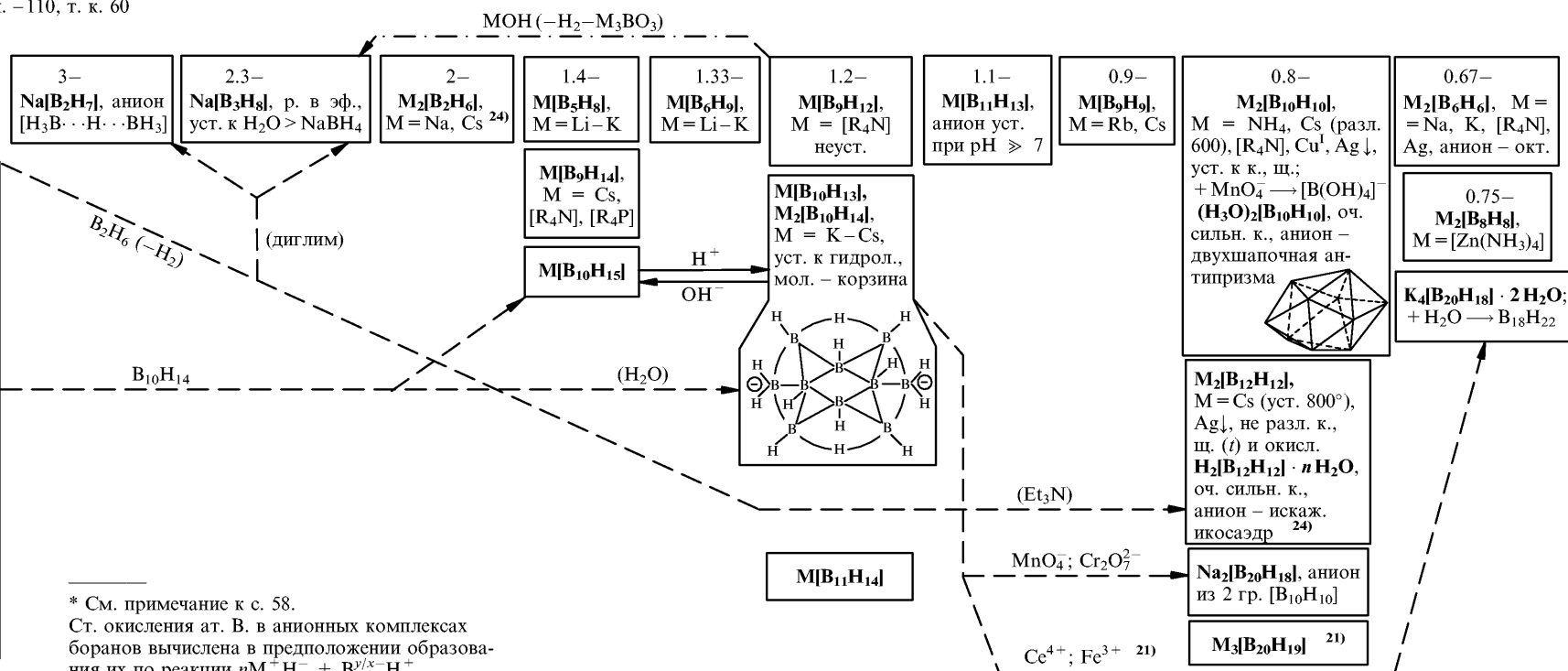
BH ₃ [:L]			
L	т. пл.	т. к.	+ H ₂ O
Me ₂ O	разл. -80	—	SiH ₄ + (BH ₂ CN) _x ↓ CO + H ₂ + H ₃ BO ₃
Me ₂ S	-83	38	
MeCN	—	—	
SiH ₃ CN	—	—	
CO	-137	-64	
NH ₃ , неустойчив → [H ₃ NBH ₂ NH ₃] ⁺ (BH ₄) ⁻			
NMe ₃ ,	94	171	не р. в к., перегоняется с паром H ₂ O
"боразан"	61 с разл.	—	
N ₂ H ₄			
PH ₃	—	—	
PMe ₃	103	—	
PF ₃	-116	-62	
P(NH ₂) ₃	—	—	
AsMe ₃	74	разл. 120	
P(NMe ₂) ₃ ↓	—	—	
Мол. — тетраэдры, В—Н 1.19–1.21, ∠HBH 114, В—L 1.54(C), 1.56(N), 1.84(P)			

Бораны, г., ж. или крист., бц., с отвратительным запахом, разделяют перегонкой, разл. H_2O ($\rightarrow \text{H}_3\text{BO}_3 + \text{H}_2$), не реаг. с конц. H_2SO_4 , акт. падает в гомологических рядах; ΔH сгорания очень велики ($-485 \text{ B}_2\text{H}_6$, ракетное топливо). Мол. построены из тр-ков $[\text{B}_3]$, $[\text{B}_2\text{H}]$, $[\text{BH}_2]$ с мост. ат. В (к. ч. 4) и Н (к. ч. 2), В—В 1.68–1.95, В—Н 1.10–1.36 (конц., мост.); электронодефицитные мол. с многоцентровыми связями. $\text{CH} \equiv \text{CH} (-\text{H}_2)$

$B_n H_{n+4}$	3— B_2H_6 диборан, г.	1.8— B_5H_9 пентаборан-9, ж.	1.67— B_6H_{10} гексаборан-10, ж.	1.5— B_8H_{12} октаборан-12, г.	1.4— $B_{10}H_{14}$ декаборан-14, крист.	1.25— $B_{16}H_{20}$ крист.	1.22— $B_{18}H_{22}$ крист.	
	т. пл. т. к. разл. ΔH μ отношение к возд. отношение к H_2O	—165 —92 >25 +35 0 воспл. мгнов. гидрол.	—46 60 150 (медл.) +114 3.37 (ж.) воспл. гидрол. при t	—62 108 25 (медл.) +84 — уст. гидрол. при t	—20 — —20 — — ? —	100 213 250 —39 3.62 (бзл.) оч. уст. $\rightleftharpoons H_3O^+ + B_{10}H_{13}^-$; сильн. к., медл. гидрол., р. в сп., эф.	99 — — — — — —	180 (норм.) 129 (изо) — — — — сильн. двухос- новная к., $K_2 = 10^{-8}$ мол. — два фрагмента икосаэдра с общ. ребром B—B — H_2 (350°, вак.)
$B_n H_{n+6}$	2.5— B_4H_{10} тетраборан, г.	2.2— B_5H_{11} пентаборан-11, ж.	2.0— B_6H_{12} гексаборан-12, ж.	1.7— B_9H_{15} эннеаборан-15, ж.	1.6— $B_{10}H_{16}$ декаборан-16, крист.	1.3— $B_{20}H_{26}$ 2,2'-(нидо)-декаборини.		
	т. пл. т. к. разл. ΔH μ отношение к возд. отношение к H_2O	—120 18 (с разл.) 25 +68 0.56 (бзл.) уст. медл. гидрол.	—122 63 25 ($\xrightarrow{\text{мгнов.}}$ $B_{10}H_{14}$) +92 — воспл. быстро гидрол.	—82 80—90 25 — — уст. $\rightarrow B_4H_{10} + H_3BO_3 + H_2$	3 — 75 — — уст.	мол. — 2 корзины [$B_{10}H_{14}$] со связью B—B ³⁴⁾		



Борогидриды			
Солеобразные		т. разл.	крист., бц., нелетучи, р. в H ₂ O (медл. → H ₂ ↑, Li ≫ Na > K), ТГФ, ж. NH ₃ , сильно. восст.; стр. тип NaCl, [BH ₄] – тетраэдр, B — H 1.26
	LiBH ₄	278	
	NaBH ₄	400	
	KBH ₄	500	
	Mg(BH ₄) ₂	280	
	Ca(BH ₄) ₂	320	
MBH ₄ · n H ₂ O	—		
Полимеры	CuBH ₄	–12	неустойчивы, не р. в орг. р-рителях, гидрол.
	Zn(BH ₄) ₂ , бц.	85	
	Cd(BH ₄) ₂ , бц.	25	
Ковалентные	Be(BH ₄) ₂ } бц.	возг. 91 т. пл. –65, т. к. 45 разл. –65 разл. 25 т. пл. 29, т. к. 128 т. пл. 29, т. к. 118 разл. 70	летучи, р. в эф., C ₆ H ₆ , мгнов. гидрол., в стр. – мол. с мост. ат. Н
	Al(BH ₄) ₃ }		
	Sn(BH ₄) ₄ , желт.		
	Ti(BH ₄) ₄ , бел.		
	Zr(BH ₄) ₄ }		
	Hf(BH ₄) ₄ } бц.		
	U(BH ₄) ₄ , зел.		



Состав	M ₄ B, M ₃ B, M ₂ B	M ₃ B ₂
М	Mn, V, Cr	Cr, Mo, W Nb, Ta, Mn, Fe, Co, Ni, Be
Положение ат. В	Изолированные ат. В стр. тип <i>анти</i> -CaF ₂	гр. [B ₂]
<p>Бориды переходных мет. нестехиометрического состава (особенно MB₂), от. тв., жаропрочны (т. пл. TiB₂ на 1000° > Ti), кислотоупорны (TaB₂ не р. в ц. в.); связь В—М — мет. (проводимость ZrB₂ в 10 раз > Zr), "ферробор" (1.2% В, 3–5% Al, 3–4% Si, 0.1% С, 0.02% S, ≈80% Fe) — раскислитель при плавке легированных сталей</p>		

Бориды переходных мет. нестехиометрического состава (особенно MB_2), оч. тв., жаропрочны (т. пл. TiB_2 на $1000^\circ > \text{Ti}$), кислотоупорны (TaB_2 не р. в ц. в.); связь $\text{B}-\text{M}$ — мет. (проводимость ZrB_2 в 10 раз $> \text{Zr}$), "ферробор" (1.2% B, 3–5% Al, 3–4% Si, 0.1% C, 0.02% S, $\approx 80\%$ Fe) — раскислитель при плавке легированных сталей

\mathbf{B}^0

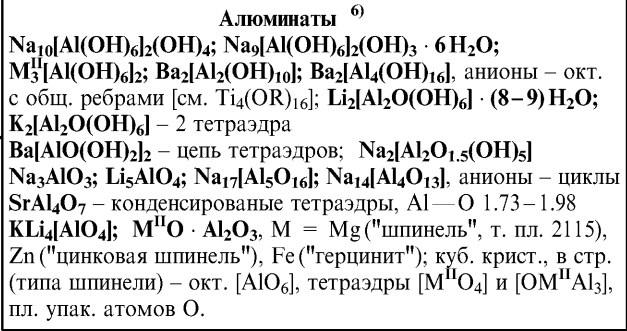
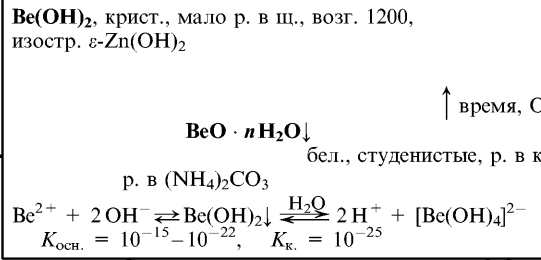
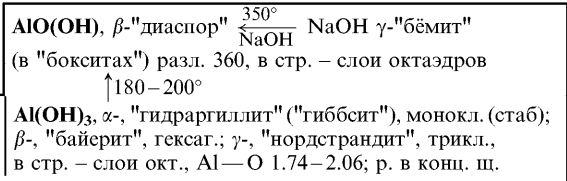
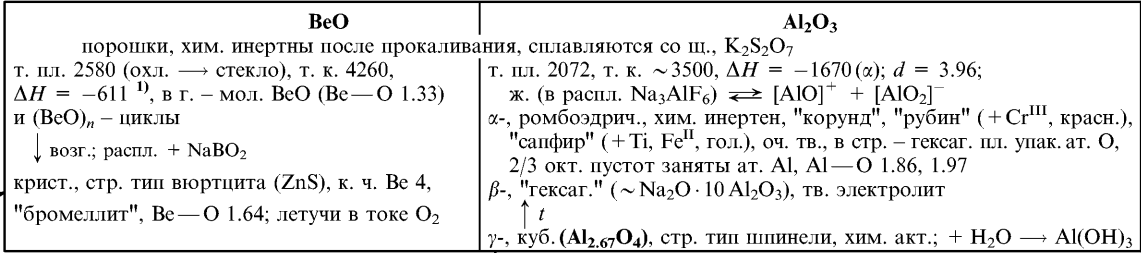
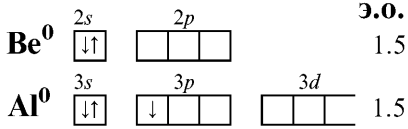
$2s$		$2p$
$\uparrow\downarrow$		\downarrow

$\mathbf{3.0.}$
 2.0



БЕРИЛЛИЙ, АЛЮМИНИЙ

Ионы Be и Al в водном р-ре см. с. 74

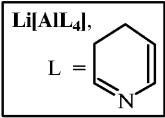


Be	Al
мет., бел., блестящие (покрыты тончайшей пленкой окислов), легкие тв., хрупкий, прозрачен для рентгеновских лучей	мягкий, ковкий
<i>d</i> 1.85	2.70
т. пл. 1287	660
т. к. 2507	≈ 2500
$E_0 M^{n+}/M_{тв} = -1.85$	-1.70
$E_0 [M(OH)_4]^{n-}/M_{тв} = -2.52$	-2.34
р. в разб. к., ш., пассивир. HNO ₃	
р. в HF, NH ₄ F	не р. в HF, H ₃ PO ₄ , CH ₃ COOH, мет. выс. чистоты р. в (HCl + Cu ²⁺ + H ₂ O ₂)
гексаг. пл. упак. <i>a</i> = 2.28, <i>c</i> = 3.58 <i>M</i> — <i>M</i> 2.28	куб. пл. упак. <i>a</i> = 4.04 <i>M</i> — <i>M</i> 2.86

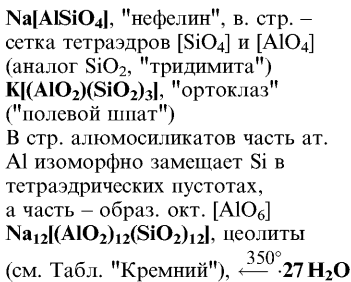
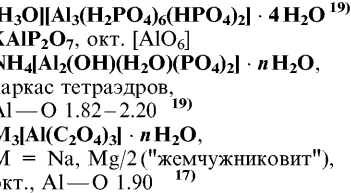
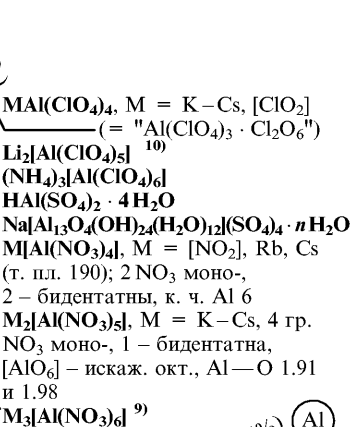
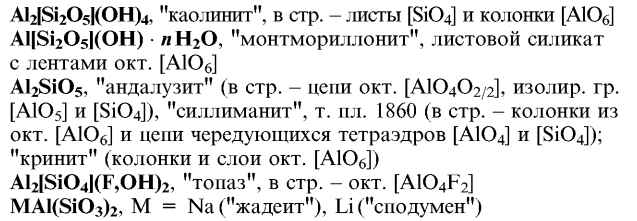
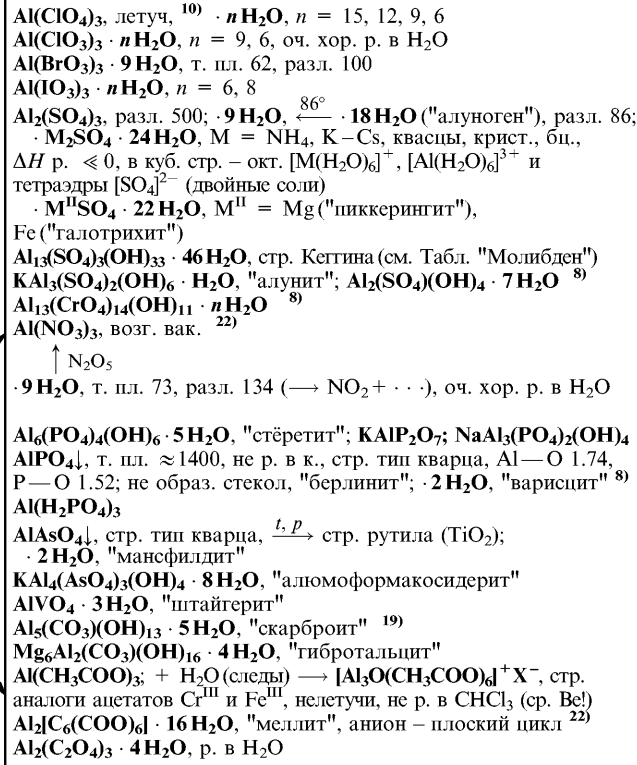
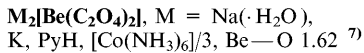
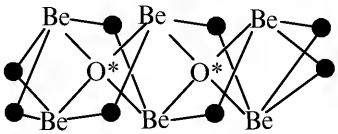
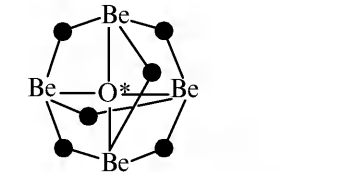
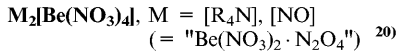
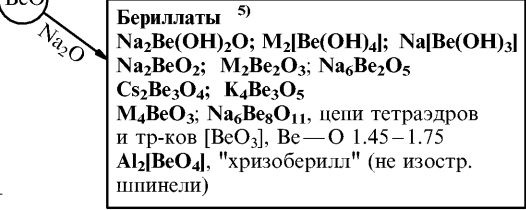
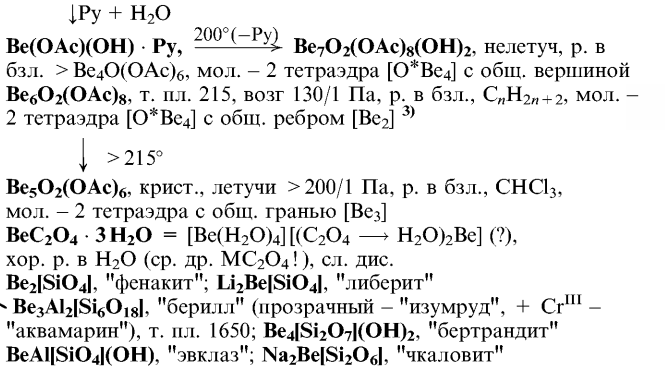
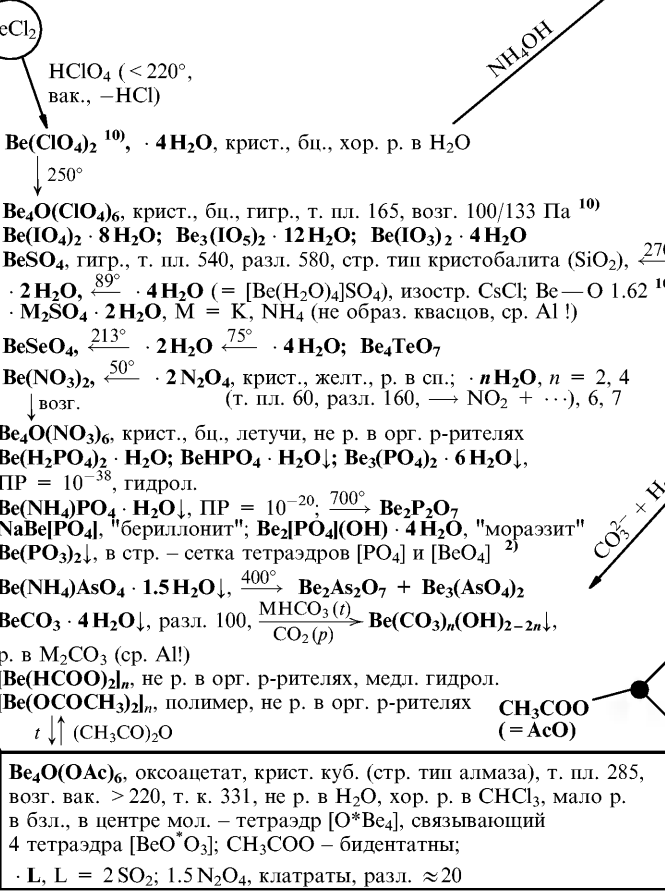
Cu + ≤6% Be = "бериллиевые бронзы",
сплавы с высокой тв., механической прочностью и
коррозионной уст.

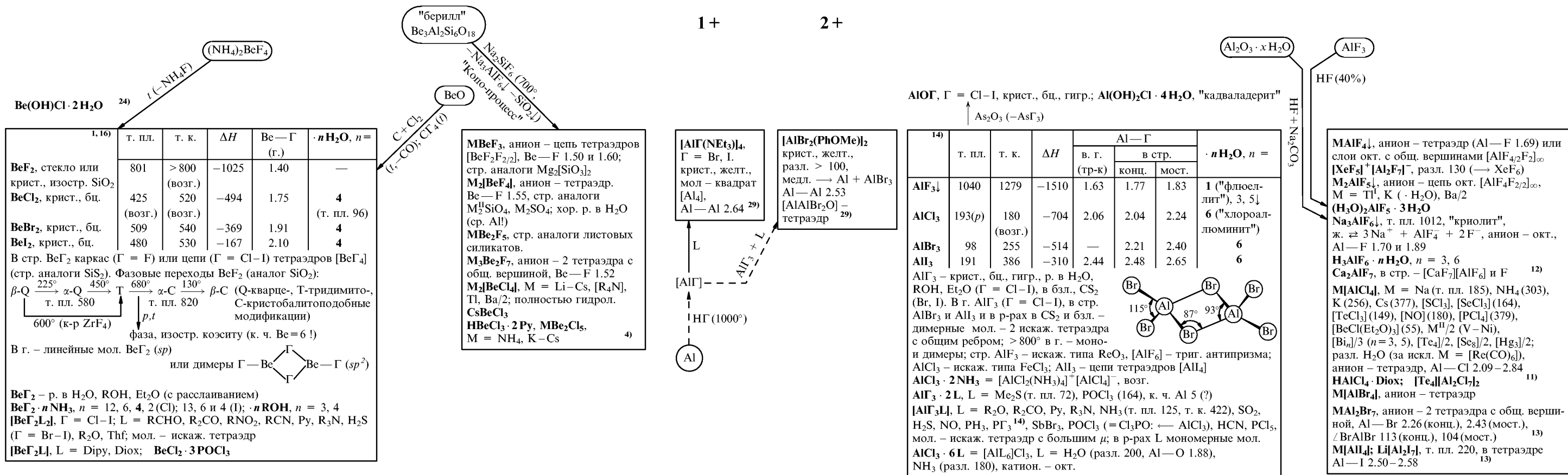
Стали хромо-молибдено-алюминиевые, Al повышает
уст. к г. коррозии, стойкость к износу и истиранию.
Сплавы для магнитов, 12–15% Al
Дюралюминий, тв. сплав, 93–95% Al, 2.5–5.5% Cu,
0.5–2.0% Mg, 0.5–1.2% Mn, 0.2–1.0% Si
Силумин, 10–14% Si, 0.1% Na, остальное – Al

[Be(Dipy) ₂], парамагн., μ _{эфф} = 2.1 (2 неспар. эл., sp ³ – ?) ¹⁸⁾	[Al(Dipy) ₃], μ _{эфф} = 2.32
---	--

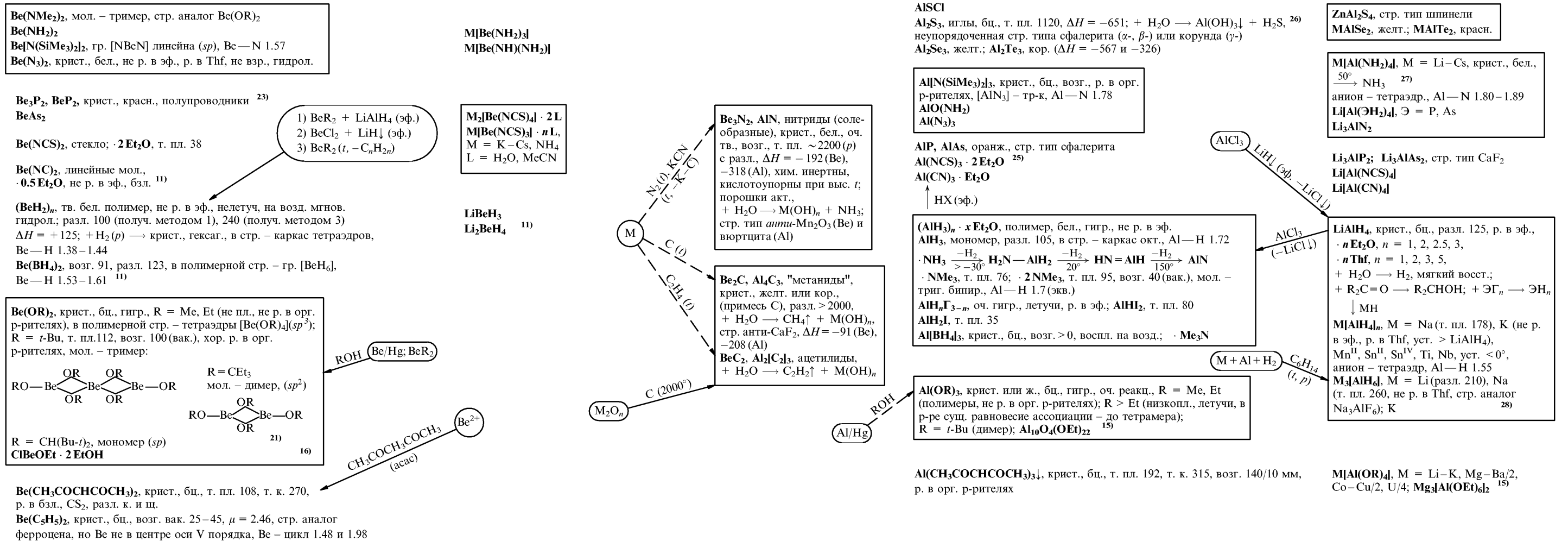


этапы: 1) 1600°; 2) + H₂SO₄(–SiO₂↓); 3) + (NH₄)₂SO₄
CH₃COOH
↓ (NH₄)₂SO₄ · Al₂(SO₄)₃ · 24H₂O

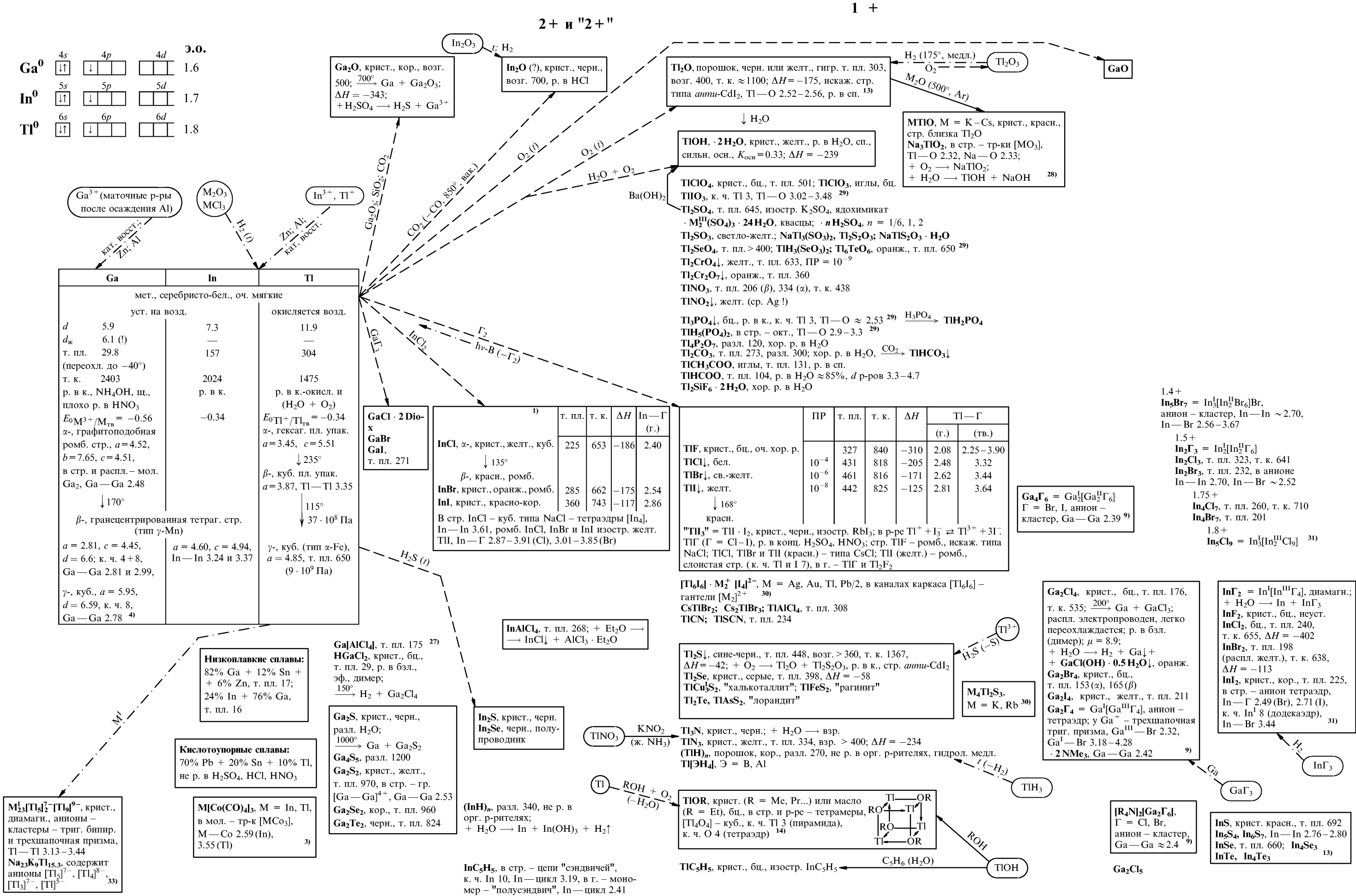




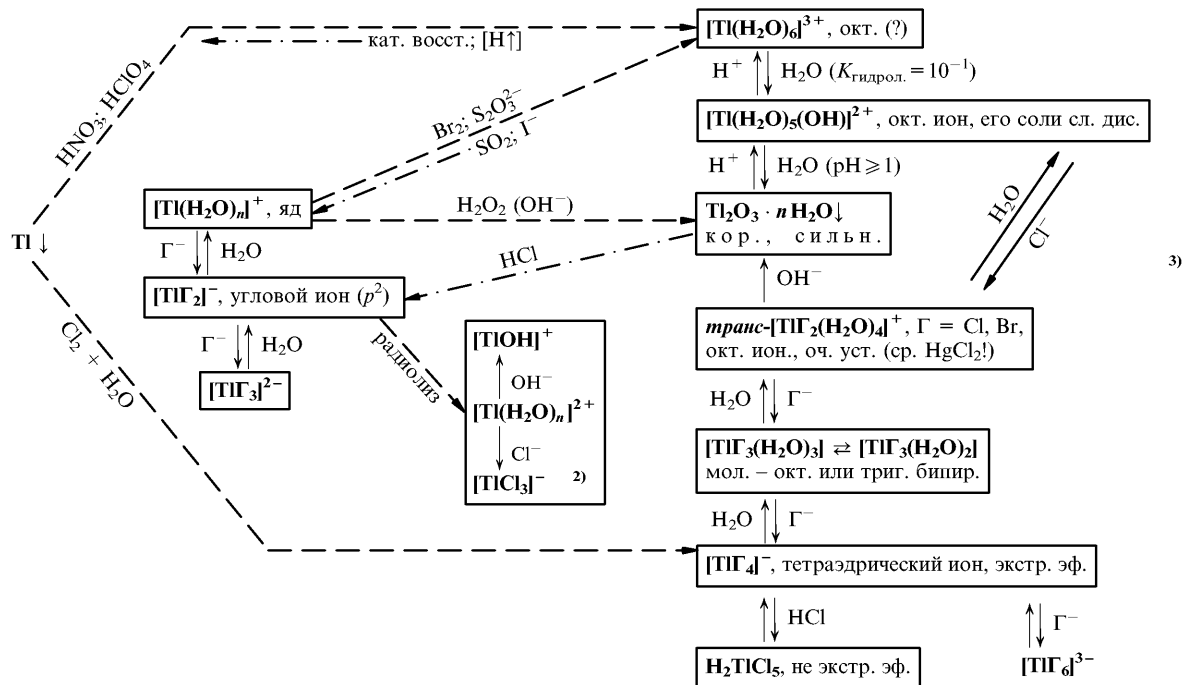
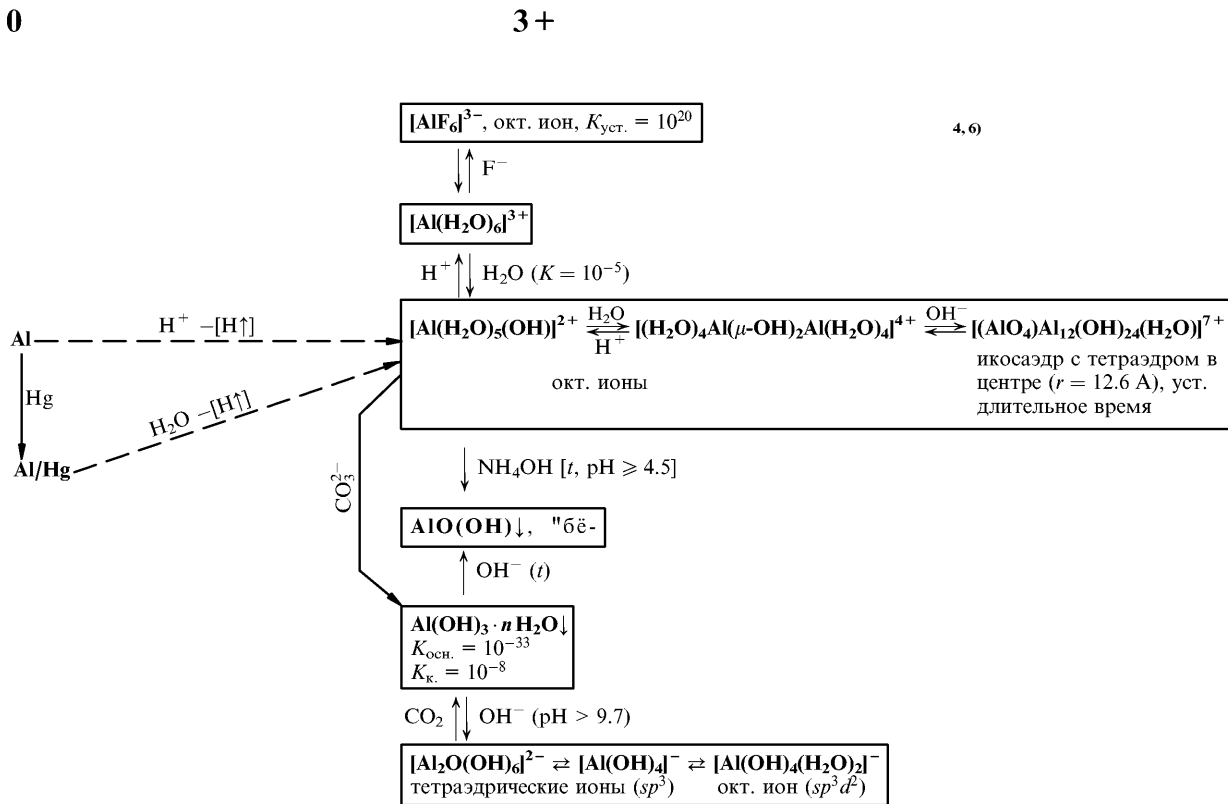
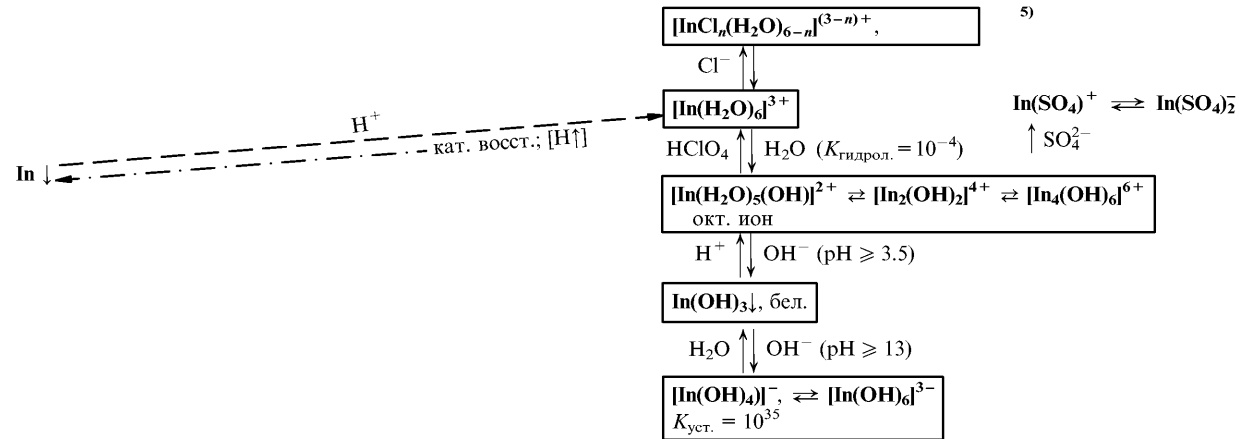
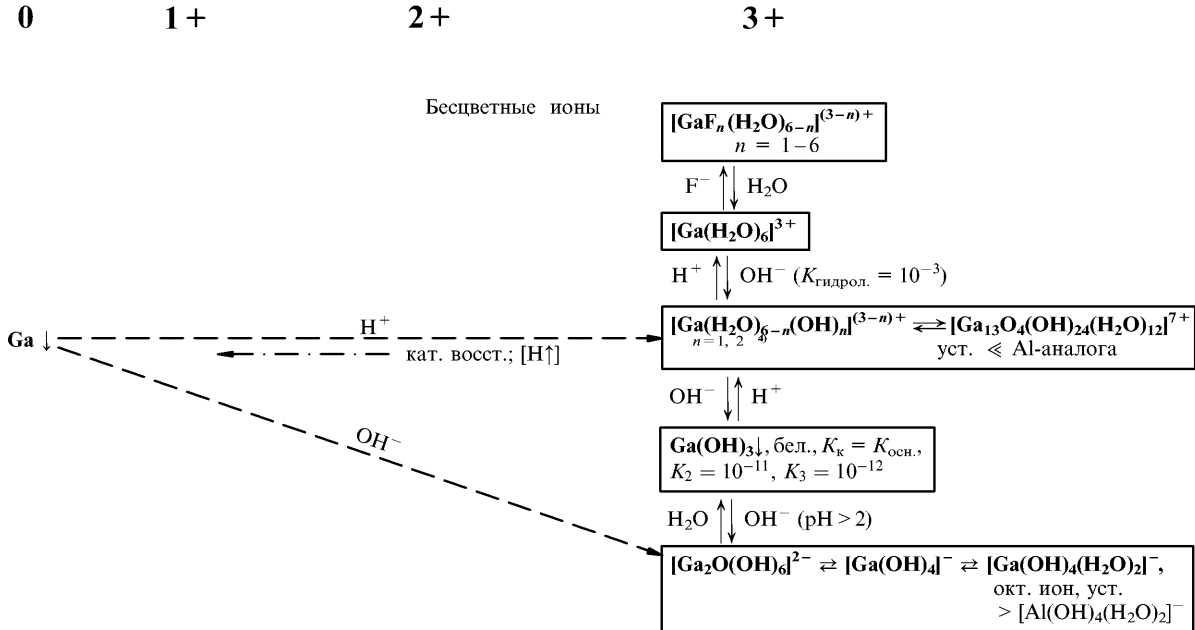
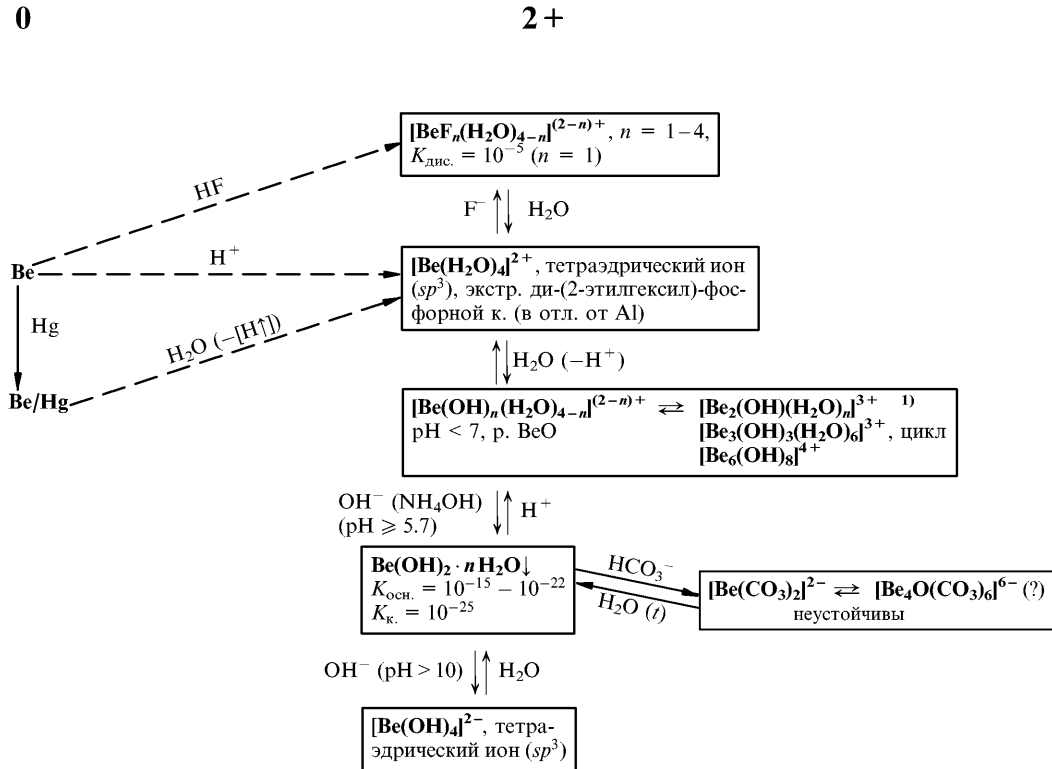
BeS, порошок, серый, уст. к H₂O, $\Delta H = -235$, стр. тип сфалерита



ГАЛЛИЙ, ИНДИЙ, ТАЛЛИЙ



ИОНЫ БЕРИЛЛИЯ, АЛЮМИНИЯ, ГАЛЛИЯ, ИНДИЯ И ТАЛЛИЯ В ВОДНОМ РАСТВОРЕ



СКАНДИЙ, АКТИНИЙ

Sc ⁰	<div><div>3d</div><div><div></div><div></div><div></div><div></div><div></div></div></div>	<div><div>4s</div><div><div>↓↑</div></div></div>	<div><div>4p</div><div><div></div><div></div><div></div></div></div>	3.0.
Ac ⁰	<div><div>6d</div><div><div></div><div></div><div></div><div></div><div></div></div></div>	<div><div>7s</div><div><div>↓↑</div></div></div>	<div><div>7p</div><div><div></div><div></div><div></div></div></div>	1.0

Радиоактивный ряд Ac ($A = 4n + 3$);

$^{235}_{92}\text{U} ("AcU") \xrightarrow{\alpha} ^{231}_{90}\text{Th} \xrightarrow{\beta} ^{231}_{91}\text{Pa} \xrightarrow{21.8 \text{ лет}} ^{227}_{89}\text{Ac} \xrightarrow{\beta} ^{227}_{90}\text{Th} ("RdAc") \dots$

(10⁻⁹% в U-рудах)

Ряд Th ($A = 4n$);

$^{232}_{90}\text{Th} \xrightarrow{\alpha} ^{228}_{88}\text{Ra} \xrightarrow{6.134 \text{ ч}} ^{228}_{89}\text{Ac} ("MsTh") \xrightarrow{\beta} ^{228}_{90}\text{Th} \dots$

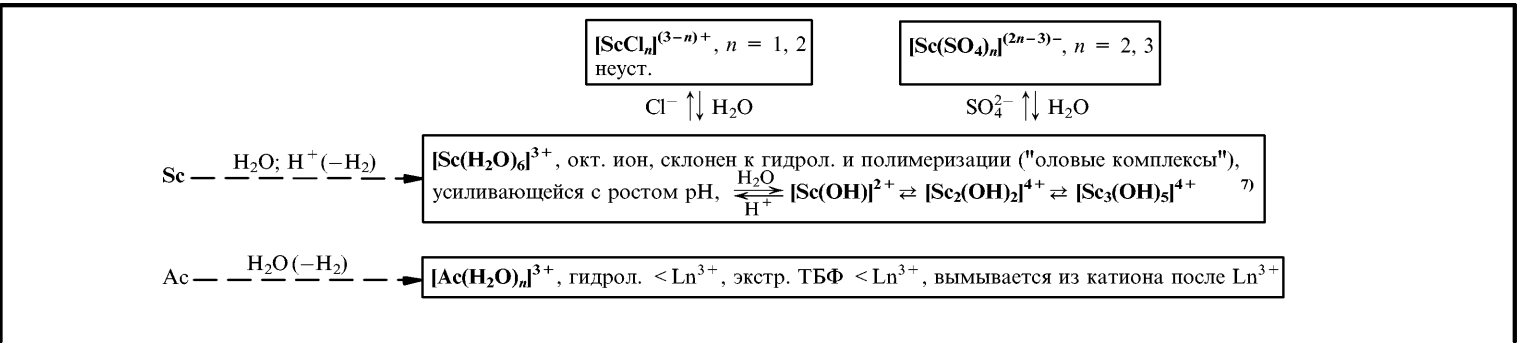
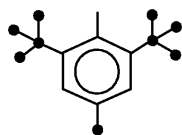
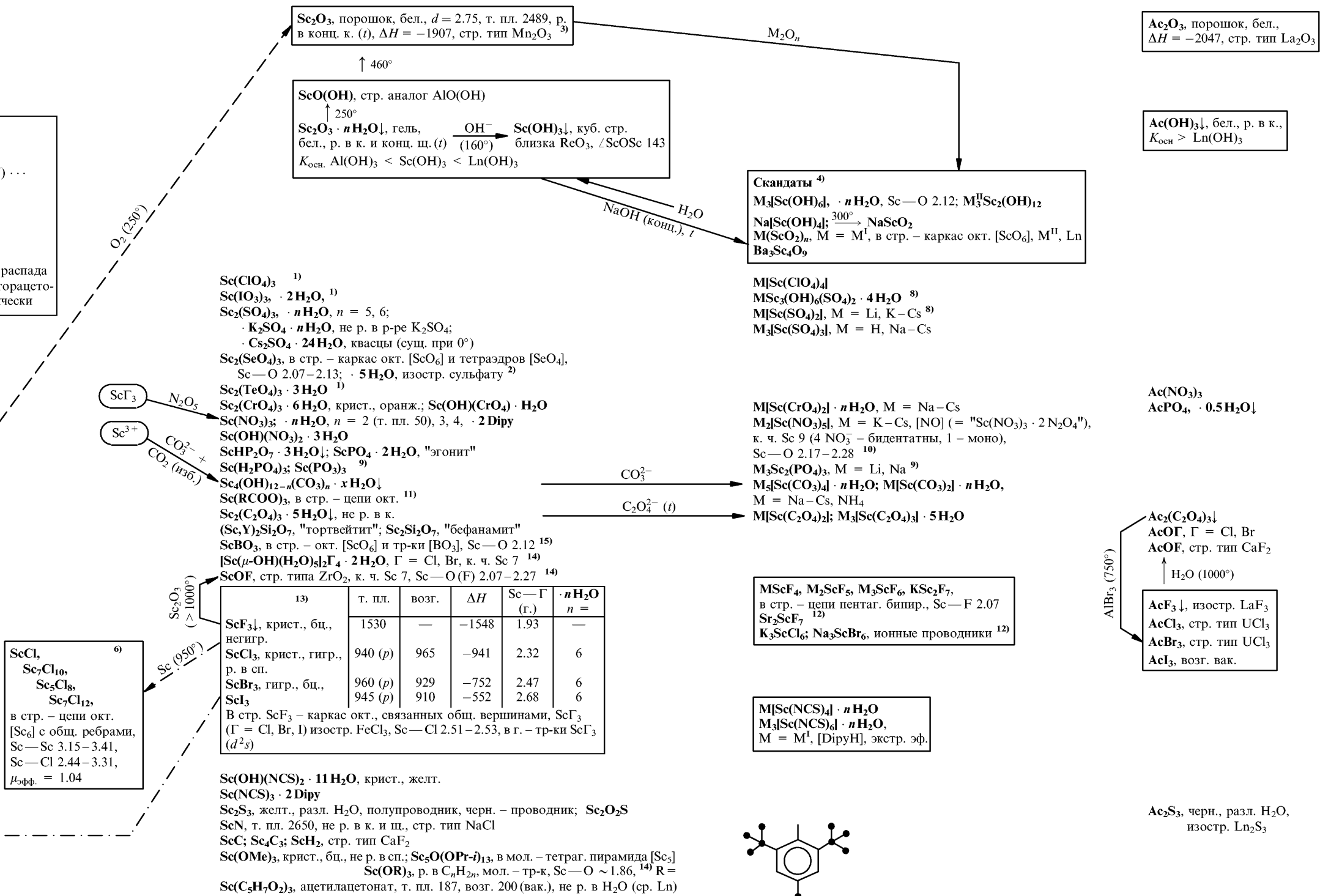
Синтез:

$^{226}_{88}\text{Ra} (n, \gamma) ^{227}_{88}\text{Ra} \xrightarrow{41 \text{ мин}} ^{227}_{89}\text{Ac}$, отделяется от др. продуктов распада экстракцией бзл. в виде теноилтрифторацетоната (pH 5.5–6.0) или хроматографически

<div>ScF₃, ScCl₃</div>	<div>Ac₂O₃</div>
Sc	Ac ⁵⁾
мет., серебристо-бел., мягкие	светится в темноте
с желт. отливом	
d 3.02	10.1
т. пл. 1541	1050
т. к. ~2850	3390
медл. реак. с H ₂ O,	р. в H ₂ O, оч. реакц. (вслед-
пассивируется (HF + HNO ₃)	ствие радиоактивности)
$E_0 M^{3+} / M_{\text{тв}} = -2.08$	-2.6
α -, гексаг. пл. упак.,	—
$a = 3.31, c = 5.27$	
$\downarrow 1335^\circ$	
β -, куб. пл. упак.	
a 4.53	5.31
$M-M$ 3.26	3.76
(сущ. при 20°)	

0(d^3)

3+ (d^0)



ИТТРИЙ, ЛАНТАН И ЛАНТАНИДЫ (Ln)

Table with 4 columns: Element, Symbol, f-orbitals, d-orbitals, s-orbitals, and Atomic Number (Z). Rows include Lanthan (La), Cerium (Ce), Praseodymium (Pr), Neodymium (Nd), Promethium (Pm), Samarium (Sm), and Europium (Eu).

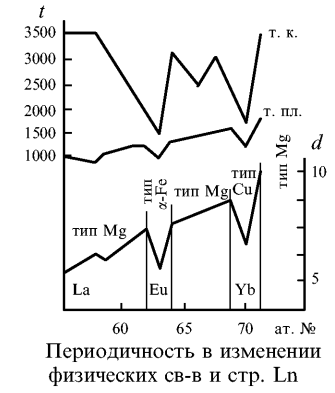
Table with 4 columns: Element, Symbol, f-orbitals, d-orbitals, s-orbitals, and Atomic Number (Z). Rows include Gadolinium (Gd), Terbium (Tb), Dysprosium (Dy), Holmium (Ho), Erbium (Er), Thulium (Tm), Ytterbium (Yb), Lutetium (Lu), and Yttrium (Y).

Синтез Pm: 144Nd (2D, n) 145Pm 18 лет (Пул, Квилл, 1938) 235U (n) 147Pm + Pu + ... 2.62 года (Маринский, Гленденинг, 1947 г.) осколочный элемент в реакторах (0.7 г на 1 кг Pu)

Chemical reactions and properties of EuO, Eu(OH)2, and Eu3O4. Includes synthesis of Eu3O4 from EuO and H2O, and the use of Eu(OH)2 in the separation of Ln.

*) или 4f15d16s2
**) или 4f85d16s2

Large table with 15 columns (La to Y) and multiple rows containing physical and chemical data: melting/boiling points, density, crystal structure, magnetic properties, etc.



Y2F3, G = Cl, Br, изостр. ZrCl, Y — Y 3.3–3.7, Y — Cl 2.7–2.8 Gd2Cl3 Tb6Br7 Ln7I12, Ln = Tb, Er, Lu Er7I10, Er4I5 В стр. — цепи окт. кластеров [Ln6Г12], Ln — Ln 3.3–3.8

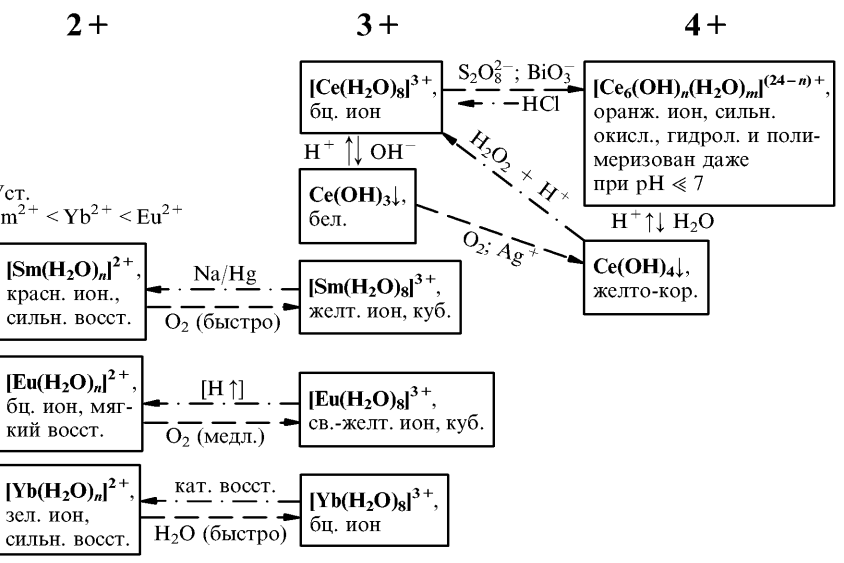
Table with 7 columns: LnCl2, SmCl2, EuCl2, HoCl2, TmCl2, YbCl2, and YbCl2. Rows include physical data (melting point, density, etc.) and chemical reactions.

La2Br5, черн. Pr2Г5, Г = Br, I, к. ч. Pr 7 и 8 (одно- и двухшапочные триг. призмы), Pr — Pr 4.1–4.9, Pr — Br 2.9–3.4 Nd3Cl7, стр. аналоги Nb6Г14 Nd4Br9; Eu4Cl9 Sm6Br13; Sm11Br24; Sm5Br11, сверхструктура типа CaF2 Yb4F9

CsLnCl3, Ln = Sm, Eu, Tm, Yb; + H2O —> H2↑ + ..., стр. тип BaTiO3 MLn2Cl5, в стр. — цепи одношапочных призм [LnCl7] или [LnCl8], Yb — Cl 2.74–3.13

[Ln(H2O)8]3+ + H2O ⇌ [Ln(H2O)7(OH)]2+ + H+, куб. ионы, Ln — OH2 2.48 (La), 2.41 (Tb), 2.40 (Dy), 2.37 (Er), 2.36 (Tm), 2.34 (Lu) Ст. гидр. растет от La к Lu по мере упрочнения связи Ln — OH2; в том же направлении изменяются радиусы [Ln(H2O)8]3+ (в противоположность свободным Ln3+)

Table showing the color of [Ln(H2O)8]3+ ions for various Ln elements, categorized by f-orbital occupancy (f0 to f14).



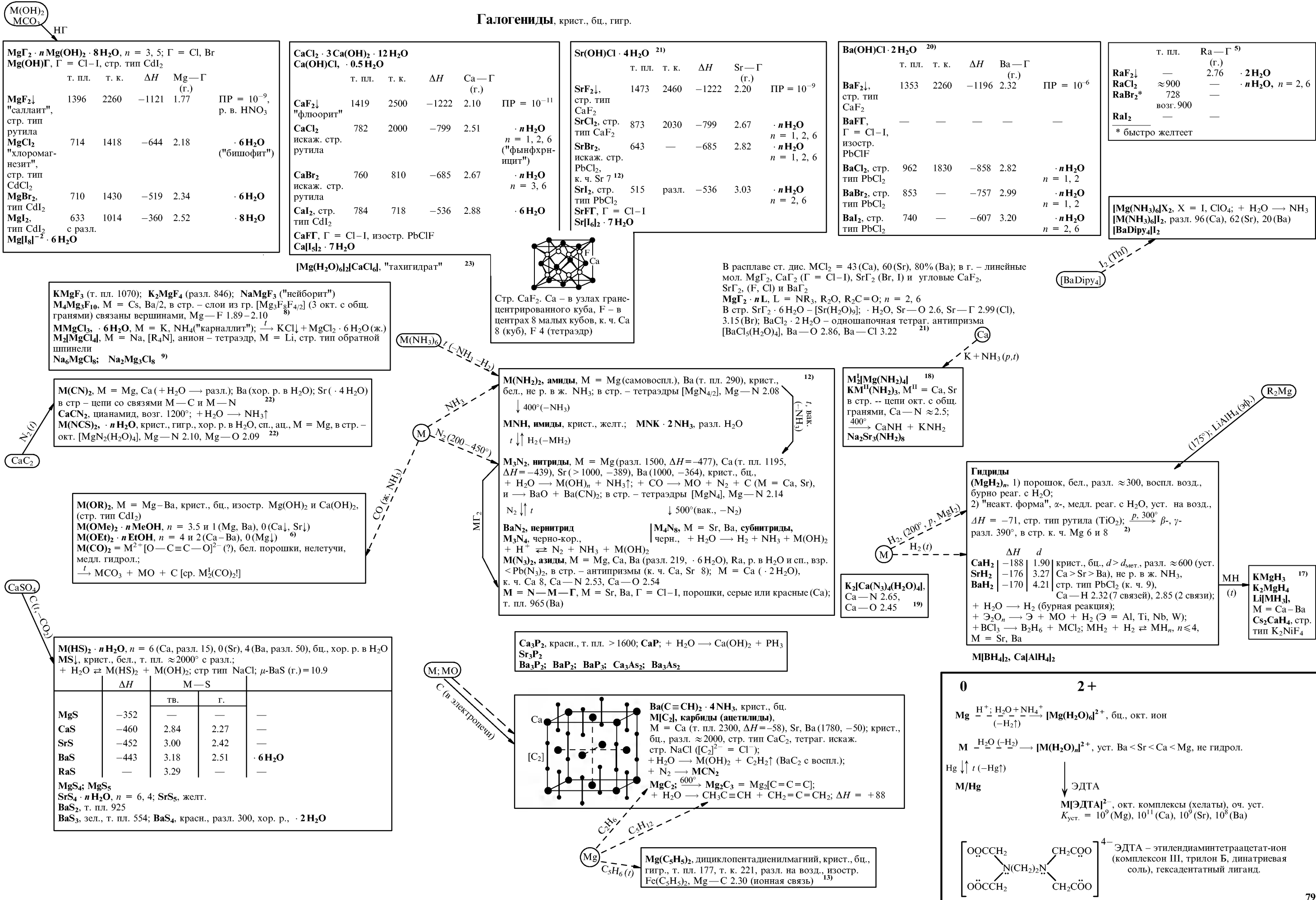
LnS, Ln = Sm, Eu, Yb, стр. тип NaCl [LaS, CeS = Ln3+S2-e-, желт., проводники] Ln3S4(Ce,Sm); Ln2S3, т. пл. ≈ 2000, стр. (Lu–Yb) типа корунда (к. ч. 6); (Dy–Tm) к. ч. 6 и 7; (La–Sm, Gd–Dy) к. ч. 7 и 8; Ce к. ч. 8 (додекаэдр) Ln2S4; Ln2O2S; La[S2] LnSe, LnTe, полупроводники; Ln3Se4

KEu(NH2)3; Na2Eu3(NH2)8

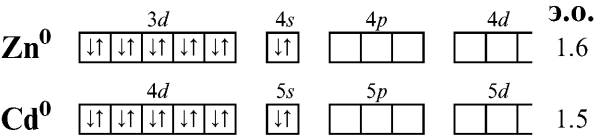
LnN, LnP, крист., черн., разл. H2O, стр. тип NaCl, проводники LnO, O = As, Sb, Bi, уст. к гидр.

LnC2, крист., желт., т. пл. ≈ 2300, стр. тип CaC2, C — C 1.28, проводники; + H2O —> C2H2 + H2 + ... Ln2C3 (La–Ho); Ln3C (Sm–Lu)

LnH<3 (La–Pr), порошки, гигр., разл. 1000, самовоспл. на возд., куб. стр., к. ч. ≈ 11 (La–Nd), гексаг. стр., к. ч. Ln ≈ 6 (Sm, Gd–Lu) LnH2, металлоподобны, не реаг. с H2O, стр. тип CaF2

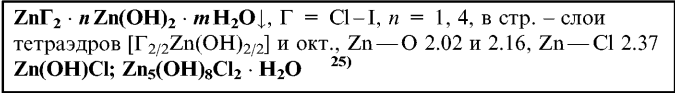
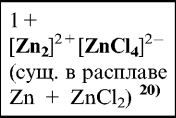


ЦИНК, КАДМИЙ



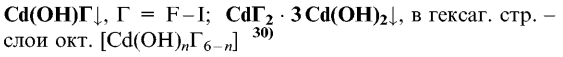
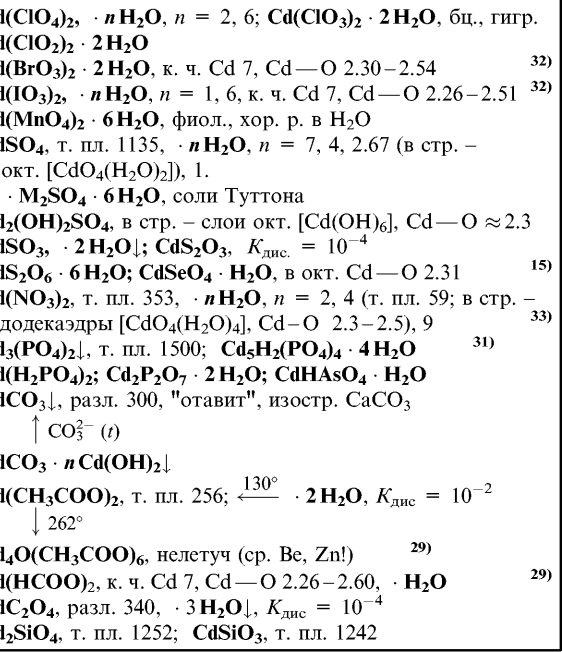
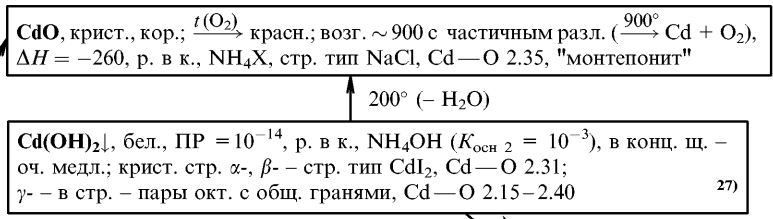
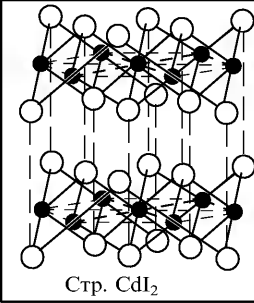
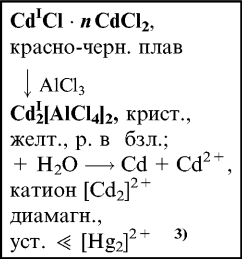
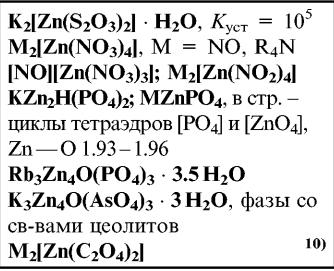
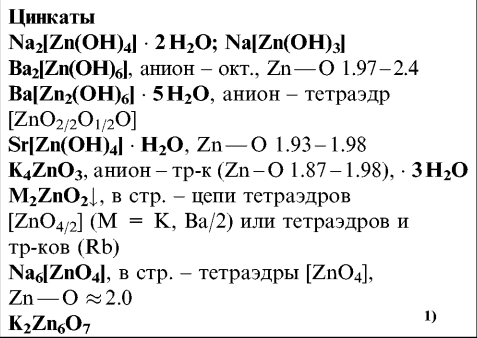
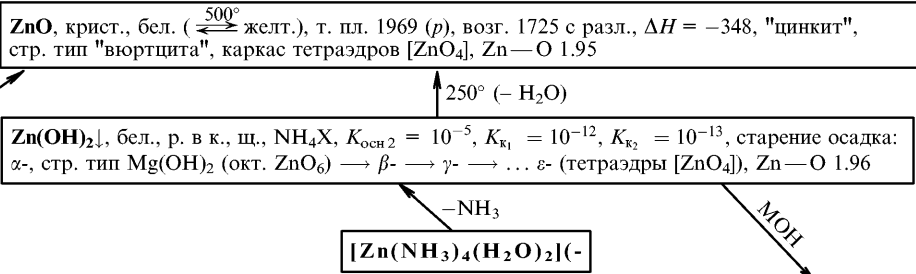
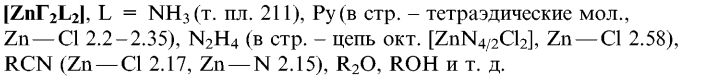
Zn	Cd
мет., бел., мягкие, блестящие	
<i>d</i> 7.14	8.65
хрупкий	ковкий
> 150° – тягучий	
> 200° – хрупкий	
т. пл. 419	321
т. к. 913	766
электропроводность	
в 16	в 13 раз > Hg
р. в разб. к., щ., NH ₄ OH	р. в разб. к.
<i>E</i> ₀ M ²⁺ /M _{тв} –0.76	–0.40
искаж. гексаг. пл. упак.	
<i>a</i> 2.66	2.97
<i>c</i> 4.94	5.61
M—M 2.66	2.97

Сплавы
Zn + Cu – латуни;
Zn + Fe – в антикорро-
зионных покрытиях;
Zn + 4% Al + 3% C +
+ 0.1% Mg – обладают
высокой механической
прочностью (типograф-
ские сплавы).
Легкоплавкие сплавы
на основе Cd



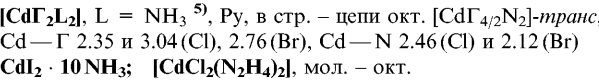
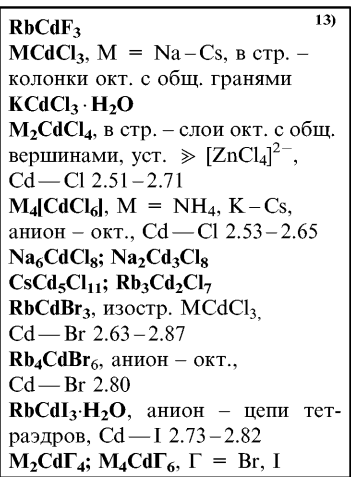
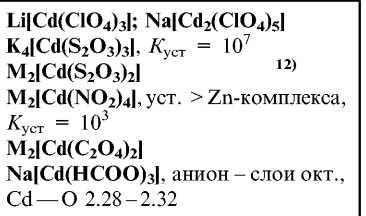
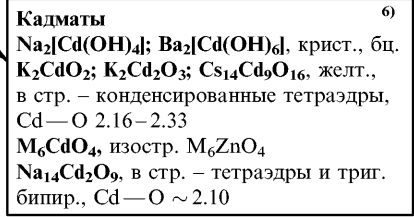
21)	т. пл.	т. к.	Δ <i>H</i>	стр. тип	Zn—Γ (г.)	· <i>n</i> H ₂ O, <i>n</i> =
ZnF ₂ ↓ ZnCl ₂	875 326 (β) 315 (α)	1502 733	–765 –414	рутила —	1.81 2.07	4 4, 3, 2.5, 1.5 (т. пл. 25), 1
ZnBr ₂ ZnI ₂	394 446	670 624	–327 –209	CdCl ₂ CdI ₂ и CdCl ₂	2.20 2.40	3, 2 2

крист., бц., оч. гигр.
В г. – линейные мол. ZnΓ₂; в стр. ZnCl₂ (α- и β-) – сетка искаж. тетраэдров, γ-ZnCl₂ изостр. HgI₂; в стр. ZnBr₂, ZnI₂ – каркас тетраэдров, Zn—Γ 2.41 (Br), 2.63 (I); ZnBr₂ · 2 H₂O = [Zn(H₂O)₆][ZnBr₆] – окт. и 2 тетраэдра с общ. ребром. ZnΓ₂ (Γ = Cl–I) оч. хор. р. в H₂O, сп., эф.



	т. пл	т. к.	Δ <i>H</i>	стр. тип	Cd—Γ (г.)	· <i>n</i> H ₂ O, <i>n</i> =
CdF ₂ ↓	1072	1753	–698	CaF ₂	1.97	2
CdCl ₂	568	964	–389	CdCl ₂	2.21	1–4
CdBr ₂	567	863	–314	CdCl ₂	2.37	2, 4
CdI ₂	388	754	–201	CdI ₂	2.55	—

крист., бц., CdΓ₂ р. в H₂O < ZnΓ₂, сл. электролиты, способные к автокомплексообразованию в р-ре: Cd²⁺ + 2[CdI₃][–] ⇌ 3 CdΓ₂ ⇌ 3[CdΓ]⁺ + 3Γ[–], 2 CdΓ₂ ⇌ Cd²⁺ + [CdΓ₄]^{2–}, р. в сп., ац. В г. – линейные мол. CdΓ₂; в гексаг. слоистой стр. CdI₂—[ICdI][ICd...], III слой Γ[–] повторяет I-й (гексаг. пл. упак. Γ[–], Cd²⁺ – в 1/2 окт. пустот); в ромбоэдрической стр. CdCl₂ – др. взаимная ориентация тройных слоев [ClCdClCdClCd][ClCd... – IV слой Cl[–] повторяет I-й (куб. пл. упак. Cl[–], Cd²⁺ – в 1/2 окт. пустот). В стр. CdΓ₂ · 4 H₂O –



$\text{Zn}(\text{CN})_2$ ↓, бел., разл. 800

$\text{Zn}(\text{NCS})_2$, крист., бц., в стр. – слои тетраэдров $[\text{ZnN}_4]$ и $[\text{ZnS}_4]$ ¹⁹⁾

$[\text{Zn}(\text{NCS})_2(\text{N}_2\text{H}_4)_2]$, мол. – окт.

ZnSO_4

BaS

MCN

$\text{M}_2[\text{Zn}(\text{CN})_4]$, анион – тетраэдр, $\text{Zn}—\text{C}$ 2.02, $K_{\text{уст}} = 10^{20}$
 $\text{K}[\text{Zn}(\text{CN})_3] \cdot 2.5 \text{H}_2\text{O} = \text{K}_2\text{Zn}[\text{Zn}(\text{CN})_6] \cdot 5 \text{H}_2\text{O}$, в стр. – окт. $[\text{ZnC}_6]$ и тетраэдры $[\text{ZnN}_4]$, в p-ре – $[\text{Zn}(\text{CN})_3]^-$
 $\text{K}_2[\text{Zn}(\text{NCS})_4] \cdot 3\text{H}_2\text{O}$, в анионе – тетраэдр $[\text{ZnN}_4]$, $K_{\text{уст}} = 10^3$ ⁷⁾

$\text{Cd}(\text{CN})_2$ ↓, крист., бц., разл. 200;

$[\text{Cd}(\text{CN})_2]_n \cdot m \text{H}_2\text{O} \cdot m \text{R}_2\text{O}$, $n = 3, 8$, клатраты ¹⁷⁾

$\text{Cd}(\text{SCN})_2$, крист., бц., в стр. – цепи 8-членных циклов $[\text{Cd}_2(\text{SCN})_2]$, в окт. $[\text{CdS}_4\text{N}_2]$ $\text{Cd}—\text{S}$ 2.7–2.8, $\text{Cd}—\text{N}$ 2.25 ¹⁷⁾

$[\text{Cd}(\text{SCN})_2(\text{N}_2\text{H}_4)_2]$, мол. – окт.

$\text{M}_2[\text{Cd}(\text{CN})_4]$, $K_{\text{уст}} = 10^{18}$

$\text{M}[\text{Cd}(\text{CN})_3]$

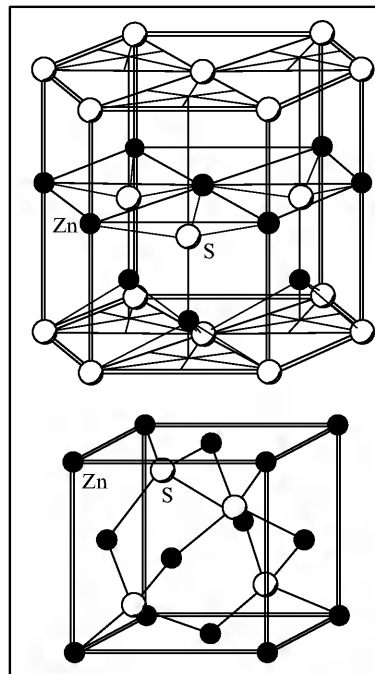
$\text{M}_2[\text{Cd}(\text{—SCN})_4]$, анион – искаж. окт.

$[\text{CdN}_2\text{S}_{4/2}]$, $\text{Cd}—\text{S}$ 2.67, $\text{Cd}—\text{N}$ 2.45,

$K_{\text{уст}} = 10^3$

$\text{M}[\text{Cd}(\text{SCN})_3]$, $\text{M} = \text{Rb}, \text{Cs}$, в стр. – цепи из чередующихся окт. $[\text{CdS}_2\text{N}_4]$ и $[\text{CdS}_4\text{N}_2]$ ($\text{M} = \text{Rb}$) или $[\text{CdS}_6]$ и $[\text{CdN}_6]$ ($\text{M} = \text{Cs}$)

$\text{Ba}_2[\text{Cd}(\text{—SCN})_6] \cdot 7 \text{H}_2\text{O}$, $\text{Cd}—\text{S}$ 2.71 ⁷⁾



ZnS ↓, бел., аморфный, $\text{PP} = 10^{-24}$, не р. в CH_3COOH , р. в HCl , пептизуется в H_2S ; $[\text{ZnS} + \text{BaSO}_4]$ – "литопон", краситель, не темнеет от H_2S

↓ H_2S (сухой)

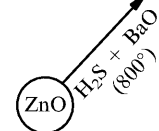
$\beta\text{-ZnS}$, "вюртцит", т. пл. 1900 (p), возг. 1185, $\Delta H = -192$, ат. одного сорта (Zn или S) образ. гексаг. пл. упак., ат. др. сорта – на 6 вертикальных ребрах, в центре образуемого ими шестигранника и на центральных вертикалях 3-х триг. призм, $[\text{ZnS}_4]$ и $[\text{SZn}_4]$ – тетраэдры.

↑ 1020°

$\alpha\text{-ZnS}$, "сфалерит" ("цинковая обманка"), $\Delta H = -205$, в куб. стр. алмаза 1/2 узлов занята ат. одного сорта, 1/2 – др. сорта; $[\text{ZnS}_4]$ и $[\text{SZn}_4]$ – тетраэдры. + Cu (следы) – фосфоресцирует; + MgS – светится при трении

Na_2ZnS_2 ; Na_6ZnS_4 – изостр. цинкатам, $\text{Zn}—\text{S}$ 2.34 ¹⁶⁾

$\text{M}^{\text{II}}\text{ZnS}_2$, $\text{M}^{\text{II}} = \text{Sr}, \text{Ba}$
 Ba_2ZnS_3 , в стр. – двояная цепь тетраэдров



CdS ↓, желт. $\xrightarrow{t, \text{H}^+}$ красн., $\text{PP} = 10^{-27}$, р. в конц. HCl , пептизуется H_2S ; крист., красн., т. пл. 1475 (10^6 Па), $\Delta H = -150$, α -, "гринокит", полупроводник, стр. тип вюртцита (ZnS); β -, "хоулит", стр. тип сфалерита

$\text{Zn}^{2+} \xrightarrow{\text{S}_2\text{O}_3^{2-} (-\text{S}_2\text{O}_6^{2-})} \text{Zn}[\text{S}_2] \downarrow$, бел., $\xrightarrow{120^\circ} \text{ZnS} + \text{S}$
 ZnSe , крист., желт., т. пл. 1575, возг. 2000, $\Delta H = -130$, "стиллит"
 ZnTe , красн., т. пл. 1239, $\Delta H = -121$; полупроводники

$\text{Zn/Hg} \xrightarrow{\text{KNH}_2 (\text{ж. NH}_3)} \text{Zn}(\text{NH}_2)_2$, порошок, бел., аморфный

$\text{Zn} \xrightarrow{\text{NH}_3 (600^\circ)} \text{Zn}_3\text{N}_2$, черн., $\Delta H = -21$; + $\text{H}_2\text{O} \rightarrow \text{Zn}(\text{OH})_2 + \text{NH}_3$
 $\text{Zn}(\text{N}_3)_2$, бц., взр., $\cdot 2.5 \text{H}_2\text{O}$, в стр. – окт. $[\text{ZnN}_4\text{O}_2]$, $\text{Zn}—\text{N}$ 2.14, $\text{Zn}—\text{O}$ 2.21 ⁹⁾
 Zn_3P_2 , т. пл. 420, т. к. 1100; Zn_3As_2 , т. пл. 1015
 ZnC_2 , ацетилд, крист., бел., + $\text{H}_2\text{O} \rightarrow \text{C}_2\text{H}_2$

$\text{K}_2[\text{Zn}(\text{NH}_2)_4]$; LiZnN

$\text{M}_2[\text{Zn}(\text{N}_3)_4]$, $\text{M} = \text{K}, \text{Cs}$ (т. пл. 206 и 153); $[\text{R}_4\text{N}] \text{Cs}_3[\text{Zn}_2(\text{N}_3)_7]$; $\text{Cs}[\text{Zn}_2(\text{N}_3)_5]$, т. пл. 171 и 210
 $\text{K}[\text{Zn}_3(\text{N}_3)_7]$, т. пл. 186, в стр. – тетраэдры $[\text{ZnN}_4]$, $\text{Zn}—\text{N}$ 1.88 и 2.17 ¹⁴⁾

$\text{Cd}(\text{NH}_2)_2$, порошок, бел., темнеет на возд
 ↓ 120°
 $\text{Cd}(\text{N}_3)_2$, желт., не взр., $\Delta H = +163$
 Cd_3N_2 , порошок, черн.

$\text{CdCO}_3 \xrightarrow{\text{MN}_3 (t)} \text{K}_2[\text{Cd}(\text{NH}_2)_4]$
 $\text{K}[\text{Cd}(\text{N}_3)_3] \cdot \text{H}_2\text{O}$
 $\text{K}_2[\text{Cd}(\text{N}_3)_4]$
 $\text{Ti}_8\text{Cd}_3(\text{N}_3)_{14}$, в окт. $[\text{CdN}_6]$
 $\text{Cd}—\text{N}$ 2.38 ¹⁸⁾

Cd_3P_2 , сер.; $\xleftarrow{t} \text{CdP}_2$, оранжев.

Cd_3As_2 , сер., т. пл. 721; CdAs_2

CdSb , т. пл. 456

CdC_2 ↓, ацетилд, + $\text{HCl} \rightarrow \text{C}_2\text{H}_2 \uparrow$

CdH_2 , порошок, бел., не р. в эф., разл. –20

$[\text{Cd}(\text{NH}_3)_6]\text{X}_2$, $\text{X} = \text{OH}, \text{Cl}, \text{SO}_4/2, \text{ReO}_4$

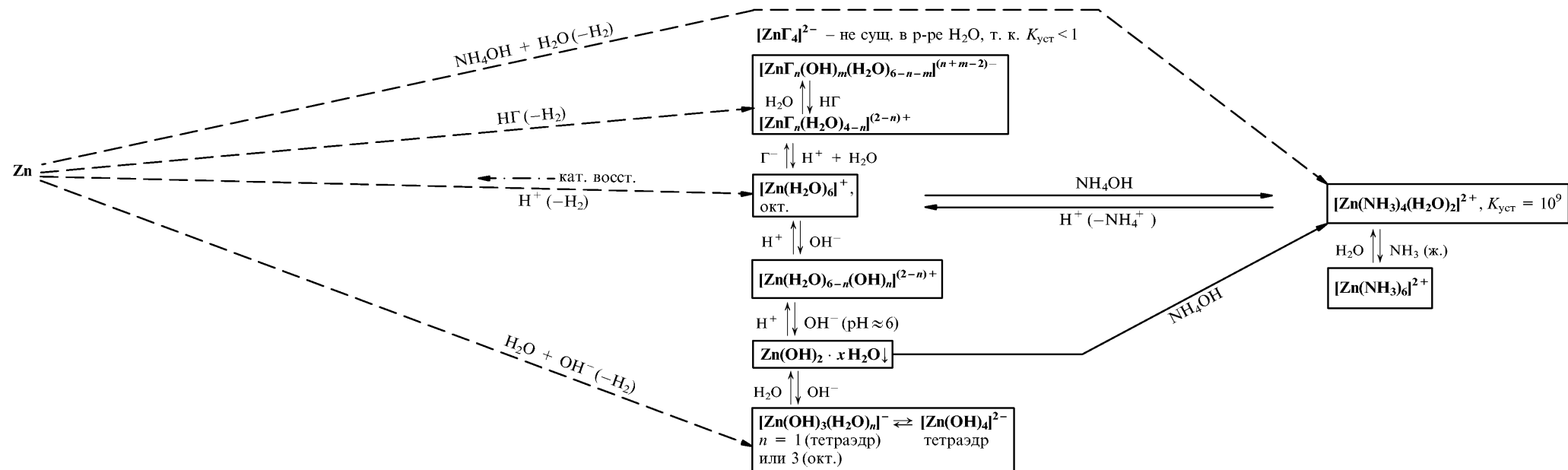
$[\text{Zn}(\text{NH}_3)_n]\text{X}_2$, $\text{X} = \text{OH}, \text{Cl}, \text{SO}_4/2, \text{ReO}_4$, $n = 2, 4, 6$

ИОНЫ ЦИНКА, КАДМИЯ И РТУТИ В ВОДНОМ РАСТВОРЕ

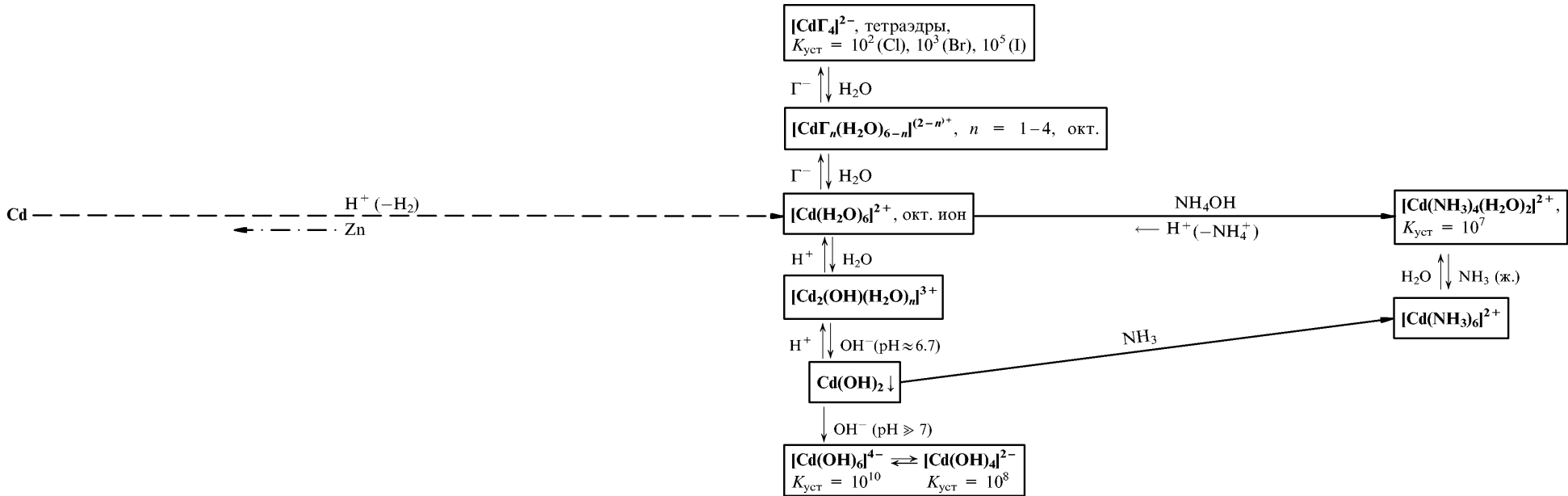
0

(все ионы бц.)

2 +

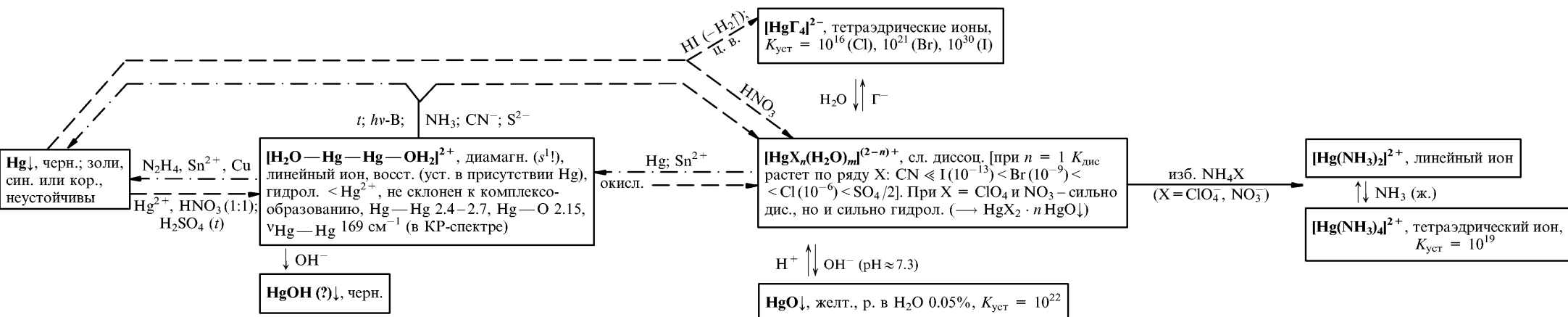


Cd



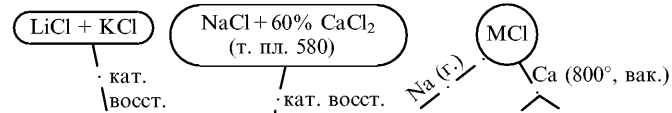
"1 +"

2 +



ЩЕЛОЧНЫЕ МЕТАЛЛЫ, ФРАНЦИЙ

Литий	Li^0	$2s$ ↓				3.0.
Натрий	Na^0	$3s$ ↓	$3p$		$3d$	1.0
Калий	K^0	$4s$ ↓	$4p$		$4d$	0.9
Рубидий	Rb^0	$5s$ ↓	$5p$		$5d$	0.8
Цезий	Cs^0	$6s$ ↓	$6p$		$6d$	0.8
Франций	Fr^0	$7s$ ↓	$7p$		$7d$	0.8



	Li	Na	K	Rb	Cs	Fr
мет., серебристо-бел.					золотистый	—
Твердость (алмаз – 10)	0.6	0.4	0.5	0.3	0.2	—
окисляются возд. с воспл.						—
d	0.54	0.97	0.86	1.52	1.90	2.46
т. пл.	180	97.8	64	39	28.7	23 (–90°)
т. к.	1337	886	776	696	705	669
$E_0 \text{M}^+/\text{M}_{\text{тв}}$	–3.04	–2.71	–2.92	–2.92	–2.92	—
$+ \text{H}_2\text{O} \rightarrow [\text{H}^\dagger]$; р. в ж. NH_3 (гол. р-ры), $[\text{M}(\text{NH}_3)_6] \rightleftharpoons [\text{M}(\text{NH}_3)_6]^{+} + [\text{e}(\text{NH}_3)_n]^{-}$ ("полярон"); $\rightarrow \text{MNH}_2 + \text{H}_2$ (Na – медл., Cs – мгнов.)						
р. в RNH_2 , R_3N				р. в Thf, диглиме ($< 10^{-4} \text{M}$, гол. р-ры)		
куб. стр. (тип $\alpha\text{-Fe}$)						
a	3.50	4.28	5.33	5.62	6.08	
$\text{M}—\text{M}$	3.10	3.80	4.70	4.96	5.34	
a	4.41	5.34				
в г. – одноатомные мол. и M_2 ($< 5\%$)						
$\text{M}—\text{M}$	2.67	3.08	3.93	4.32	4.55	
$\Delta H \text{M}_2$	–107	красн. –72	фиол. –49	оранж. –45	–44	

Амальгамы				
тв. или пастообразные в-ва, сильн. восст. В системах $\text{M}—\text{Hg}$ сущ. соединения со следующим соотношением $\text{M}:\text{Hg}$				
Li	Na	K	Rb	Cs
6:1 и*				
3:1 к	3:1 и (35°)			
2:1 и	5:2 и (66°)			
	3:2 и (119°)			
1:1 к	1:1 к (212°)	1:1 и		
	7:8 и (222°)		7:8 и	
			3:4 и	
1:2 и	1:2 к (345°)	1:2 к	1:2 к	1:2 к
1:3 и		1:3 и	2:7 к	
	1:4 и (136°)		5:18 и	1:4 к
		2:9 и	2:9 и	
			1:6 и	1:6 к
		1:9 и	1:9 и	1:10 и

[Li(NH₃)₄]
[LiDipy]; [MDipy] · 2.6 Thf, крист., темно-красн. (Na), св.-фиол. (K), окисл. на возд.
[NaPy₂], крист., темно-зел.

Образование Fr при радиоактивном распаде:
 $^{235}_{92}\text{U} \xrightarrow{\alpha} \dots \xrightarrow{\alpha} ^{227}_{89}\text{Ac} \xrightarrow{(1.2\%)} ^{223}_{87}\text{Fr} \xrightarrow{\beta^-, \alpha} \dots$ 21 мин.
Синтез:
 $^{238}_{92}\text{U} (p, 6p \ 21n) ^{212}_{87}\text{Fr}$ 19.3 мин.
Fr⁺ соосаждается с Cs⁺ в виде $\text{M}_3[\text{P}(\text{W}_{12}\text{O}_{40})] \cdot n \text{H}_2\text{O}$

Субокислы ⁹⁾
 Cs_4O разл. 10
 Cs_7O ж., бц., $d = 2.2$, т. пл. –4
 Cs_{11}O_3 крист., черн., $d = 6.21$, т. пл. 52, проводник
в стр. – кластеры $[\text{Cs}_{11}\text{O}_3]$, Cs—Cs 3.3–4.3
 Rb_6O ; Rb_9O_2 ; $\text{Rb}_7\text{Cs}_{11}\text{O}_3$; $\text{RbCs}_{11}\text{O}_3$, Rb—Rb 3.54–4.05

Оксиды, крист., гигр., возг. вак. (10^{-5}мм), стр. тип *анти*-CaF₂ (к. ч. M 4); стр. Cs₂O – типа *анти*-CdCl₂ (к. ч. Cs 3)

Li ₂ O	Na ₂ O	K ₂ O	Rb ₂ O	Cs ₂ O
бц.	бц.	желт.	желт.	оранж.
т. пл. 1570	—	740	—	495
т. к. 2600	—	—	—	—
разл. > 1000	400	—	400	300
ΔH –594	–418	–340	–331	–318

 $\xrightarrow{\text{O}_2 (t, \text{Li}-p)} \text{M}$
 \xrightarrow{t} окраска усиливается; \xrightarrow{t} M₂O₂ + M;
в г. – линейные(?) мол. (Li—O 1.60); **K[LiO]** ¹²⁾

Перекиси, крист., бц., гигр. (желт. из-за примеси MO₂), диамагн., O—O 1.50–1.54 (1σ-связь) ²⁾

Li ₂ O ₂	Na ₂ O ₂	K ₂ O ₂	Rb ₂ O ₂	Cs ₂ O ₂
т. пл. —	596	490	567	597
разл. 342	675	—	—	650
ΔH –636	–510	–494	–422	–402
· 2 H ₂ O · H ₂ O ₂	· 4 H ₂ O ₂	· 4 H ₂ O ₂	· 4 H ₂ O ₂	· 4 H ₂ O ₂
· n H ₂ O, n = 1, 2	· 4 H ₂ O · 2 H ₂ · O ₂ · 8 H ₂ O	—	—	—

В стр. K₂O₂ – куб. пл. упак. анионов, K—O 2.68–2.71;
+ H₂O → H₂O₂ + MOH; сильн. окисл.: + Fe \xrightarrow{t} M₂FeO₄;

Щелочи, крист., бц., возг. ≈ 400, р. в H₂O и сп. CsOH ≫ LiOH, р. в ж. NH₃, распл. реаг. со стеклом, (Pt + O₂); не р. Ag, Ni, Fe, летучи (кроме LiOH).

LiOH	NaOH	KOH	RbOH	CsOH
т. пл. 473	321	405	382	339
т. к. 925	1390	1320	—	—
разл. 600	> 2000	> 2000	—	—
ΔH –487	–428	–427	–414	–407
· H ₂ O	n = 7, 4 (т. пл. 7), 3.5 (16), 2 (13), 1 (64)	n = 4, 2, 1	n = 2 (т. пл. 310), 1	n = 3, 2, 1 (т. пл. 180, разл. 400), 0.5
$K_{\text{дис}}$ 1.5	3.4	5.1	—	—

В стр. LiOH (типа *анти*-PbO) – слои пирамид [(OH)Li_{4/4}], α-NaOH и α-KOH изостр. ТП-желт., к. ч. M и O 7; RbOH (4 формы) – слои тетраг. пирамид; CsOH – *анти*-ТП. В г. – димеры, $\xrightarrow{1000^\circ}$ MOH, линейные мол., M—O 2.18 (K), 2.30 (Rb), 2.40 (Cs); окисл. (t): + M → Na_nMO_m + H₂ (M = Ti–Mn); + Na → NaH + Na₂O. В стр. LiOH · H₂O – цепи тетраэдров [Li(OH)_{2/2}(H₂O)_{2/2}]; в стр. NaOH · 4 H₂O – триг. бипир. [NaO₃]; в стр. RbOH · H₂O – каркас кубов [RbO₈], Rb—O 3.05

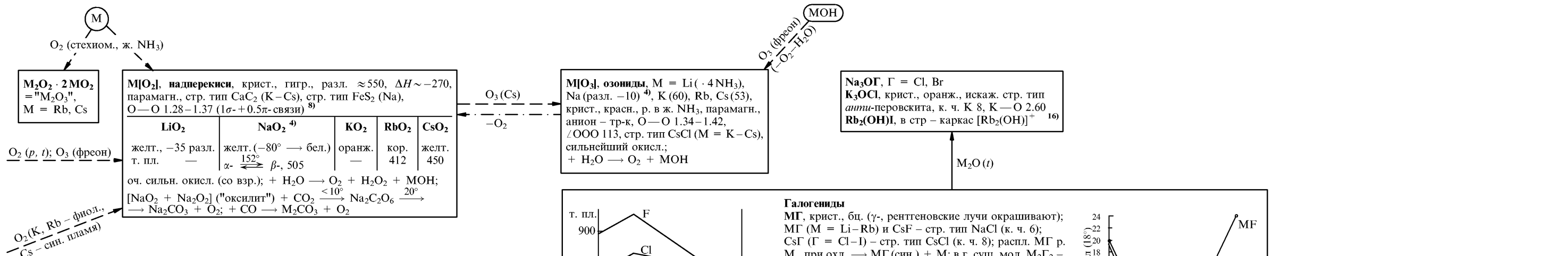
МClO₄, M = Li (т. пл. 247, разл. 500, хор. р. в сп., эф.; · 3 H₂O, т. пл. 95 с разл., р. в H₂O, сп., эф.; в стр. – ленты окт. [Li(H₂O)_{6/2}]), Na (т. пл. 482 с разл.; · H₂O, разл. 130, хор. р. в H₂O, сп.), K (т. пл. 610 с разл., р. в H₂O ≈ 1%), Rb↓ и Cs↓ (т. пл. ≈ 700 с разл.), Fr↓
МClO₃, M = Li (т. пл. 129, разл. 270; · 0.5 H₂O, т. пл. 65), Na (т. пл. 262), K ("бертолетова соль", т. пл. 368, разл. 400), Rb, р. в H₂O Li ≫ Cs
МBrO₃, M = Na (т. пл. 381), K (434, с разл.); Rb (т. пл. 430); Cs (т. пл. 420), р. в H₂O Na ≫ K–Cs
МIO₃, M = Li, Na, K (т. пл. 560), Rb, Cs, мало р. в H₂O; · n HIO₃
МIO₄, M = Na (разл. 300, · 3 H₂O), K↓ (т. пл. 582), Rb↓, Cs↓ (см. также Табл. "Галогены")

МHSO₄, M = Li (т. пл. 170), Na (186, · H₂O, т. пл. 58), K (210, "меркаллит"), Cs; · 0.5 H₂SO₄, M = Li, в стр. – пары тетраэдров [Li₂O₆], Li—O 1.86–2.01 ¹⁴⁾, Na
· n H₂SO₄, (n = 1, M(H₃O)(HSO₄)₂), n = 2, 3, M = Na, K, Cs ¹⁴⁾
Li₂SO₄, т. пл. 860; · H₂O, оч. хор. р. в H₂O, ΔH р. > 0;
· M₂SO₄, M = Na, K, NH₄; · 2 M₂SO₄ · 9 H₂O, M = Na, K
Na₂SO₄, т. пл. 884, т. к. 1430, "тенардит", ΔH р. > 0; · n H₂O, n = 7 (метастаб.), 10 ("мирабилит", "глауберова соль"), ΔH р. < 0; разл. 32.4 (–10 H₂O)
M₂SO₄, M = K (т. пл. 1076, т. к. > 2000), Rb (т. пл. 1066), Cs (т. пл. 1019, возг. 900); летучесть Li > Na < K < Rb < Cs, в г. – мол. M₂SO₄ (M = K–Cs), ΔH р. < 0
· M^{III}(SO₄)₃ · 24 H₂O = [M^I(H₂O)₆] · [M^{III}(H₂O)₆](SO₄)₂, M^{III} = Al, V–Co и т. д., "квасцы", крист., куб., ΔH р. ≪ 0, р. K ≫ Cs
· M^{II}SO₄ · 6 H₂O, M^I = Na–Cs, Tl, NH₄, M^{II} = Mg, Mn–Zn, Cd, соли Туттона ("шениты")
K₂SO₄ · MgSO₄ · 2 CaSO₄ · 2 H₂O, "полигалит"
M₂SO₃; M₂S₂O₈; M₂S_nO₆ и т. д. (см. Табл. "Сера")
M₂S₂O₇, M = Li (т. пл. 205), Na (405), K (440), Rb (401), Cs (280)

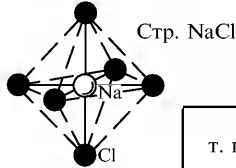
MNO₃, M = Li (т. пл. 261, разл. 475; · 3 H₂O), Na (т. пл. 308, разл. 380, "чилийская селитра"), K (т. пл. 334, "калийная селитра"), Rb (т. пл. 313; · n HNO₃, n = 1; 2), Cs (т. пл. 414, разл. 585; · n HNO₃, n = 1 и 2, т. пл. 104 и 39); р. в H₂O Li ≫ Cs, р. в ж. NH₃, в г. сущ. мол., стр. аналоги HNO₃, Li—O 1.60, N—O 1.40 и 1.22; ∠LiON 105, ∠ONO 134;
 \xrightarrow{t} MNO₂ + O₂
MNO₂; M₂N₂O₄; M₂N₂O₃ и т. д. (см. Табл. "Азот")

M₃PO₄, M = Li↓ (т. пл. 837; · n H₂O, n = 1/2, 12↓), Na (1340; · n H₂O, n = 10, 12), K (1340)
MH₂PO₄, M = Li (разл. 100), Na (разл. 200; · n H₂O, n = 1, 2), K (т. пл. 253 с разл.); **MH₅(PO₄)₂**, M = K–Cs ¹¹⁾
M₂HPO₄, M = Li (разл. 100), Na (· n H₂O, n = 2, 7, 12), K
Li(Mn,Fe)PO₄, "литгифилит", "трифилит"
LiAl(PO₄)(F,OH), "амблигонит"
MPO₃; MH₂PO₂; M₂HPO₃; M₄P₂O₇; Rb₂H₂P₂O₇ · 1/2 H₂O ¹⁵⁾ и т. д. (см. Табл. "Фосфор")
M₃[P(Mo₁₂O₄₀)], M = Li–Na (р. в H₂O), K–Cs↓
M₄[Si(W₁₂O₄₀)], M = K–Cs↓ (используют для выделения Rb и Cs)
M[Sb(OH)₆], M = Li, Na↓, K
M₃SbΓ₆, Γ = Cl, Br, M = Li, Na (р. в H₂O), K–Fr↓
MBi₄, M = K–Cs↓

MHCO₃, M = Li (разл. ≈ 0, сущ. в р-ре), Na (разл. 160, "нахколит"), K (разл. 100, "калининит"), Rb (· H₂O), Cs (разл. 175), р. в H₂O Cs ≫ Na
Na₂CO₃, крист., гигр., M = Li↓ (т. пл. 735, р. в присутствии др. M₂CO₃), K ("поташ", · n H₂O, n = 2, 1.5; · CaCO₃, "ферчидит"), Rb (т. пл. 873, разл. 900, · H₂O), Cs (разл. 610), р. в H₂O Cs ≫ Li
MHC₄H₄O₆, гидротартраты, M = Li, Na (р. в H₂O); NH₄, K–Fr↓ (р. в к. и щ.); **M₂C₄H₄O₆**, тартраты, хор. р. в H₂O
MZn(UO₂)₃(CH₃COO)₉ · 6 H₂O, M = Li↓, Na↓, крист., желто-зел.
RCOOM, M₂C₂O₄, MNCO, MNCS и т. д., см. Табл. "Углерод"
RbH(CH₃COO)₂; Cs₃H₅(CH₃COO)₈ ¹⁰⁾



M_2SiO_3 , M = Li↓, Na ("ж. стекло"), K–Cs (см. Табл. "Кремний")
 $LiAlSiO_3I_2$, "сподумен" ("пироксен")
 $KLi_3Al[Si_2O_5]_2(F,OH)_2$, "лепидолит" (слода, содержит Rb и Cs)
 $(Cs,Na)Al(SiO_3)_2 \cdot nH_2O$, "поллцит" (единственный минерал Cs)
 $KNaLi_4Al_4Be_3[B_{10}O_{27}]$, "родидит" (содержит Cs)
 $KLiFeAl[AlSi_3O_{10}](F,OH)_2$, "циннвальдит" (содержит Rb)



	т. пл.	т. к.	ΔH	Li—Г		μ (г.)
				(г.)	(тв.)	
LiF ↓, р. в HF	870	1724	–611	1.56	2.01	6.33
LiCl , · H_2O	614	1397	–406	2.02	2.56	7.13
LiBr , · $2H_2O$	550	1310	–352	2.17	2.75	6.19
LiI , · $3H_2O$	449	1190	–272	2.39	3.00	6.25
разл. 73	—	—	—	—	—	—

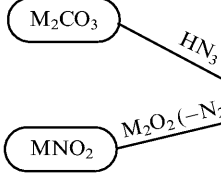
	т. пл.	т. к.	ΔH	Na—Г	
				(г.)	(тв.)
NaF , "виллиомит"	997	1785	–569	1.93	2.31
NaHF₂	—	—	—	—	—
NaCl , "галит"	801	1465	–410	2.36	2.81
· $2H_2O$	разл. < 0°	—	—	—	—
NaBr	755	1392	–360	2.50	2.98
· $2H_2O$	—	—	—	—	—
NaI	662	1304	—	2.71	3.23
· $2H_2O$	—	—	—	—	—

	т. пл.	т. к.	ΔH	K—Г		μ (г.)
				(г.)	(тв.)	
KF , "кароббит"	857	1502	–565	2.17	2.67	8.62
· $2H_2O$	41	—	—	—	—	—
KHF₂	239	—	—	—	—	—
KCl , "сильвин"	776	1407	–434	2.67	3.14	10.27
KBr	735	1383	–393	2.82	3.29	10.41
KI	686	1330	–327	3.05	3.53	11.05
K[I₃] , син.	45	разл. 225	—	—	—	—

	т. пл.	т. к.	Rb—Г	
			(г.)	(тв.)
RbF , · nH_2O , $n = 3, 3/2$, · nHF , $n = 1, 2, 3$	798	1408	2.27	2.82
—	—	—	—	—
—	726	1395	2.79	3.27
RbCl	682	1352	2.94	3.43
RbBr	140 разл.	—	—	—
Rb[Br₃]	—	—	—	—
RbI	642	1304	3.18	3.66
Rb[I₃]	190	—	—	—
Rb[I_n] , $n = 7, 9$, крист., бур.	—	—	—	—

	т. пл.	т. к.	ΔH	Cs—Г		μ (г.)
				(г.)	(тв.)	
CsF , · nH_2O , $n = 2/3, 1/5$	684	1253	–531	2.34	3.00	7.88
—	—	—	—	—	—	—
—	—	—	—	—	—	—
· HF	—	—	—	—	—	—
CsCl	646	1295	–431	2.91	3.56	10.42
CsBr	638	1297	–410	3.07	3.72	—
Cs[Br₃]	180	—	—	—	—	—
CsI	622	1280	—	3.31	3.95	10.2
Cs[I₃]	207	—	—	—	—	—

$MBiCl_4$; M_2BiCl_5 ; M_3BiCl_6 ; $Rb_3Bi_2Cl_9$; Cs_4BiCl_7 , используются для разделения M^I и выделения Rb и Cs⁵⁾
 $M_2[SiF_6]$, M = Li (· 2 H_2O , разл. 100, хор. р. в H_2O , сп.),
Na↓ ("маллардит"), K↓ ("тиератит"), Rb↓, NH_4 ,
Cs (оч. хор. р. в H_2O); \xrightarrow{t} MF + SiF_4
 $M_2[SnCl_6]$, M = Li, Na (р. в H_2O), K–Cs↓
 $M_2O \cdot nB_2O_3$, см. Табл. "Бор"
 $M[BF_4]$, M = Na (т. пл. 384, хор. р. в H_2O , "ферручит"),
K↓ (т. пл. 530),
 $(K,Cs)[BF_4]$, "авагадрит"
 $M[BPh_4]$, M = Li, Na (р. в H_2O), K–Cs↓
 $M_3Co(NO_2)_6$, крист., желт., M = Li, Na (р. в H_2O),
 NH_4 ↓, K–Fr↓
 M_3PtCl_6 , крист., желт., M = Li, Na (р. в H_2O), NH_4 ,
K–Fr (мало р. в H_2O , не р. в сп.)



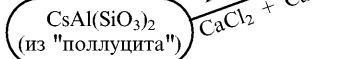
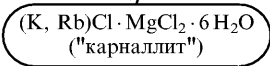
M_2S , крист., бц., гигр., хор. р. в H_2O , сп., сильно гидрол.;
+ $O_2 + H_2O \rightarrow M_2S_2O_3 + MOH$

	Li_2S	Na_2S	K_2S	Rb_2S	Cs_2S
т. пл.	950	1180	840 (?)	—	—
ΔH	–448	–373	–426 (?)	–348	–339
		· $9H_2O$	· $5H_2O$	· $4H_2O$	· $4H_2O$
		т. пл. 50	60	разл. 200	—

стр. тип *анти*- CaF_2 ⁶⁾

MHS, M_2S_n (См. Табл. "Сера")

MN_3 , крист., бц., \xrightarrow{t} M (высокой чистоты) + N_2 (без взр.);
 $\Delta H = +21$ (Na), –1 (K), –10 (Cs), хор. р. в H_2O и сп.;
+ $CS_2 \rightarrow KS(CSN_3)$; + $I_2 \rightarrow KI + N_2$
↓ (t, вак., – N_2)
 M_3N , крист., рубиново-красн., M = Li (т. пл. 845, $\Delta H = -47$),
Na (разл. 200), K–Cs (взр.); + $H_2O \rightarrow NH_3 + MOH$
↓ H_2
 Li_2NH , имид, крист., бц., стр. тип *анти*- CaF_2
↓ H_2
 MNH_2 , крист., бц. или св.-зел., т. пл. 390 (Li), 210 (Na), 338 (K),
309 (Rb), 261 (Cs), возг. ≈ 400 ; р. в ж. NH_3 ;
ж. $\rightleftharpoons M^+ + [NH_2]^-$; + $H_2O \rightarrow MOH + NH_3$;
хим. акт. $CsNH_2 \gg LiNH_2$ (См. Табл. "Азот")

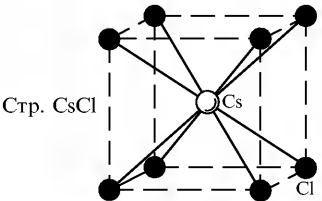


Гидриды, крист., бел., гигр., не р. в ж. NH_3 и орг. р-рителях, стр. тип NaCl

	LiH	NaH	KH	RbH	CsH
т. пл.	691	≈ 800	≈ 400	≈ 400	≈ 400 (р H_2 , Na–Cs)
ΔH	–91	–56	–57	–54	–56
M—H	2.04	2.44	2.85	3.02	3.19

ж. $\rightleftharpoons M^+ + H^-$, в г. – мол. MH (Li—H 1.60), $\mu_{LiH} = 5.88$, оч. сильн. восст.;
+ $H_2O \rightarrow H_2 + MOH$; + $CO_2 \rightarrow HCOOM$; хим. акт. $CsH \gg LiH$

MHC_2 , M = Na, K, **гидроацетилены**
↓ 200° (– C_2H_2)
 M_2C_2 , ацетилены, M = Li ($\Delta H = -58$), Na, K, крист., бц., хим. оч. акт.,
воспл. в атм. CO_2 , SO_2 ; + $H_2O \rightarrow MOH + C_2H_2\uparrow$ (взр.)
Силициды
 Li_4Si , т. пл. 633 с разл., $\rightarrow Li_2Si$, сине-фиол., т. пл. 752
 MSi , M = Na–Cs, крист., оч. гигр.; + $H_2O \rightarrow$ взр.; \xrightarrow{t} **MSi_8** , M = K–Cs
MOR, алкоголяты, крист., бц., оч. гигр., хор. р. в ROH (LiOR–t р. в эф.,
бзл., C_nH_m), в р-рах дис.;
+ $H_2O \rightleftharpoons MOR + ROH$; стр. аналоги LiOH (M = Li, Na, R = Me, к. ч. 4)
или α -KOH (K–Cs, Me, к. ч. 5)
· **$nROH$** , $n = 2$ (Li, Me, Et), 5, 4, 3 (Na, Me), 3, 2 (Na, Et, *n*-, *i*-Pr, *n*-, *i*-Bu);
5, 3, 1 (K, Me); 1 (K, Et), 7, 5, 2, 1 (Rb, Cs, Me), 1 (Cs, Et, Pr)^{3,7)}
 $[MOBu-t]_4$, M = K–Cs – кубаноподобные тетрамеры, к. ч. 3 (триг.
пирамида); к-ры р-ций полимеризации, конденсации, восст. C=O
"**MCO**" = (MOC \equiv)₂ (См. Табл. "Углерод")

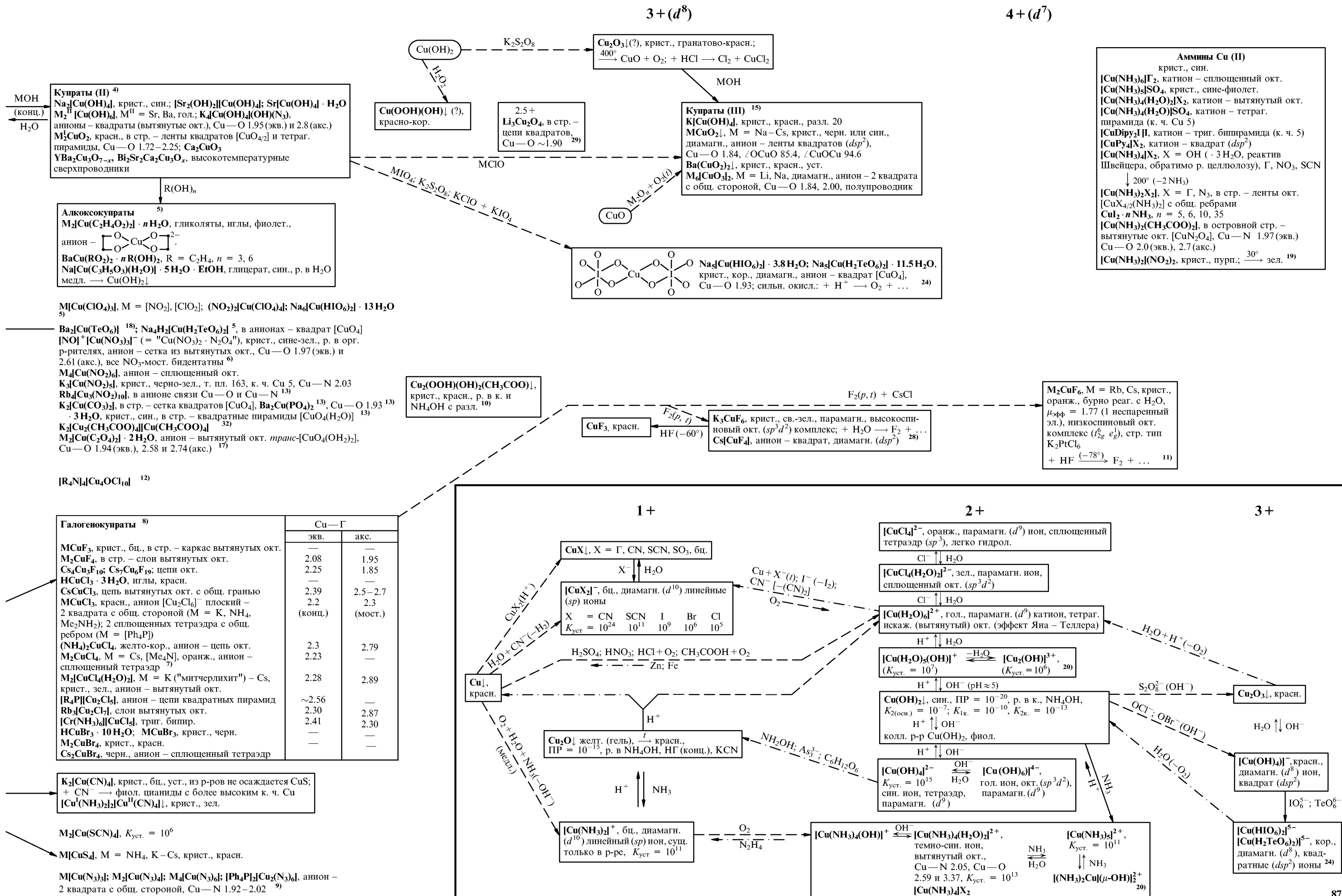


Cu⁰

3d	4s	4p	4d
$\uparrow\downarrow$ $\uparrow\downarrow$ $\uparrow\downarrow$ $\uparrow\downarrow$ $\uparrow\downarrow$	$\uparrow\downarrow$		

3.0.
1.8

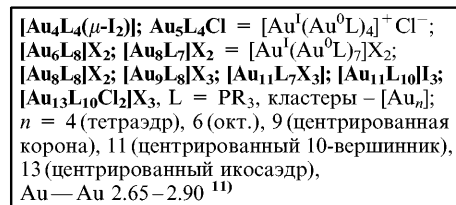
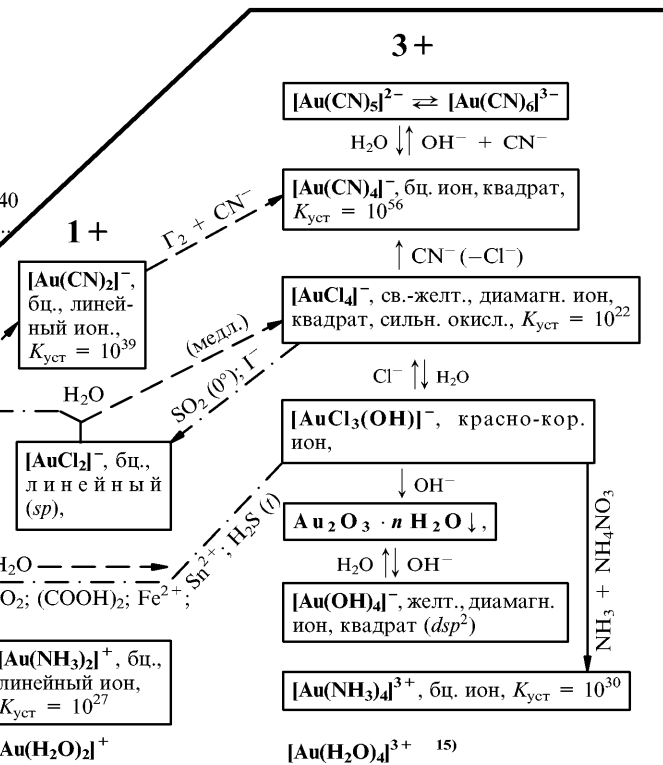
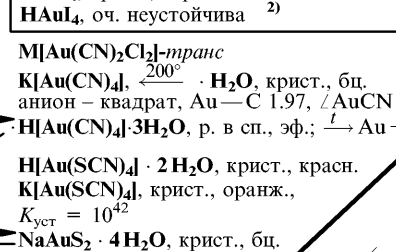
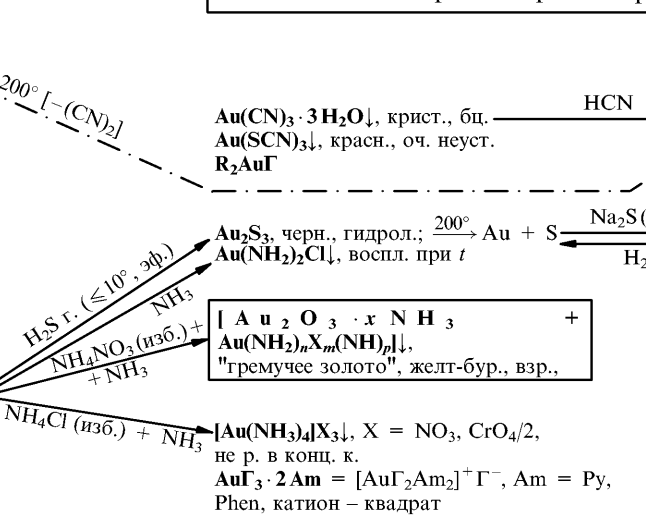
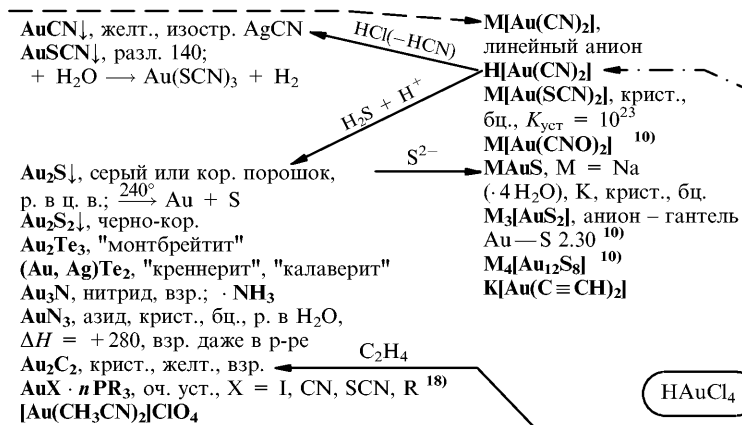
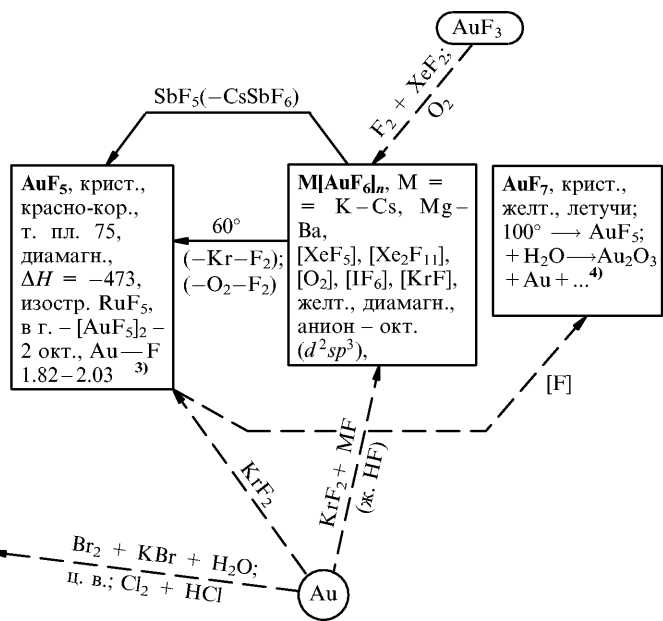
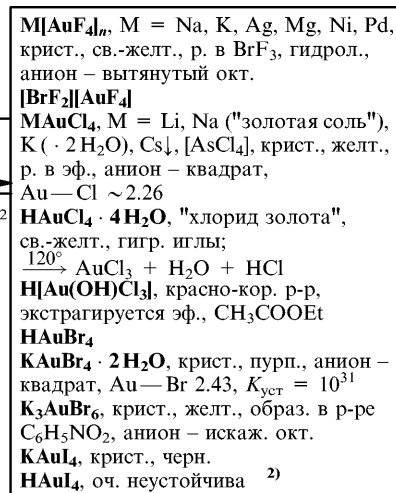
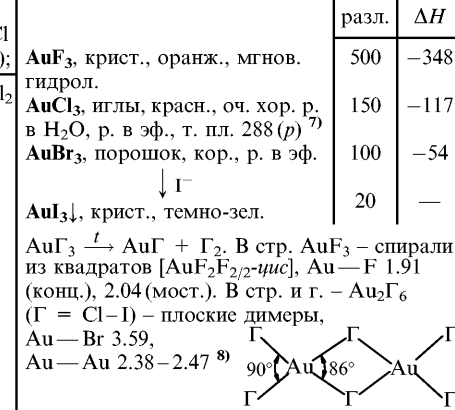
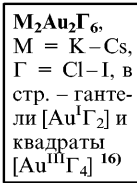
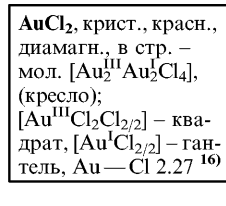
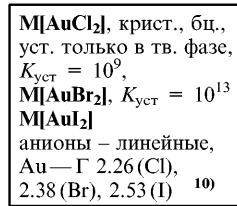
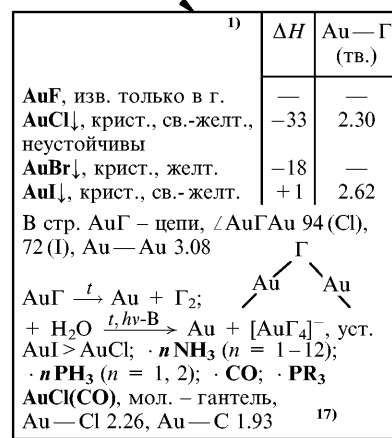
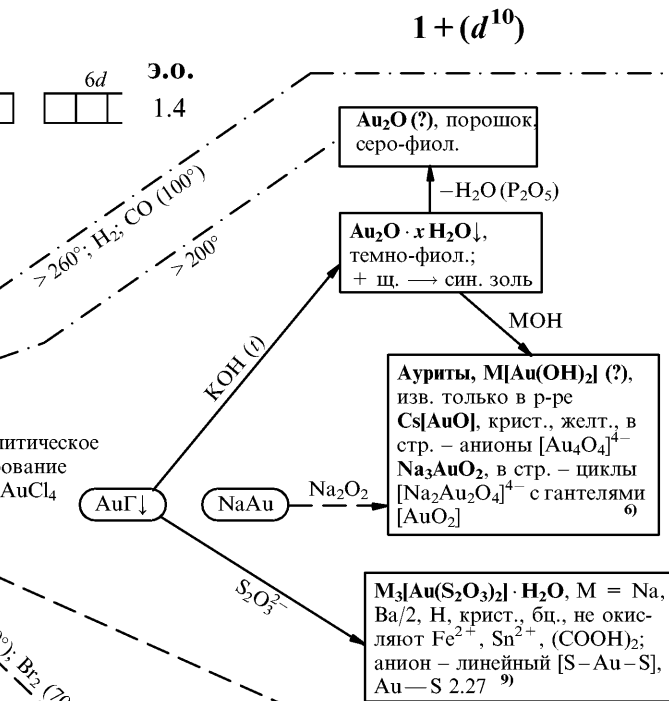
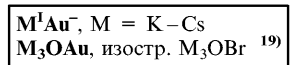
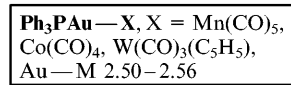
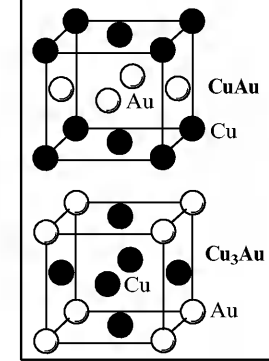
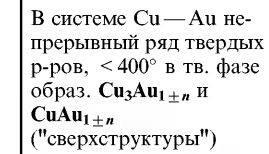
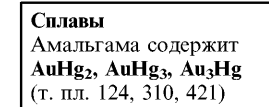
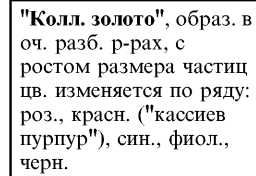
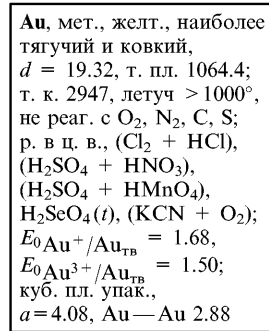
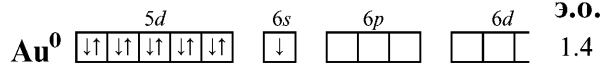




Ag⁰ 4d 5s 5p 5d 3.0. 1.4

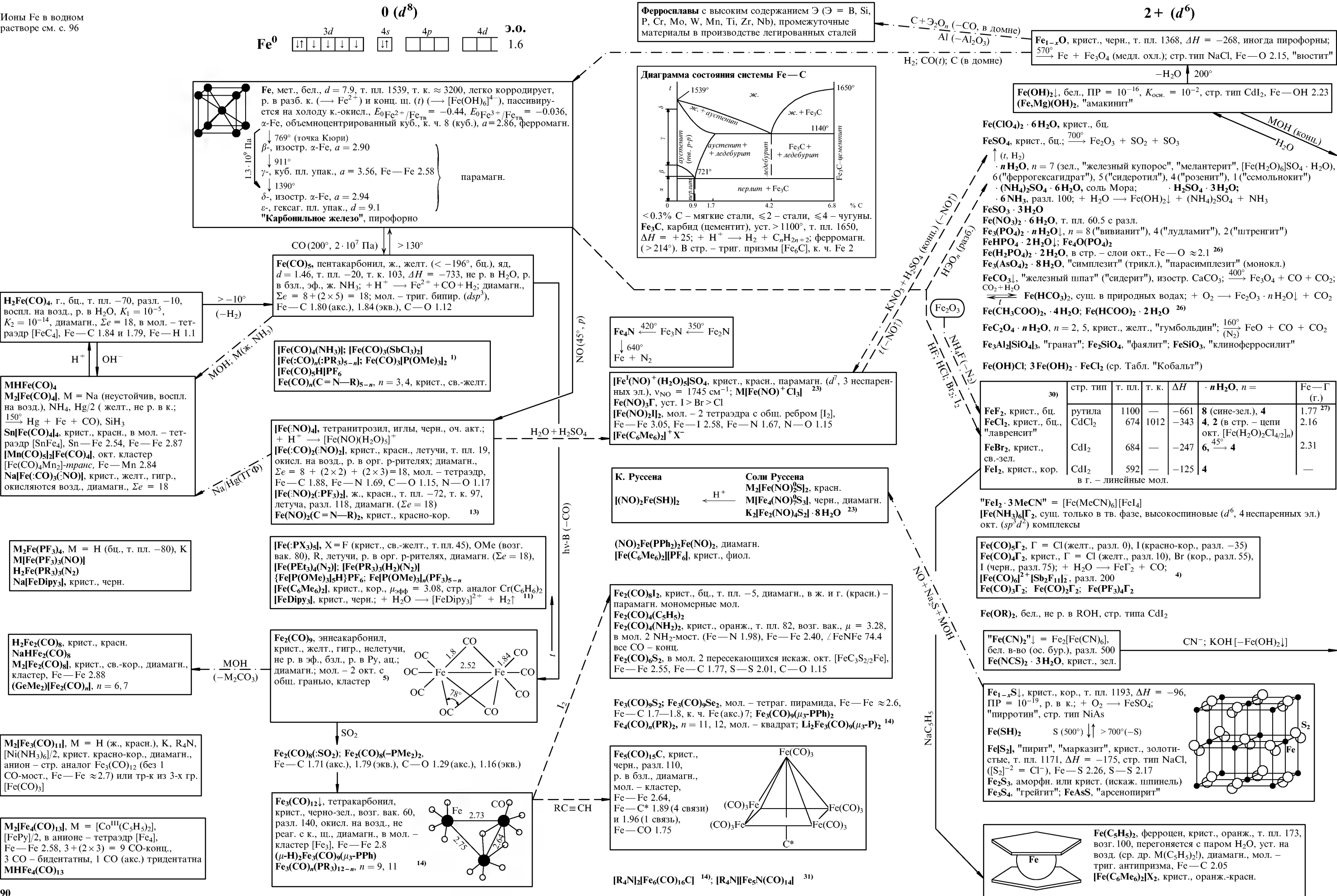


ЗОЛОТО



ЖЕЛЕЗО

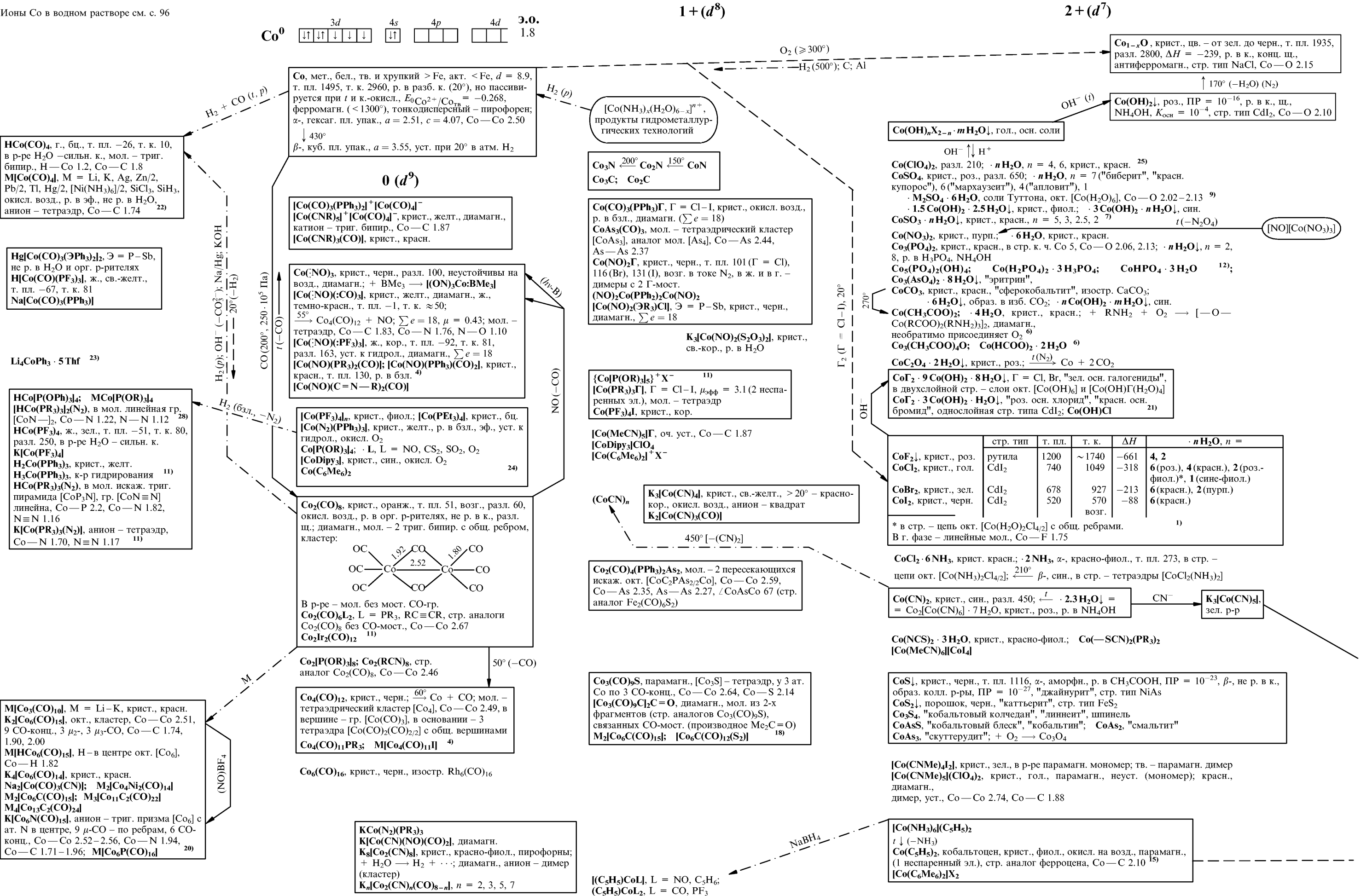
Ионы Fe в водном растворе см. с. 96





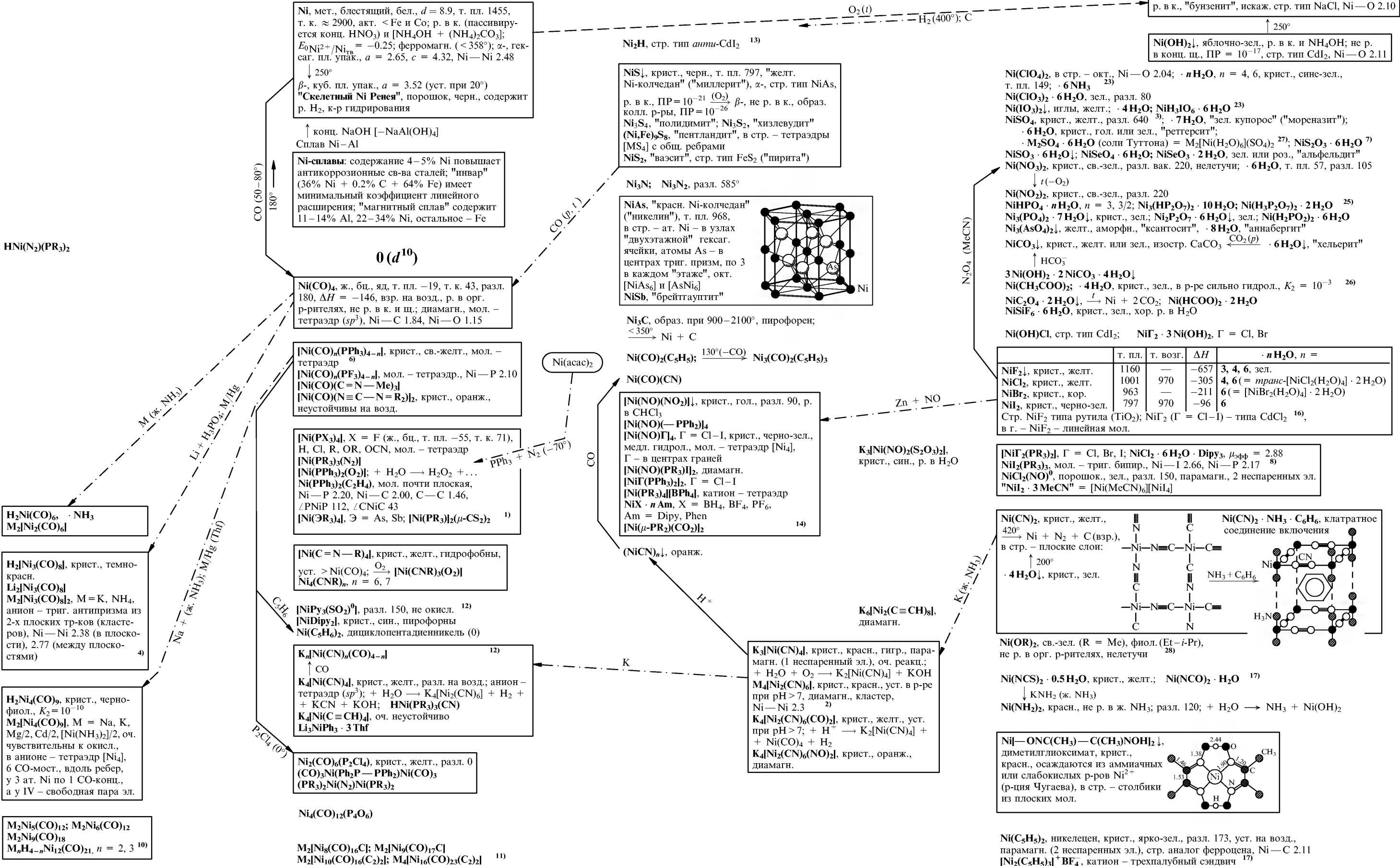
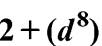
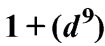
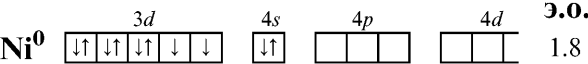
КОБАЛЬТ

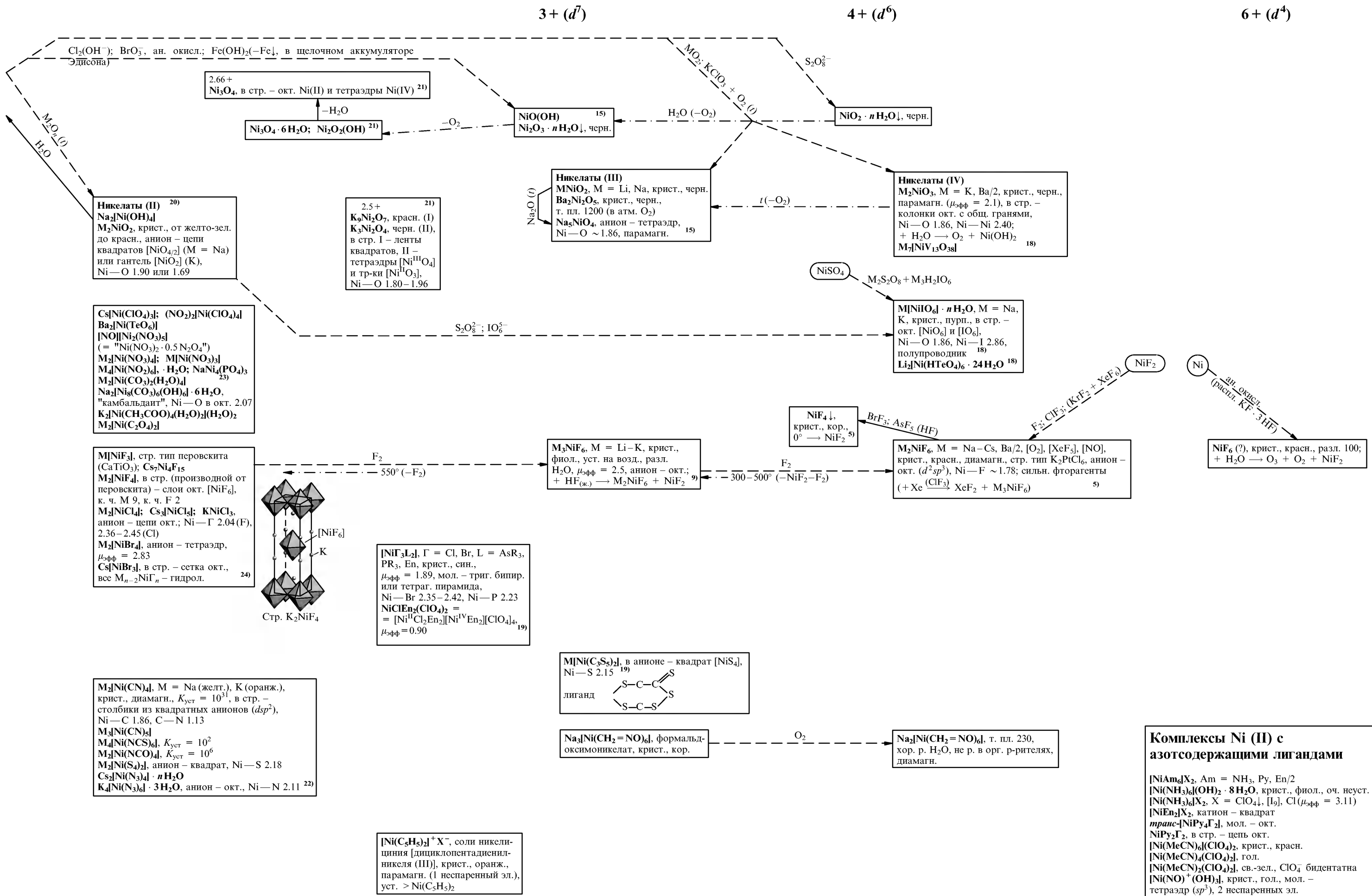
Ионы Co в водном растворе см. с. 96



НИКЕЛЬ

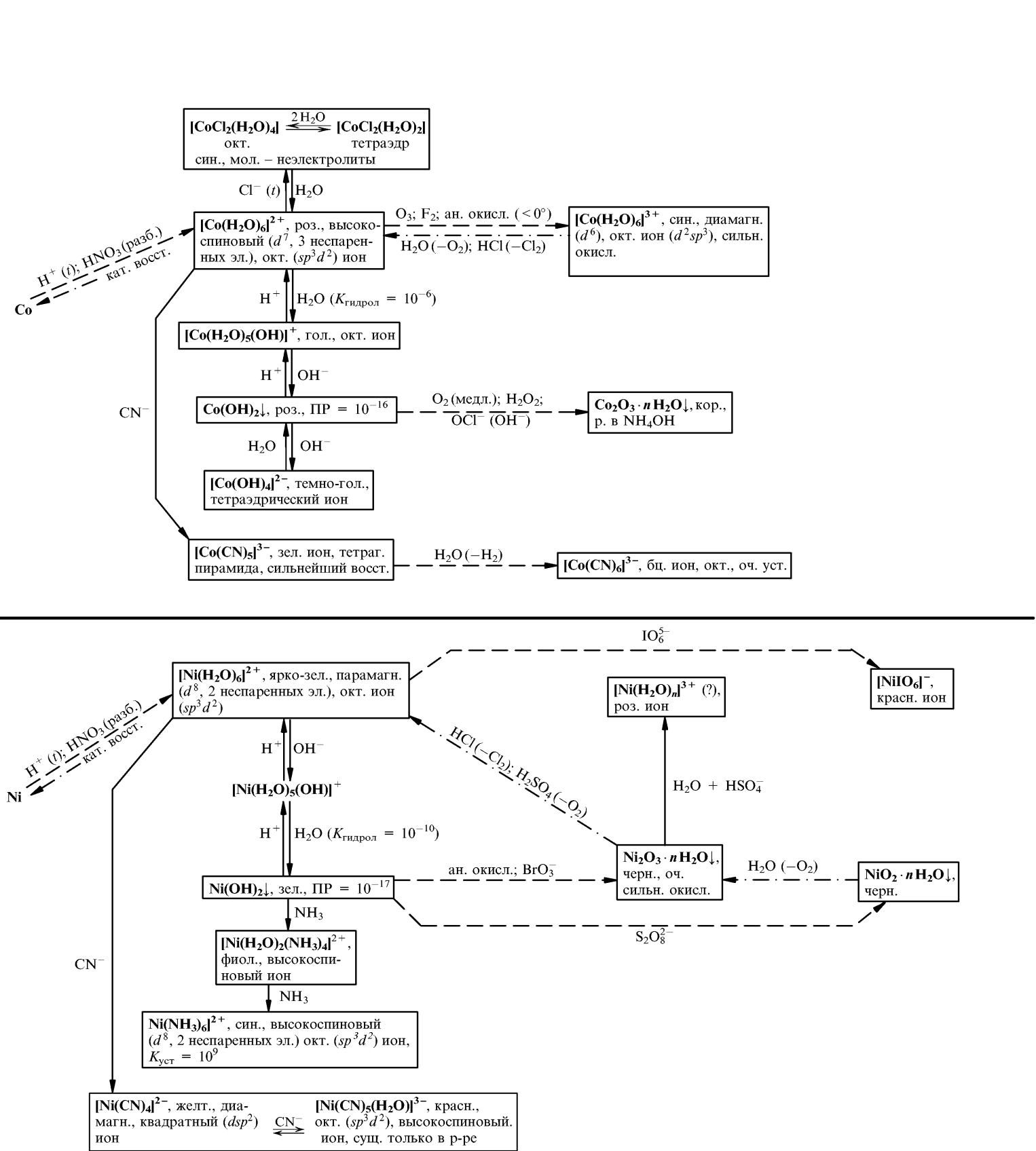
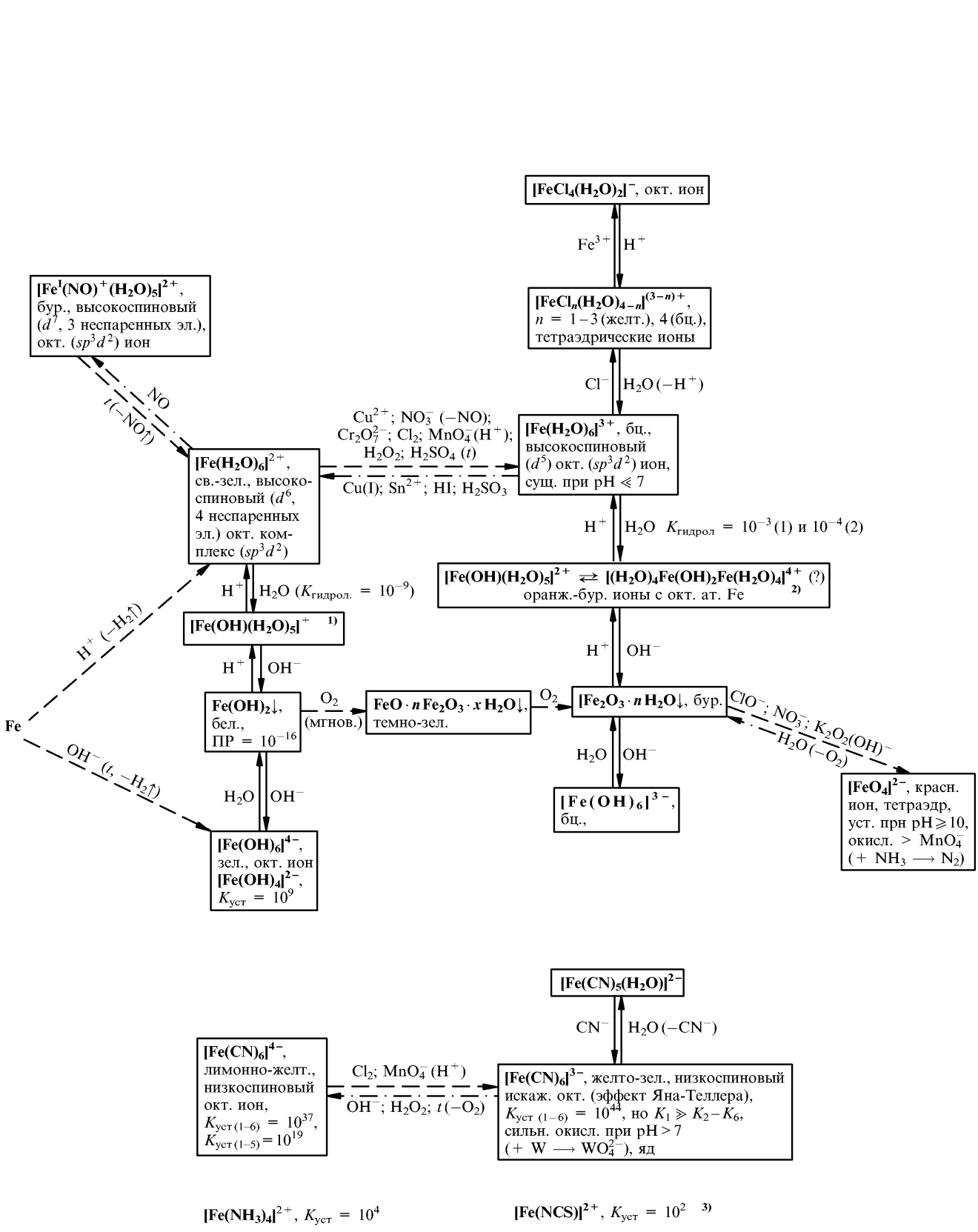
Ионы Ni в водном растворе см. с. 96





ИОНЫ ЖЕЛЕЗА, КОБАЛЬТА И НИКЕЛЯ В ВОДНОМ РАСТВОРЕ

0 1+ 2+ 3+ 6+ 0 2+ 3+ 4+



ИОНЫ РУТЕНИЯ И ОСМИЯ В ВОДНОМ РАСТВОРЕ

0

2+

3+

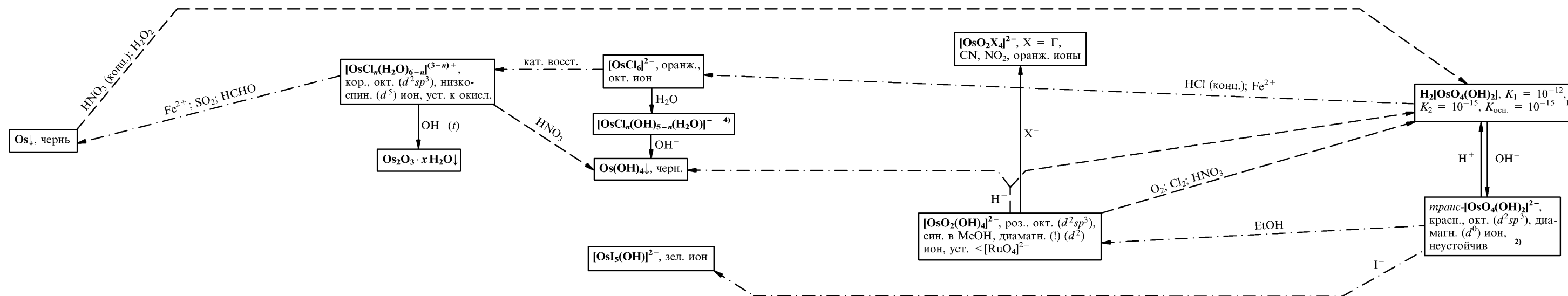
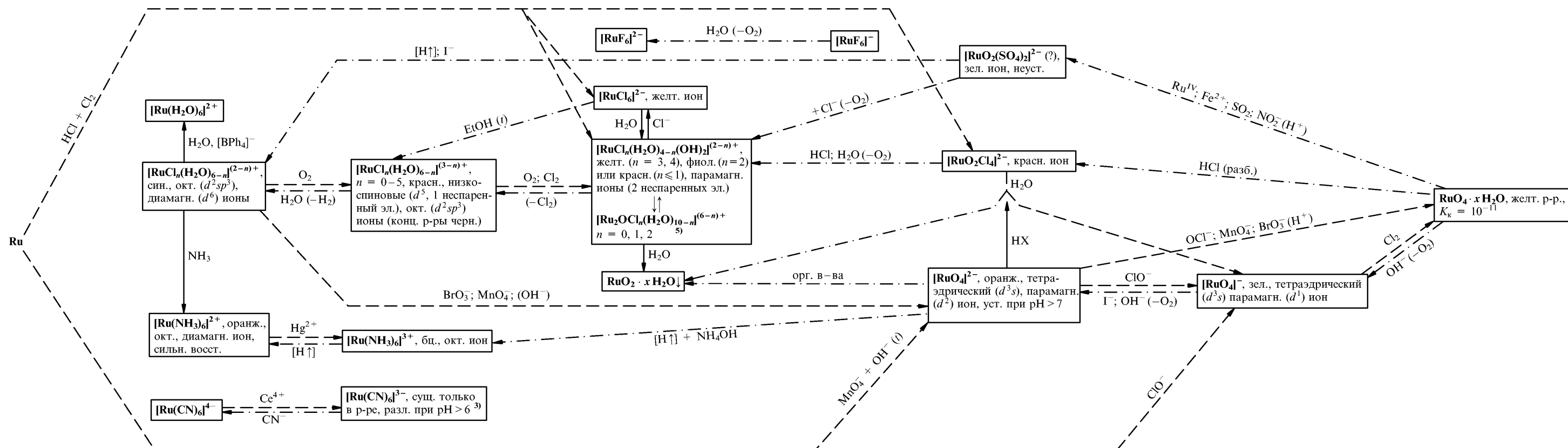
4 +

5 +

6+

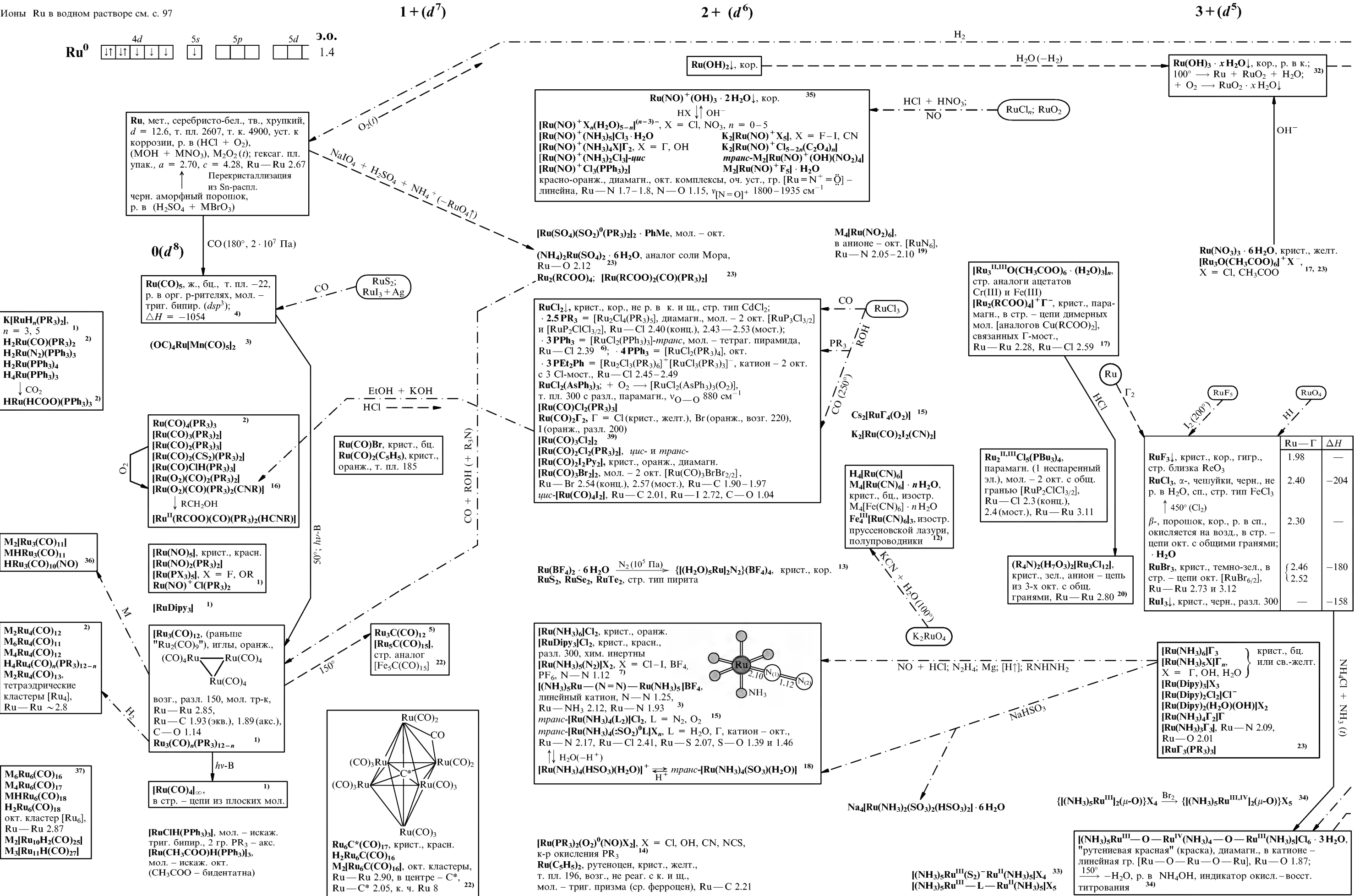
7+

8+



РУТЕНИЙ

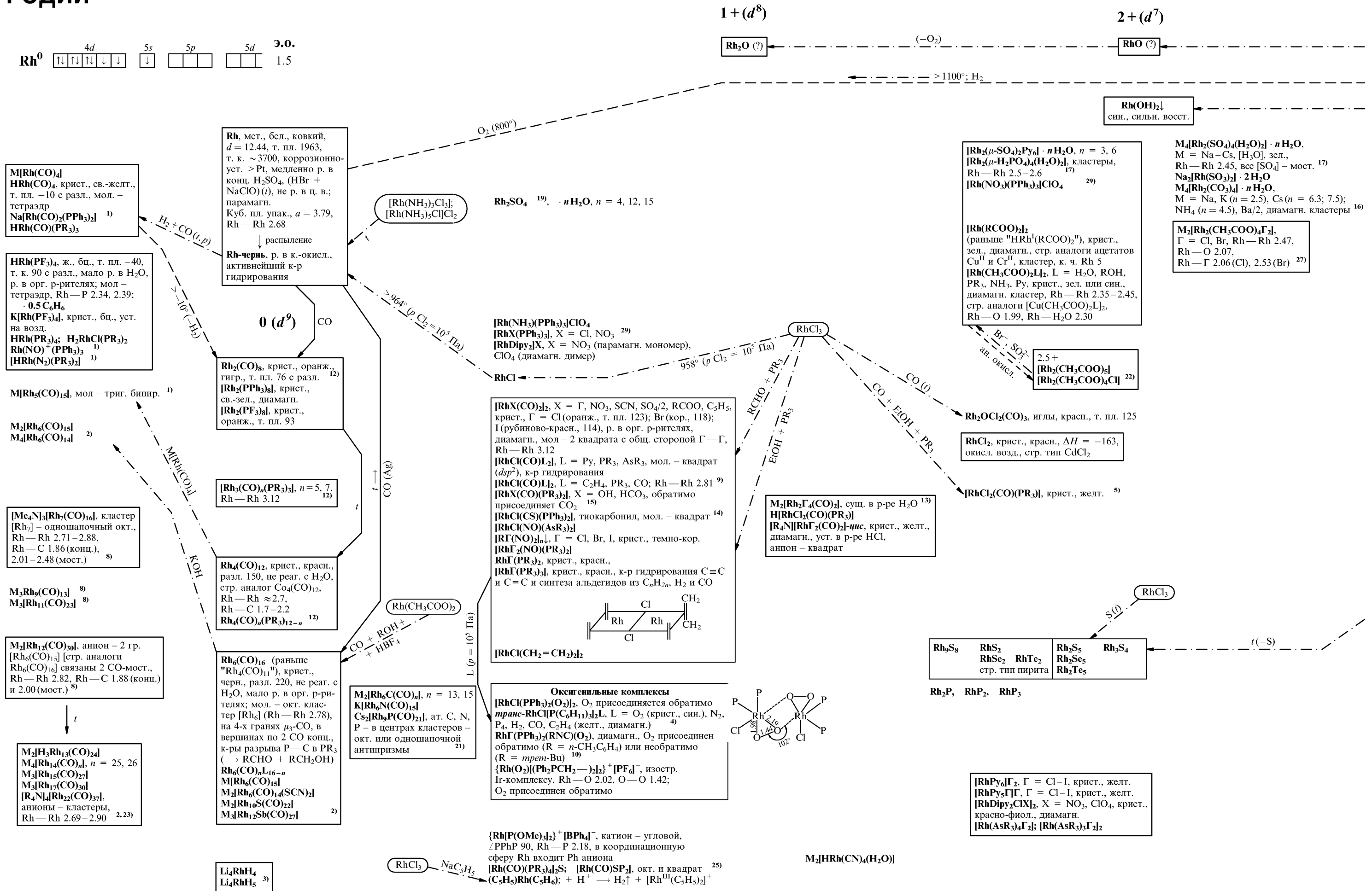
Ионы Ru в водном растворе см. с. 97

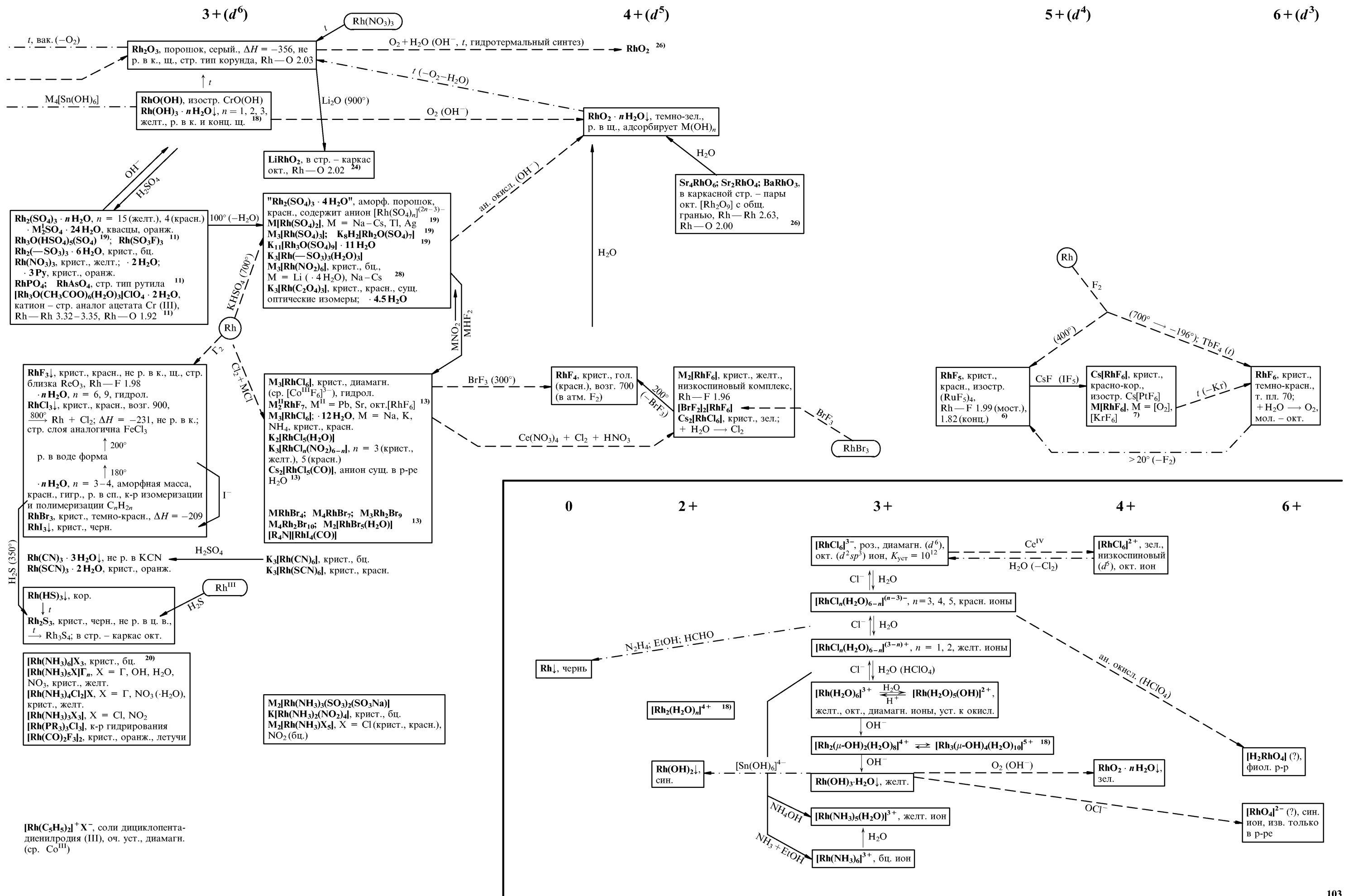


Ионы Os в водном растворе см. с. 97

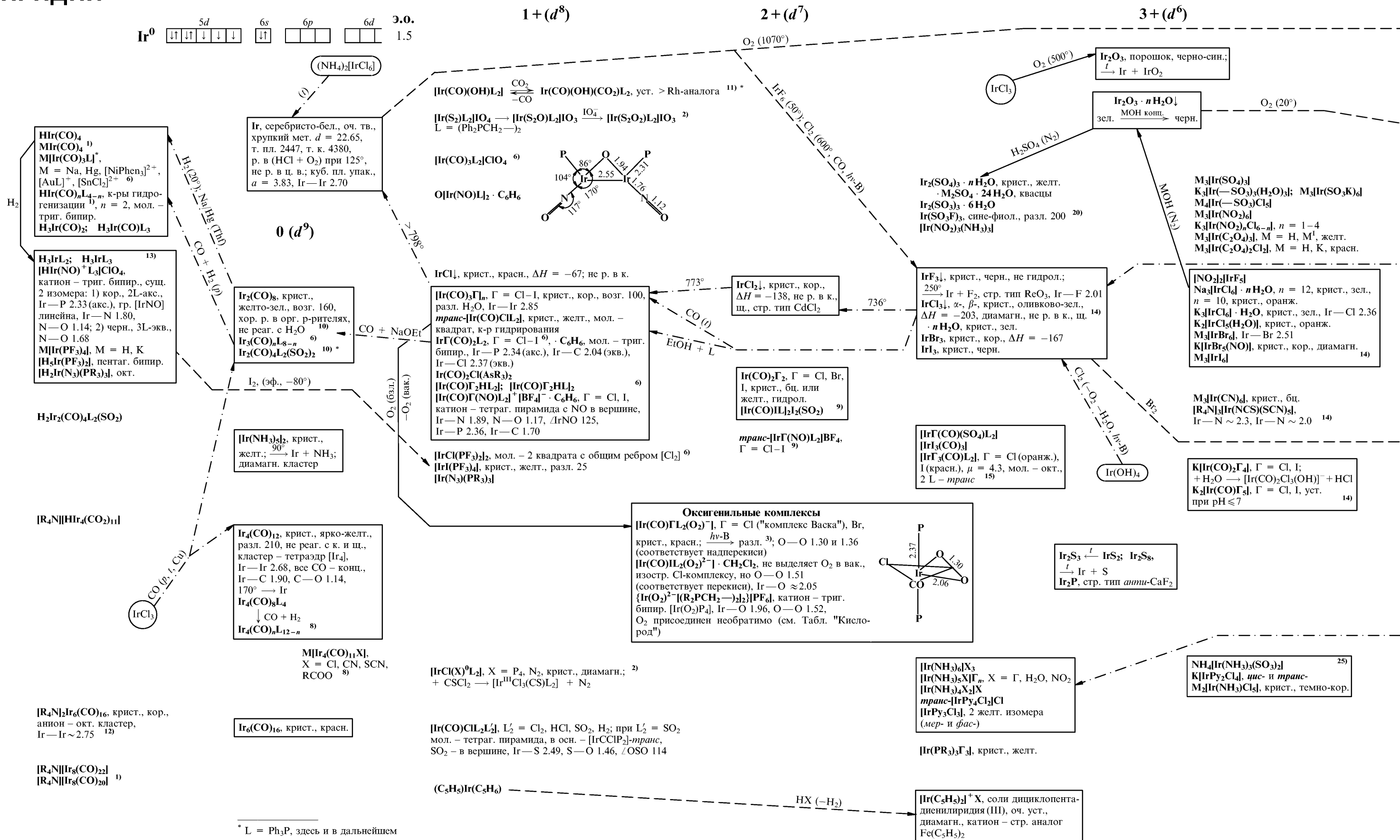


РОДИЙ





ИРИДИЙ



Pd⁰ $4d$ $5s$ $5p$ $5d$ **3.0**
 $\uparrow\downarrow$ $\uparrow\downarrow$ $\uparrow\downarrow$ $\uparrow\downarrow$ $\uparrow\downarrow$ \square \square \square \square \square \square 1.3



"3+" и 3+ (d^7)

4+ (d^6)

5+ (d^5)

(2.33–2.66) +
 $M_xPd_3O_4$
M = Li–K, Tl
крист., черн. ²⁾

$Pd(SO_3F)_2$ $\xrightarrow{S_2O_6F_2}$

" $Pd(SO_3F)_3$ " = $Pd^{II}[Pd^{IV}(-OSO_2F)_6]$,
крист., красн., гигр., разл. 180,
 $\mu_{эфф} = 3.45$; $\xrightarrow{130^\circ} Pd(SO_3F)_2$ ¹²⁾

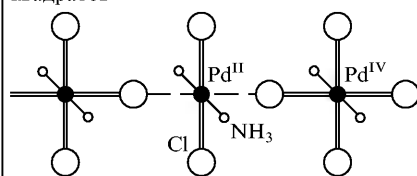
$Pd; PdCl_2$ $\xrightarrow{F_2(500^\circ)}$

$PdF_3 = Pd^{II}[Pd^{IV}F_6]$ (?), крист., черн.,
гигр., р. в BrF_3 , $\mu_{эфф} = 2.88$ (высоко-
спиновый комплекс Pd^{2+} , d^8), стр.
близка ReO_3 , т. е. все ат. Pd
эквивалентны, $Pd-F$ 2.04;
 $+ H_2O \rightarrow O_2 + \dots$; уст. $> PdF_4$
 $BrF_3 \uparrow 180^\circ$
 $\cdot BrF_3$, крист., кор., парамагн.,
 $\mu_{эфф} = 2.24$

$PdBr_2$ $\xrightarrow{BrF_3(-Br_2)}$

$Na[PdF_4]; M_2M'[PdF_6]$,
(M, M') = (K, Li), (K, Na), (Cs, K),
изостр. $K[BrF_4]$ и $K_2Na[AlF_6]$,
анионы – окт. ($t_{2g}^6e_g^1$) Pd^{3+} ¹⁷⁾

$[Pd^{II}(NH_3)_4][Pd^{IV}Cl_6]$
" $Pd\Gamma_3 \cdot 2NH_3$ " = $[Pd^{II}(NH_3)_2\Gamma_2][Pd^{IV}(NH_3)_2\Gamma_4]$,
 $\Gamma = Cl, Br$, в стр. – цепи чередующихся окт. и
квадратов



$[PdEn_2]\Gamma_2 \xrightarrow[\Gamma_2]{(HX)}$

$[Pd^{II}En_2][Pd^{IV}En_2\Gamma_2]X_4$, $\Gamma = Cl, Br$; $X = ClO_4, NO_3$ ¹⁸⁾

$PdO_2 \cdot nH_2O \downarrow$, темно-красн.,
свежеосажденный – р. в к. и щ.,
сильн. окисл.

PdO

H_2O

$M_2O + MO_2$

Палладаты (IV) ²⁾

$M_2Pd(OH)_6$; $\xrightarrow{-H_2O} M_2O + PdO_{1.63}$
 M_2PdO_3 , M = Na–Rb, диамагн., изостр. Li_2MnO_4

$Pd(NO_3)_2$ $\xrightarrow{N_2O_5}$

$Pd(NO_3)_4$, крист., кор.,
диамагн., окисл.,
 $+ I^- \rightarrow I_2$ (но с Fe^{2+}
не реак.).

$M_2[Pd(SO_3)_2(OH)_2]$, M = Na, K, крист., кор., неуст.

$M_2[Pd(SO_3F)_6]$, M = Cs, [NO], $[ClO_2]$, Ba/2 ¹²⁾

$K_2[PdO(C_2O_4)_2] \cdot 2H_2O$, крист., красн.

$M_2[Pd(C_2O_4)_2Cl_2]$, M = Na, K, крист., желт.

$\xrightarrow{S_2O_6F_2; MCl + HSO_3F}$ Pd

$MPdF_6$, M = Na, $[O_2]$ ¹⁹⁾

PdF_4 , крист., красн.,
искаж. стр. тип UCl_4
(к. ч. Pd 8), $Pd-F$ 1.94, 2.00;
 $+ H_2O \rightarrow O_2$ ¹⁶⁾

$F_2(t, p)$

$SeF_4(-Br_2)$

$Pd(CN)_4$, крист., роз.;
 $\xrightarrow{20^\circ} (CN)_2$

$Hg(CN)_2$

$M_2[PdF_6]$, M = K–Cs, $M^{II}/2$, $Xe/2$ ⁶⁾,
крист., желт., диамагн., анион – окт., $Pd-F$ 2.1
 $\uparrow MF(SeF_4)$
 $[SeF_3]_2[PdF_6]$; $\xrightarrow{155^\circ} PdF_2 + SeF_4 \uparrow + SeF_6 \uparrow$
 $[XeF]^+[Pd_2F_9]^-$; $\xrightarrow{280^\circ} XeF_4 + PdF_3$ ⁶⁾
 $H_2[PdCl_6]$, суц. в разб. р-ре, черн.;
 $+ H_2O \rightarrow Cl_2 + PdCl_2$
 $M_2[PdCl_6]$, крист., красн., диамагн.,
стр. тип K_2PtCl_6 , $Pd-Cl$ 2.30;
 $+ H_2O(t) \rightarrow M_2PdCl_4 + Cl_2$
 $M_2[PdBr_6]$

BrF_3

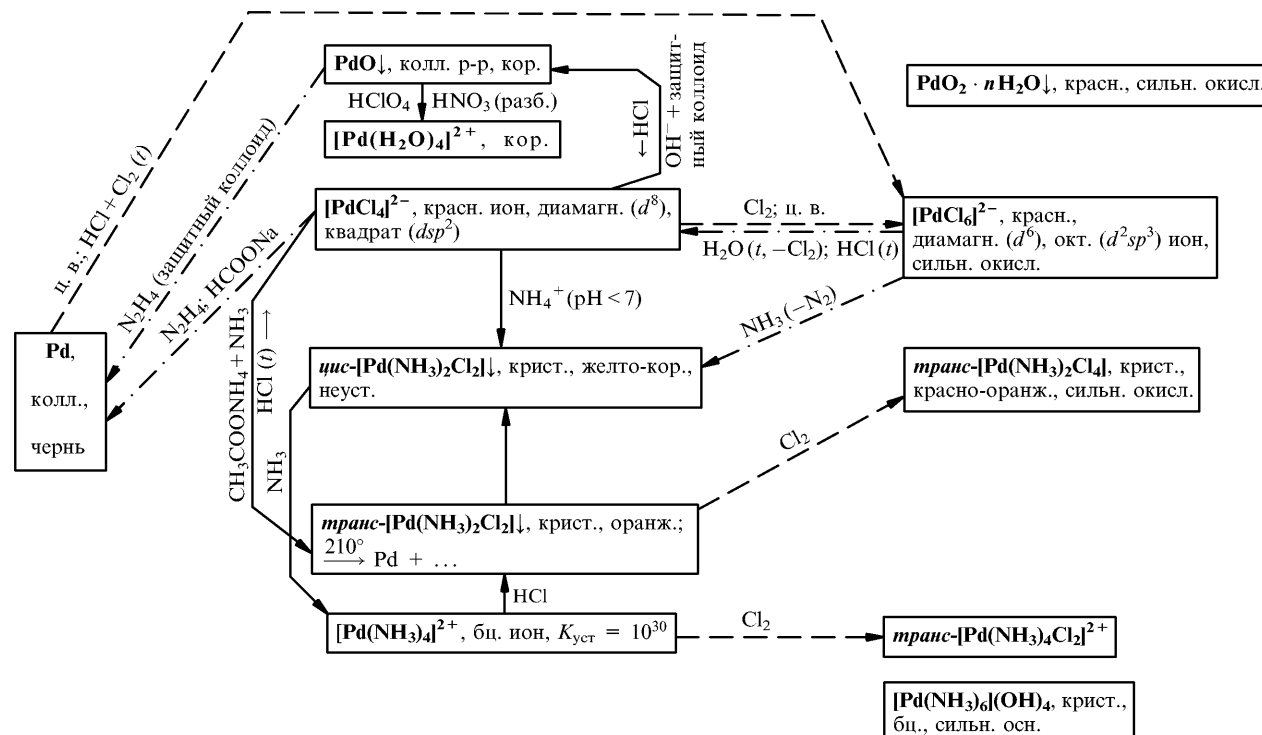
п. в.

$Pd; PdCl_2$

0

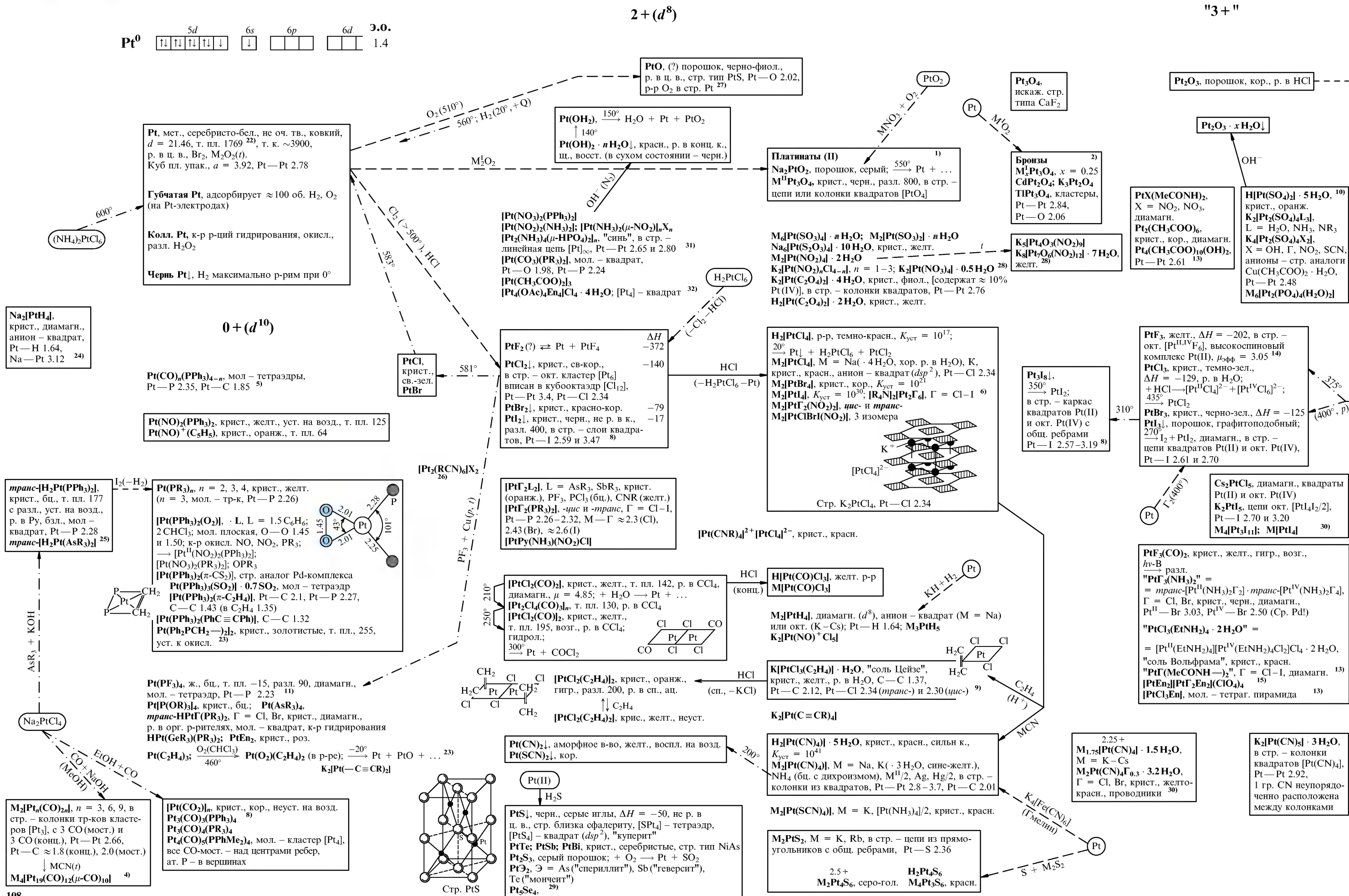
2+

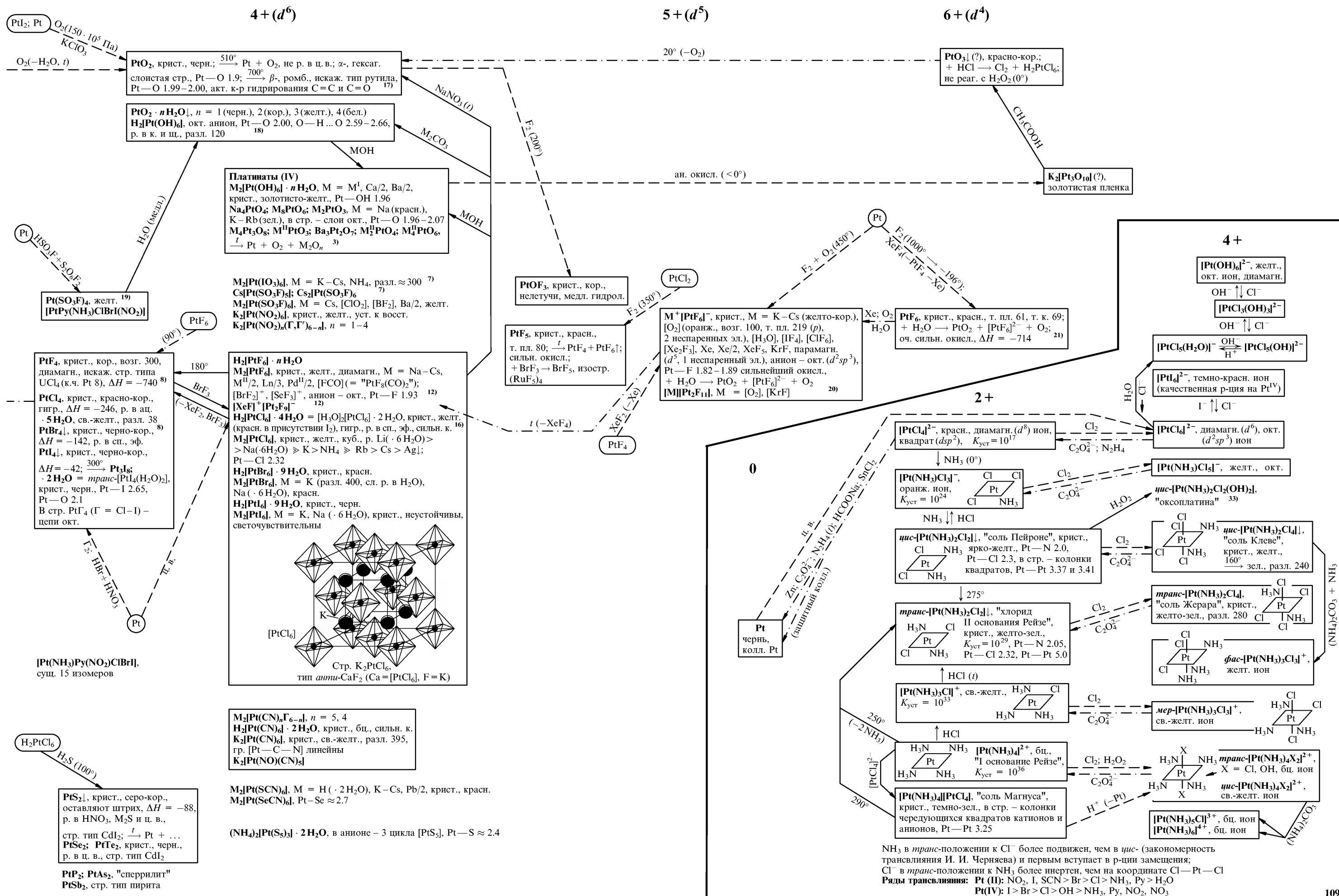
4+



Ряды *транс*-активности лигандов для Pd(II) и Pd(IV) аналогичны рядам Pt(II) и Pt(IV)

ПЛАТИНА





ИНЕРТНЫЕ ГАЗЫ

																																																																																																																																																																																																																																																																																																																																																																																																																																																																																																																																																																																																																																																																																																																																																																																																																																																																																																																																																																																																																																																																																																																																																																																																																																																																																																																																																																																																																																																																			</
--	--	--	--	--	--	--	--	--	--	--	--	--	--	--	--	--	--	--	--	--	--	--	--	--	--	--	--	--	--	--	--	--	--	--	--	--	--	--	--	--	--	--	--	--	--	--	--	--	--	--	--	--	--	--	--	--	--	--	--	--	--	--	--	--	--	--	--	--	--	--	--	--	--	--	--	--	--	--	--	--	--	--	--	--	--	--	--	--	--	--	--	--	--	--	--	--	--	--	--	--	--	--	--	--	--	--	--	--	--	--	--	--	--	--	--	--	--	--	--	--	--	--	--	--	--	--	--	--	--	--	--	--	--	--	--	--	--	--	--	--	--	--	--	--	--	--	--	--	--	--	--	--	--	--	--	--	--	--	--	--	--	--	--	--	--	--	--	--	--	--	--	--	--	--	--	--	--	--	--	--	--	--	--	--	--	--	--	--	--	--	--	--	--	--	--	--	--	--	--	--	--	--	--	--	--	--	--	--	--	--	--	--	--	--	--	--	--	--	--	--	--	--	--	--	--	--	--	--	--	--	--	--	--	--	--	--	--	--	--	--	--	--	--	--	--	--	--	--	--	--	--	--	--	--	--	--	--	--	--	--	--	--	--	--	--	--	--	--	--	--	--	--	--	--	--	--	--	--	--	--	--	--	--	--	--	--	--	--	--	--	--	--	--	--	--	--	--	--	--	--	--	--	--	--	--	--	--	--	--	--	--	--	--	--	--	--	--	--	--	--	--	--	--	--	--	--	--	--	--	--	--	--	--	--	--	--	--	--	--	--	--	--	--	--	--	--	--	--	--	--	--	--	--	--	--	--	--	--	--	--	--	--	--	--	--	--	--	--	--	--	--	--	--	--	--	--	--	--	--	--	--	--	--	--	--	--	--	--	--	--	--	--	--	--	--	--	--	--	--	--	--	--	--	--	--	--	--	--	--	--	--	--	--	--	--	--	--	--	--	--	--	--	--	--	--	--	--	--	--	--	--	--	--	--	--	--	--	--	--	--	--	--	--	--	--	--	--	--	--	--	--	--	--	--	--	--	--	--	--	--	--	--	--	--	--	--	--	--	--	--	--	--	--	--	--	--	--	--	--	--	--	--	--	--	--	--	--	--	--	--	--	--	--	--	--	--	--	--	--	--	--	--	--	--	--	--	--	--	--	--	--	--	--	--	--	--	--	--	--	--	--	--	--	--	--	--	--	--	--	--	--	--	--	--	--	--	--	--	--	--	--	--	--	--	--	--	--	--	--	--	--	--	--	--	--	--	--	--	--	--	--	--	--	--	--	--	--	--	--	--	--	--	--	--	--	--	--	--	--	--	--	--	--	--	--	--	--	--	--	--	--	--	--	--	--	--	--	--	--	--	--	--	--	--	--	--	--	--	--	--	--	--	--	--	--	--	--	--	--	--	--	--	--	--	--	--	--	--	--	--	--	--	--	--	--	--	--	--	--	--	--	--	--	--	--	--	--	--	--	--	--	--	--	--	--	--	--	--	--	--	--	--	--	--	--	--	--	--	--	--	--	--	--	--	--	--	--	--	--	--	--	--	--	--	--	--	--	--	--	--	--	--	--	--	--	--	--	--	--	--	--	--	--	--	--	--	--	--	--	--	--	--	--	--	--	--	--	--	--	--	--	--	--	--	--	--	--	--	--	--	--	--	--	--	--	--	--	--	--	--	--	--	--	--	--	--	--	--	--	--	--	--	--	--	--	--	--	--	--	--	--	--	--	--	--	--	--	--	--	--	--	--	--	--	--	--	--	--	--	--	--	--	--	--	--	--	--	--	--	--	--	--	--	--	--	--	--	--	--	--	--	--	--	--	--	--	--	--	--	--	--	--	--	--	--	--	--	--	--	--	--	--	--	--	--	--	--	--	--	--	--	--	--	--	--	--	--	--	--	--	--	--	--	--	--	--	--	--	--	--	--	--	--	--	--	--	--	--	--	--	--	--	--	--	--	--	--	--	--	--	--	--	--	--	--	--	--	--	--	--	--	--	--	--	--	--	--	--	--	--	--	--	--	--	--	--	--	--	--	--	--	--	--	--	--	--	--	--	--	--	--	--	--	--	--	--	--	--	--	--	--	--	--	--	--	--	--	--	--	--	--	--	--	--	--	--	--	--	--	--	--	--	--	--	--	--	--	--	--	--	--	--	--	--	--	--	--	--	--	--	--	--	--	--	--	--	--	--	--	--	--	--	--	--	--	--	--	--	--	--	--	--	--	--	--	--	--	--	--	--	--	--	--	--	--	--	--	--	--	--	--	--	--	--	--	--	--	--	--	--	--	--	--	--	--	--	--	--	--	--	--	--	--	--	--	--	--	--	--	--	--	--	--	--	--	--	--	--	--	--	--	--	--	--	--	--	--	--	--	--	--	--	--	--	--	--	--	--	--	--	--	--	--	--	--	--	--	--	--	--	--	--	--	--	--	--	--	--	--	--	--	--	--	--	--	--	--	--	--	--	--	--	--	--	--	--	--	--	--	--	--	--	--	--	--	--	--	--	--	--	--	--	--	--	--	--	--	--	--	--	--	--	--	--	--	--	--	--	--	--	--	--	--	--	--	--	--	--	--	--	--	--	--	--	--	--	--	--	--	--	--	--	--	--	--	--	--	--	--	--	--	--	--	--	--	--	--	--	--	--	--	--	--	--	--	--	--	--	--	--	--	--	--	--	--	--	--	--	--	--	--	--	--	--	--	--	--	--	--	--	--	--	--	--	--	--	--	--	--	--	--	--	--	--	--	--	--	--	--	--	--	--	--	--	--	--	--	--	--	--	--	--	--	--	--	--	--	--	--	--	--	--	--	--	--	--	--	--	--	--	--	--	--	--	--	--	--	--	--	--	--	--	--	--	--	--	--	--	--	--	--	--	--	--	--	--	--	--	--	--	--	--	--	--	--	--	--	--	--	--	--	--	--	--	--	--	--	--	--	--	--	--	--	--	--	--	--	--	--	--	--	--	--	--	--	--	--	--	--	--	--	--	--	--	--	--	--	--	--	--	--	--	--	--	--	--	--	--	--	--	--	--	--	--	--	--	--	--	--	--	--	--	--	--	--	--	--	--	--	--	--	--	--	--	--	--	--	--	--	--	--	--	--	--	--	--	--	--	--	--	--	--	--	--	--	--	--	--	--	--	--	--	--	--	--	--	--	--	--	--	--	--	--	--	--	--	--	--	--	--	----

Образование Rn при радиоактивном распаде:
 $^{232}_{90}\text{Th} \xrightarrow{\alpha} \dots \xrightarrow{\alpha} ^{220}_{86}\text{Rn}$ ("Th Em", "торон") $\xrightarrow{\alpha} \dots$
54.5 с.
 $^{235}_{92}\text{U} \xrightarrow{\alpha} \dots \xrightarrow{\alpha} ^{219}_{86}\text{Rn}$ ("Ac Em", "актинон")
 $\xrightarrow{\alpha} \dots$ 3.92 с.
 $^{238}_{92}\text{U} \xrightarrow{\alpha} \dots \xrightarrow{\alpha} ^{222}_{86}\text{Rn}$ ("Ra Em") $\xrightarrow{\alpha} \dots$
3.82 сут.
 $\dots \xrightarrow{\beta} ^{218}_{85}\text{At} \xrightarrow{\beta} ^{218}_{86}\text{Rn}$ ("At Em") $\xrightarrow{\alpha} \dots$
0.019 с.

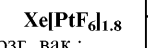
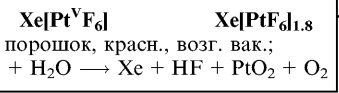
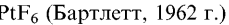
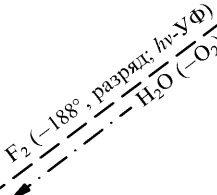
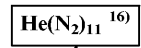
Образование He и Ar в минералах U и K:
 $^{238}_{92}\text{U} \longrightarrow \dots \longrightarrow 8\alpha + 6\beta + ^{206}_{82}\text{Pb};$
 $\downarrow + 8e$
 $8\text{ }^4_2\text{He}$

	He	Ne	Ar	Kr	Xe	Rn
Содержание в атм. (%об. · 10 ⁴)	г., бц., в разряде излучают					
	желт.	оранж.	красн.	зел.-фиол.	фиол.	бел. свет
	5.24	18.2	9340	11.4	0.087	6 · 10 ⁻¹⁴
	-269.7	-248.6	-189.4	-157.3	-111.9	-71.0
	-268.9	-245.9	-185.8	-153.2	-108.1	-61.9
	0.126	1.20	1.40	2.60	3.06	4.40
d (при т. к.)	0.008	0.010	0.034	—	30	51
р. в H ₂ O (% об.)						хор. р. в орг. р-рителях
при 0°						
куб. пл. упак.						
a = 4.42 (p = 125 · 10 ⁵)		4.52	5.43	5.69	6.24	—
↓ -258°				↓ -247°	↓	
гексаг. пл. упак.						
a = 3.47	3.14	—	4.00	4.34	7.09 ¹³⁾	
c = 5.54	5.14	—	6.53			
(p = 130 · 10 ⁵)						
↑ -270°						
куб. (тип α-Fe)						
a = 4.11 (p = 30 · 10 ⁵)						

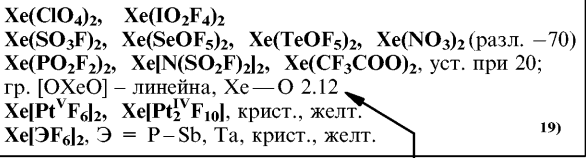
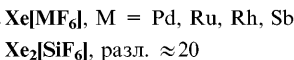
Клатратные соединения включения		
	p ₃ при синтезе (Па · 10 ⁻⁶)	т. разл. (p = 10 ⁵)
Э · 5.75 H ₂ O (8: 46), Э = Ne, Ar, Kr, Xe, Rn	300	—
	150	-42.8
	15	-28
	~1	-4
	~1	—
Э · 3n-C ₆ H ₄ (OH) ₂ , Э = Ar, Kr, Xe (гидрохинон)		

1 +

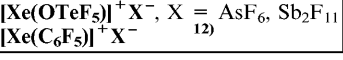
2 +



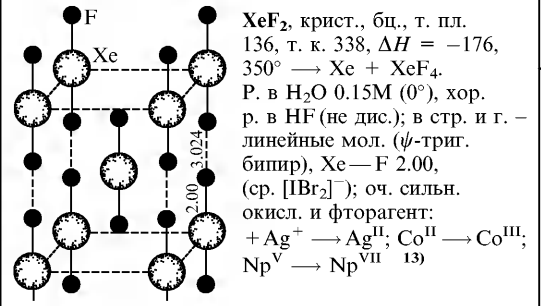
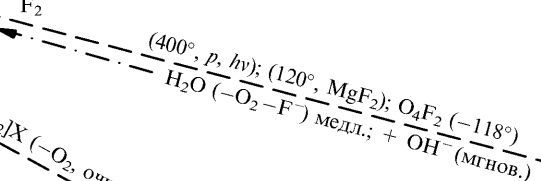
165°



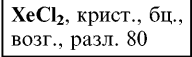
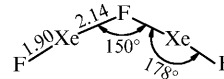
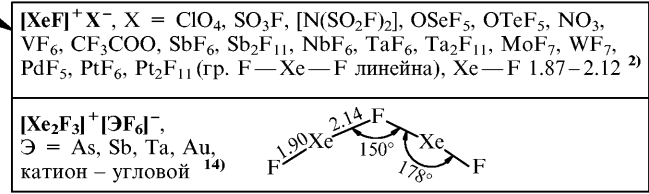
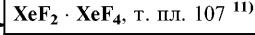
19)



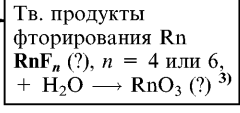
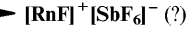
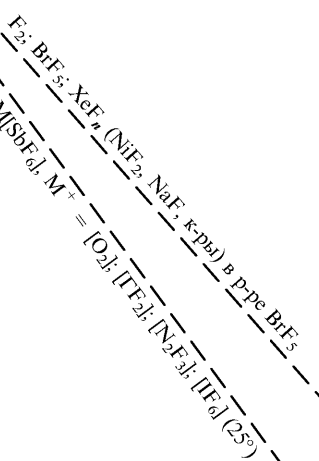
(300°, 2 · 10⁷ Па); hv



F₂



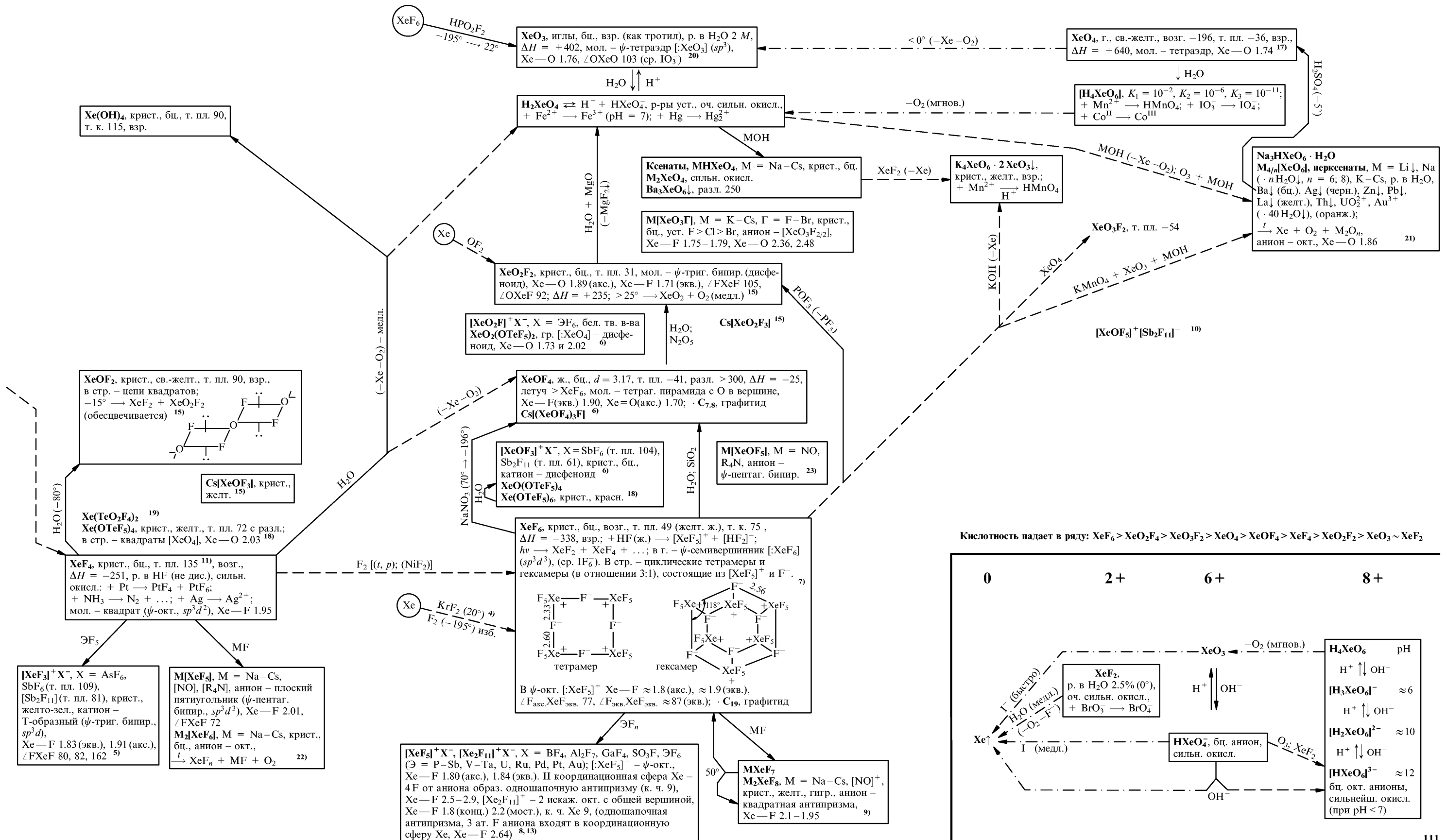
CCl₄ (hv-УФ)



4+

6+

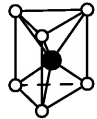
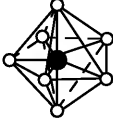
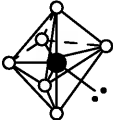
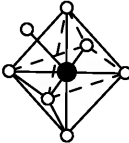
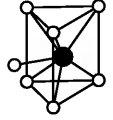
8+

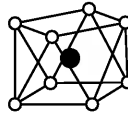
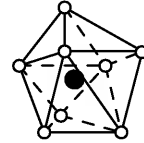
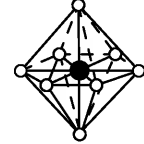
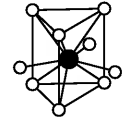
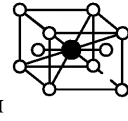
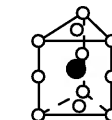
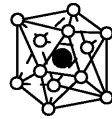


ВАЛЕНТНЫЕ СОСТОЯНИЯ (ТИПЫ ГИБРИДИЗАЦИИ) И КООРДИНАЦИОННЫЕ МНОГОГРАННИКИ ЦЕНТРАЛЬНОГО АТОМА

(E – локализованная пара эл.)

Число эл. пар	Валентное состояние, валентный угол	Тип молекулы или иона	К. Ч.	Пространственная конфигурация	Примеры	Число эл. пар	Валентное состояние, валентный угол	Тип молекулы или иона	К. Ч.	Пространственная конфигурация	Примеры		
2	sp , 180° $7s5f$, 180°	AX_2	2 2	линейная (гантель)	$Be\Gamma_2$, $\Gamma = F-I$ (г.), CO_2 , N_2O , $[NO_2]^+$ d^{10} : $ZnCl_2$ (г.), $HgCl_2$, $[Ag(NH_3)_2]^+$, d^0 : $[UO_2]^{2+}$, $[NpO_2]^{2+}$, $[PuO_2]^{2+}$	5	sp^3d , 120° (экв.), 90° (акс.)	AX_5	5	триг. бипир.	$AlH_3 \cdot 2NR_3$, $[SnCl_5]^-$, PF_5 (г.), SOF_4 , $[IO_5]^{3-}$, ClO_2F_3		
2	p^2 , 90°	AX_2	2	угловая	H_2S , H_2Se , $[TiCl_2]^-$			AX_5	5	тетраг. пирамида	$[InCl_5]^{2-}$		
3	sp^2 , 120° d^2s , 120°	AX_3	3	плоский тр-к	$K[BeF_3]$ (г.), $B\Gamma_3$, $[BO_3]^{3-}$, B_2Cl_4 , $[CO_3]^{2-}$, C_2H_4 , $[NO_3]^-$, SO_3 (г.), $[O(HgCl)_3]^+$; d^{10} : $[HgI_3]^-$ d^6 : $[FeO_3]^{4-}$ d^0 : $Sc\Gamma_3$ (г.)			AX_4E	4	дисфеноид (ψ -триг. бипир.)	$[PBr_4]^-$, $[SbF_4]^-$, SF_4 , $TeCl_4$, $[FO_2F_2]^-$, $[F\Gamma_4]^+$, FOF_3 , XeO_2F_2 (2F-акс), XeO_3F		
		AX_2E	2	угловая (ψ -тр-к)	$Sn\Gamma_2$ (г.), $[NO_2]^-$, N_2F_2 , O_3 , SO_2 (г.), ClO_2^+			AX_3E_2	3	T-образная (ψ -триг. бипир.)	ClF_3 , BrF_3 , $[XeF_3]^+$, $XeOF_2$		
3	p^3 , 90°	AX_3	3	триг. пирамида	PH_3 , AsF_3 (г.)			AX_2E_3	2	линейная (ψ -триг. бипир.)	$[ICl_2]^-$, $[I_3]^-$, XeF_2		
4	sp^3 , $\approx 109^\circ 28'$	AX_4	4	тетраэдр	$[Be(H_2O)_4]^{2+}$, $[OBe_4]$ в мол. $Be_4O(OAc)_6$; $[BF_4]^-$, $[AlCl_4]^-$, CH_4 , $[SiO_4]^{4-}$, NOF_3 , $[SO_4]^{2-}$, $[ClO_4]^-$ d^{10} : $Ni(CO)_4$, $[Cu(CN)_4]^{3-}$, $[Zn(CN)_4]^{2-}$, $[GaH_4]^-$, $GeCl_4$, $[AsO_4]^{3-}$, $[SeO_4]^{2-}$, $[BrO_4]^-$, XeO_4 d^9 : $Co(CO)_3(NO)$, $Cs_2[CuCl_4]$ d^8 : $[Fe(CO)_2(NO)_2]$, $[Co(CO)_4]^-$, $[NiCl_4]^{2-}$ d^7 : $[Mn(CO)(NO)_3]$, $[CoCl_4]^{2-}$ d^6 : $[FeCl_4]^{2-}$; d^5 : $[MnCl_4]^{2-}$; d^3 : $[FeO_4]^{3-}$			AX_5	5	триг. бипир. \updownarrow тетраг. пирамида (центральный ат. над центром квадрата)	d^8 : $[Mn(CO)_5]^-$, $Fe(CO)_5$, $[Co(CO)_3(PR_3)_2]^+$, $[Pt(SnCl_3)_5]^{3-}$, $[CuCl_5]^{3-}$ ($3d^9 \longrightarrow 3d^8 4d^1$) d^7 : $Mn(CO)_4(NO)$ (г.), $[NiBr_3(PEt_3)_2]$		
	sp^3 , $\approx 103^\circ$	AX_3E	3	триг. пирамида (ψ -тетраэдр)	NH_3 , NF_3 , N_2F_4 , $[AsO_3]^{3-}$, $[H_3O]^+$, $SOCl_2$, $[SO_3]^{2-}$, $[Se_n]$, $[SeO_3]^{2-}$, $[IO_3]^-$, $[BrO_3]^-$, XeO_3			d^2sp^2 , 90°	AX_5	5	тетраг. пирамида (центральный ат. над центром квадрата)	d^6 : $[RuCl_2(PR_3)_3]$ d^4 : $[Et_4N]_2[MnCl_5]$	
	sp^3 , $\approx 103^\circ$	AX_2E_2	2	угловая (ψ -тетраэдр)	H_2O , OF_2 , $[S_n]$, SCl_2 , $Te\Gamma_2$, $[ClF_2]^+$, $[ClO_2]^-$, XeO_2			d^3sp	AX_5	5	триг. бипир.	d^0 : $NbCl_5$, $V\Gamma_5$	
	d^3s , $109^\circ 28'$	AX_4	4	тетраэдр	d^2 : $Cr(OC_4H_9-t)_4$, $[MnO_4]^{3-}$, $[FeO_4]^{2-}$ d^1 : VCl_4 , $[CrO_4]^{3-}$, $[MnO_4]^{2-}$, $[RuO_4]^-$ d^0 : $TiCl_4$, $[VO_4]^{3-}$, $[CrO_4]^{2-}$, $[MnO_4]^-$, OsO_4			d^4s , 90°	AX_5	5	тетраг. пирамида	d^2 : $VCl_3(SMe_2)_2$, $[Mo(CN)_5]^-$, $[ReO\Gamma_4]^-$	
	dsp^2 , 90°	AX_4	4	квадрат	d^8 : $[Co(CN)_4]^{3-}$, $[Ni(CN)_4]^{2-}$, $[PtCl_4]^{2-}$, CuO , $[Au(OH)_4]^-$			sp^3d^2 , 90°	AX_6	6	окт.	$[Mg(H_2O)_6]^{2+}$, $[AlF_6]^{3-}$, $[SiF_6]^{2-}$, $[Pb(OH)_6]^{2-}$, $[PCl_6]^-$, SF_6 , $[IO_6]^{5-}$, $[IF_6]^+$, $[IO_2F_4]^-$ d^{10} : $AgCl$, $[Cd(OH)_6]^{4-}$, $[InF_6]^{3-}$, $[SnCl_6]^{2-}$, $[Sb(OH)_6]^-$, TeF_6 , IOF_5 , $[XeO_6]^{4-}$ d^9 : $K_2[CuCl_4]$ (искаж. окт.); d^8 : $[AuBr_6]^{3-}$ высоко-спиновые $\begin{cases} d^7: [Fe^I(NO)^+(H_2O)_5]^{2+}, [Co(NH_3)_6]^{2+} \\ d^6: [Fe(H_2O)_6]^{2+}, [CoF_6]^{3-} \\ d^5: [Mn(H_2O)_6]^{2+}, [Fe(H_2O)_6]^{3+} \\ d^4: [Cr(H_2O)_6]^{2+}, [Mn(C_2O_4)_3]^{3-} \end{cases}$	
									AX_5E	5	тетраг. пирамида (центральный ат. в центре или под центром квадрата) (ψ -окт.)	$[SbF_5]^{2-}$, $[SF_5]^-$, ΓF_5 , $[FOF_4]^-$, $[XeF_5]^+$	
										AX_4E_2	4	квадрат (ψ -окт.)	$[ICl_4]^-$, XeF_4

Число эл. пар	Валентное состояние, валентный угол	Тип молекулы или иона	К. Ч.	Пространственная конфигурация	Примеры
6	d^2sp^3 , 90°	AX ₆	6	окт.	<div>низко-спиновые</div> $\left\{ \begin{array}{l} d^7: [\text{Os}(\text{NH}_3)_6]^+, [\text{NiF}_6]^{3-} \\ d^6: \text{Cr}(\text{CO})_6, [\text{Mn}(\text{CN})_6]^{5-}, [\text{Fe}(\text{CN})_6]^{4-}, \\ \quad [\text{Co}(\text{NH}_3)_6]^{3+}, [\text{NiF}_6]^{2-} \\ d^5: [\text{Mn}(\text{CN})_6]^{4-}, [\text{Fe}(\text{CN})_6]^{3-}, \\ \quad [\text{PtF}_6]^- \\ d^4: [\text{TiDipy}_3], [\text{Mo}(\text{CN})_6]^{4-}, \\ \quad [\text{Mn}(\text{CN})_6]^{3-}, [\text{OsCl}_6]^{2-}, [\text{IrF}_6]^- , \text{PtF}_6 \\ d^3: [\text{V}(\text{H}_2\text{O})_6]^{2+}, [\text{Cr}(\text{NH}_3)_6]^{3+}, \\ \quad [\text{MnCl}_6]^{2-}, [\text{OsF}_6]^- , \text{IrF}_6 \\ d^2: [\text{V}(\text{H}_2\text{O})_6]^{3+}, [\text{CrF}_6]^{2-}, \\ \quad [\text{ReOCl}_5]^{2-}, [\text{OsN}_5]^{2-}, \text{RuF}_6 \\ d^1: [\text{Ti}(\text{H}_2\text{O})_6]^{3+}, [\text{VF}_6]^{2-}, \\ \quad [\text{MoF}_6]^- , \text{ReF}_6, \text{OsOF}_5 \\ d^0: [\text{Sc}(\text{OH})_6]^{3-}, [\text{TiF}_6]^{2-}, [\text{VF}_6]^- , \text{MoF}_6, \\ \quad [\text{ReO}_3\text{Cl}_3]^{2-}, [\text{OsO}_4(\text{OH})_2]^{2-} \end{array} \right.$
	d^4sp (?)	AX ₅ E	6	триг. призма 	d^2 : MoS ₂ , WS ₂
7	sp^3d^3 , sp^3d^2f (?)	AX ₇	7	пентаг. бипир. 	IF ₇
		AX ₆ E	6	искаж. окт. (ψ -пентаг. бипир. или ψ -одноша- почный окт.) 	[IF ₆] ⁻ , XeF ₆ (г.), [XeOF ₅] ⁻
		AX ₅ E ₂	5	плоский 5-угольник (ψ -пентаг. бипир.)	[XeF ₅] ⁻
	d^5sp , d^4sp^2 , d^3sp^3	AX ₇	7	пентаг. бипир.	d^0 : (NH ₄) ₃ [ZrF ₇], OsF ₇ d^1 : OsF ₇ d^2 : [V(CN) ₇] ⁴⁻ d^3 : [Mo(CN) ₇] ⁴⁻ d^4 : [Re(CN) ₇] ⁴⁻
			7	одношапочный окт. 	d^0 : [NbOF ₆] ³⁻
			7	одношапочная триг. призма 	d^0 : [NbF ₇] ²⁻ , [TaF ₇] ²⁻ , LnO(OH), YO(OH)

Число эл. пар	Валентное состояние, валентный угол	Тип молекулы или иона	К. Ч.	Пространственная конфигурация	Примеры
8	sp^3d^4 , d^4sp^3	AX ₈	8	антипризма (томсоновский куб) (\angle поворота 45° – антипризма Архимеда) 	[XeF ₈] ²⁻ , [Ba(H ₂ O) ₈] ²⁺ , Zr[IO ₃] ₄ , [TaF ₈] ³⁻ , [W(CN) ₈] ²⁻ , [Mo(CN) ₈] ⁴⁻ , [ReF ₈] ²⁻ , [Eu(H ₂ O) ₆ Cl ₂] ⁺
				куб	ThO ₂ , UO ₂ , (NH ₃) ₄ [U(C ₂ O ₄) ₄]
				додекаэдр 	Ti(NO ₃) ₄ (NO ₃ – бидентатны), [ZrF ₈] ⁴⁻ , [Cr ^V (O ₂) ₄] ³⁻ , [Mo(CN) ₈] ²⁻ , [Co(NO ₃) ₄] ²⁻ , [Fe(NO ₃) ₄] ⁻ , [Re(CN) ₈] ³⁻
				гексаг. бипир. 	[UO ₂ (H ₂ O) ₆] ²⁺
9		AX ₉	9	тетраг. одношапочная призма	Li ₃ ThI ₇
				трехшапочная триг. призма 	PbCl ₂ , BaΓ ₂ , EuCl ₂ , [Nd(H ₂ O) ₉] ³⁺ , [Sc(H ₂ O) ₉] ³⁺ , [Th(SO ₄) ₄] ⁴⁻ , K ₂ [PaF ₇], UCl ₃ , [ReH ₉] ²⁻ , Ti(NO ₃) ₃ · 3 H ₂ O
	sp^3d^5	AX ₈ E	8	квадратная антипризма	[XeF ₈] ²⁻
10		AX ₁₀	10	квадратная призма с 2 центрированными гранями 	[Th (трополонат) ₅] ⁻
				пентаг. бипир.	[UO ₂ (C ₂ O ₄) ₂] ²⁻
11		AX ₁₁	11	триг. призма с центрированными основаниями и ребрами 	LnF ₃ , UF ₃ , Th(NO ₃) ₄ · 5 H ₂ O
12		AX ₁₂	12	икосаэдр  (кубооктаэдр и его гексаг. аналог встречаются в ионных крист.)	La ₂ (SO ₄) ₃ · 9 H ₂ O, [Ce(NO ₃) ₆] ³⁻ , [Th(NO ₃) ₆] ²⁻ , [UO ₂ (C ₂ O ₄) ₃] ⁴⁻

ВАЖНЕЙШИЕ ТИПЫ КРИСТАЛЛИЧЕСКИХ СТРУКТУР

Формула		Тип решетки	К. Ч. и многогранник центрального атома	К. Ч. и многогранник лиганда	Страница
Простые вещества	Cu	куб. пл. упак.	12, кубооктаэдр	—	86
	α-Fe	куб. объемно-центрированная	8, куб	—	90
	Mg	гексаг. пл. упак.	12, гексаг. аналог кубооктаэдра	—	78
	C (алмаз)	куб.	4(= 8–4), тетраэдр	—	54
	C (графит)	гексаг.	3, тр-к	—	54
	P – бел.	куб.	3(= 8–5), триг. пирамида, ∠PPP 60°	—	40
	P – черн.	ромб.	3, триг. пирамида	—	40
	S₈	ромб.	2(= 8–6), ∠SSS 108°	—	18
	I₂	ромб.	1(= 8–7) К. Ч. = 8–№ гр. (правило Юм-Розери)	—	6
Соединения типа AX	NaCl	куб.	6, окт.	6, окт.	85
	CsCl	куб.	8, куб	8, куб	85
	ZnS (сфалерит)	куб.	4, тетраэдр	4, тетраэдр	81
	ZnS (вюртцит)	гексаг.	4, тетраэдр	4, тетраэдр	81
	= ZnO				
	NiAs	гексаг.	6, окт.	6, окт.	94
	BN	гексаг.	3, тр-к	3, тр-к	69
	PbO	тетраг.	4, тетраг. пирамида	4, тетраэдр	61
	PtS	тетраг.	4, квадрат	4, тетраэдр	108
Соединения типа AX ₂	CaC₂	тетраг.	10 и 2, тетраг. пирамиды, сближенные основаниями	5, тетраг. пирамида	79
	FeS₂ (пирит)	куб.	6, окт.	4, тетраэдр	90
	CaF₂ (флюорит)	куб.	8, куб	4, тетраэдр	79
	PbCl₂	ромб.	9, трехшапочная триг. призма	{ 4, тетраэдр 5, пентаг. пирамида	62
	TiO₂ (рутил)	тетраг.	6, окт.	3, тр-к	65
	CdI₂	гексаг.	6, окт.	3, триг. пирамида	80
	CdCl₂	ромбоэдрическая	6, окт.	3, триг. пирамида	80
	SiO₂ (кристобалит)	куб.	4, тетраэдр	2, гантель	59
	SiS₂	ромб.	4, тетраэдр	2, угловая, ∠SiSSi ≈ 100°	59
	CO₂	куб.	2, гантель	1	55

Формула		Тип решетки	К. Ч. и многогранник центрального атома	К. Ч. и многогранник лиганда	Страница
Соединения типа AX ₃	FeCl₃	ромбоэдрическая	6, окт.	3, триг. пирамида	91
	ReO₃	куб.	6, окт.	2, гантель	15
	PuBr₃	ромб.	8, искаж. восьмивершинник	{ 3, триг. пирамида 2, угол	34
	UCl₃	гексаг.	9, трехшапочная триг. призма	3, триг. пирамида	32
	LaF₃	гексаг.	3(тр-к) + 6(призма) + 2(акс.) = 11	{ 4, тетраэдр 3, тр-к	77
	YF₃	ромб.	9 = 8 + 1	—	77
Соединения типа AX ₄	UCl₄	тетраг.	4 (искаж. тетраэдр) + + 4 (мост.) = 8	2, угол	32
	ZrF₄	монокл.	8, антипризма	2, угол	65
Соединения типа A ₂ O ₃	α-Al₂O₃ (корунд)	ромбоэдрическая	6, искаж. окт.	4, искаж. тетраэдр	70
	Mn₂O₃	куб.	6 (6 вершин куба)	4, тетраэдр	12
	La₂O₃	гексаг.	7, одношапочный окт.	4 (= 3 + 1)	77
Тройные соединения	MgAl₂O₄ (шпинель)	куб.	Mg – 4, тетраэдр Al – 6, окт.	4, тетраэдр (= 3Al + 1Mg)	70
	CaTiO₃ (перовскит)	ромб. (псевдокубическая)	Ca – 12, кубооктаэдр (куб из 4 гр. [TiO ₃]) Ti – 6, окт.	2 Ti + 4 Ca (тетраг. бибир.)	65
	K₂PtCl₆	куб. (тип. <i>анти</i> - CaF ₂)	K – 12, кубооктаэдр (тетраэдр из 4 гр. [PtCl ₆]) Pt – 6, окт.	2Pt + 4K (тетраг. бибир.)	109
	K₂NiF₄	тетраг.	K – 9 Ni – 6, искаж. окт.	2 Ni	95
Гидраты газов 8 X · 46 H₂O , X = Cl ₂ , H ₂ S, N ₂ O, CO ₂ , CH ₄ , Xe 6 X · 46 H₂O , X = Br ₂ , SO ₂ , соединения включения в стр. льда		куб., <i>a</i> = 12	20 H ₂ O, пентагондодекаэдр	—	6

ЭФФЕКТИВНЫЕ ИОННЫЕ РАДИУСЫ (r)

Приведенные значения радиусов базируются на $r O^{2-}$ с К. Ч. 6, равном 1.40 Å, например, в структурах окислов $M^{II}O$. Эти величины используются в кристаллохимии при сравнении межатомных расстояний, объемов элементарных ячеек и т. д. В физике твердого тела (при описании диффузии, плотнейшей шаровой упаковке ионов и т. д.) чаще применяются т. н. "кристаллические" радиусы, значения которых на 0.14 Å превышают приведенные в табл.; исключение составляют ионы Γ^{-} , H^{+} , N^{3-} , N^{5+} , Ξ^{2-} ($\Xi = O, S, Se, Te$) и OH^{-} , радиусы которых на 0.14 Å меньше эффективных ионных (Shannon R.D., Acta Crystallogr., 1976, **A32**, 751).

[illegible]